

TESE

878

A FEDERAL DE ENGENHARIA DE ITAJUBÁ

IMPLEMENTAÇÃO DE UM SISTEMA DE CONTROLE  
MULTIPROCESSADO PARA CONVERSORES DE FREQUÊNCIA  
UTILIZANDO O ALGORITMO ESCALAR

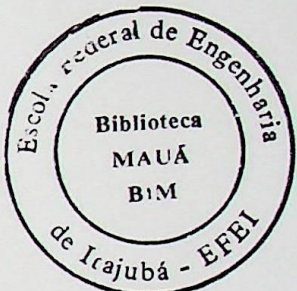
ANGELO JOSÉ RONCALI DA SILVA

SETEMBRO - 1996

ESCOLA FEDERAL DE ENGENHARIA DE ITAJUBÁ

IMPLEMENTAÇÃO DE UM SISTEMA DE CONTROLE MULTIPROCESSADO  
PARA CONVERSORES DE FREQUÊNCIA UTILIZANDO O *ALGORITMO*  
*ESCALAR*

por



ANGELO JOSÉ RONCALI DA SILVA  
INSTITUTO DE ENGENHARIA ELÉTRICA  
DEPARTAMENTO DE ELETRÔNICA

DISSERTAÇÃO APRESENTADA PARA OBTENÇÃO DO TÍTULO DE MESTRE  
EM CIÊNCIAS EM ENGENHARIA ELÉTRICA

Setembro 1996

© direitos reservados de ANGELO JOSÉ RONCALI DA SILVA

CLASS. 621.314.36-50 (043.2)

CUTT R. S. 586 i

TOMBO. 878



ESCOLA FEDERAL DE ENGENHARIA DE ITAJUBÁ

IMPLEMENTAÇÃO DE UM SISTEMA DE CONTROLE MULTIPROCESSADO  
PARA CONVERSORES DE FREQUÊNCIA UTILIZANDO O *ALGORITMO*  
*ESCALAR*

por

ANGELO JOSÉ RONCALI DA SILVA

Orientador: FELÍCIO BARBOSA MONTEIRO

Co-orientador: ÊNIO ROBERTO RIBEIRO

INSTITUTO DE ENGENHARIA ELÉTRICA  
DEPARTAMENTO DE ELETRÔNICA

DISSERTAÇÃO APRESENTADA PARA OBTENÇÃO DO TÍTULO DE MESTRE  
EM CIÊNCIAS EM ENGENHARIA ELÉTRICA

Setembro 1996

© direitos reservados de ANGELO JOSÉ RONCALI DA SILVA



## RESUMO

Este trabalho descreve um sistema de controle, cujo objetivo é a operação, em tempo real, de conversores diretos de freqüência e utiliza como método de controle o *Algoritmo Escalar*.

O presente trabalho descreve um sistema de controle, cujo objetivo é a operação, em tempo real, de conversores diretos de freqüência e utiliza como método de controle o *Algoritmo Escalar*.

Este sistema constitui-se de um controlador multiprocessado, conectado a um computador pessoal, e dos circuitos de interface e condicionamento de sinais.

O controlador multiprocessado, formado por um microcontrolador de 16 bits e quatro microcontroladores de 8 bits, divide a tarefa de controle dos interruptores do conversor entre mais de um processador, possibilitando a sua operação em tempo real.

Diferente de outros métodos de controle para conversores diretos, que tratam vetorialmente as variáveis envolvidas, o *Algoritmo Escalar* baseia-se na comparação escalar dos valores instantâneos das tensões de entrada e da tensão de saída desejada. Ele gera equações simples e concisas para o cálculo dos tempos de acionamento dos interruptores do conversor.

Estas características resultam numa simplificação, a nível de programação, deste sistema de controle em comparação aos sistemas usuais.

Este trabalho apresenta, primeiramente, a teoria do *Algoritmo Escalar*, sendo a seguir detalhado o *hardware* utilizado pelo sistema de controle, concentrando-se nas características do controlador multiprocessado.

Na seqüência descreve-se o programa desenvolvido para a realização do controle dos interruptores do conversor. São mostradas as tabelas utilizadas para a normalização

dos valores de tensão e tempo manipulados pelo programa, as etapas em que o programa se divide e como é realizado o controle dos parâmetros do sistema (a freqüência e a amplitude das tensões de saída do conversor).

Finalizando, afim de comprovar a validade do sistema de controle proposto, resultados experimentais são apresentados.

## ABSTRACT

This work describes a real time direct frequency converter control system which uses the *Scalar Algorithm* control method. The system consists of a multiprocessed controller connected to a personal computer, and signal conditioning and interface circuits.

The multiprocessed controller is formed by a 16 bits microcontroller and four microcontroller of 8 bits. The microcontroller divides the task of controlling the converter switches among the processors, which allows a real time operation.

Unlike the vector treatment on the systems variables of other direct frequency converter methods, the *Scalar Algorithm* is based on the instantaneous values of the input and output voltages. It provides simple equations to compute the converter switches activation times. Those characteristics simplifies the programming of this method compared to the others.

This work introduces, initially, the *Scalar Algorithm*. Then, it is presented the hardware required by the control system, emphasizing the characteristics of the multiprocessed controller.

It is presented the program developed to implement the control of the converter switches. Is also shown the tables used to normalize the voltage values and the timing handled by the program, the sections of the program, and the form that the parameters of the system are controlled (frequency and amplitude of the converter output voltages).

Finally, experimental results are shown to demonstrate the operation of the proposed control system.

## AGRADECIMENTOS

A Deus dou graças neste momento de vitória, por mais esta etapa concluída.

Ao orientador, Prof. Felício Barbosa Monteiro, e ao co-orientador, Prof. Énio Roberto Ribeiro, pela proposição do tema desenvolvido e pela disposição e boa vontade, sempre quando foram solicitados.

A George-Emile April, pelo envio de componentes para o controlador multiprocessado.

A Eric Leonard, pela ajuda na compreensão do funcionamento do controlador multiprocessado.

Ao Eng. Luiz Juberto Rossi, pela inestimável ajuda na gravação de componentes programáveis.

Aos professores e funcionários do Departamento de Engenharia Eletrônica da EFEI, pela colaboração e solidariedade a mim dedicada.

A CAPES, pelo suporte financeiro.

SUMÁRIO

	<u>PÁGINA</u>
DEDICATÓRIA .....	IV
RESUMO .....	V
ABSTRACT.....	VII
AGRADECIMENTOS .....	VIII
SUMÁRIO.....	IX
LISTA DE APÊNDICES .....	XII
LISTA DE FIGURAS .....	XIII
LISTA DE TABELAS .....	XVII
LISTA DE NOTAÇÕES E SÍMBOLOS .....	XVIII
CAPÍTULO 1 - INTRODUÇÃO .....	1
1.1 Considerações gerais.....	1
1.2 Objetivo do trabalho .....	3
1.3 Estrutura da dissertação .....	4
CAPÍTULO 2 - O MÉTODO DE CONTROLE: <i>ALGORITMO ESCALAR</i> .....	6
2.1 <i>Amostragem Rápida</i> .....	6
2.2 O <i>Algoritmo Escalar</i> .....	7

CAPÍTULO 3 - <i>HARDWARE</i> .....	10
3.1 Controlador multiprocessado .....	10
3.1.1 Generalidades .....	10
3.1.2 O processador mestre.....	11
3.1.2.1 Características básicas .....	11
3.1.2.2 Espaço de endereçamento .....	12
3.1.2.3 Memórias dedicadas .....	13
3.1.2.4 Acesso as memórias dos coprocessadores pelo mestre .....	13
3.1.2.5 Interface de barramento dos coprocessadores .....	13
3.1.2.6 Registro de controle de estado .....	15
3.1.2.7 Banco 0.....	16
3.1.2.8 PEELs.....	16
3.1.2.9 Comunicação do mestre com o mundo exterior .....	17
3.1.3 Coprocessadores.....	17
3.1.3.1 Características básicas .....	17
3.1.3.2 Memórias .....	19
3.1.3.3 Comunicação dos coprocessadores com o mundo externo .....	20
3.1.4 Utilização do controlador multiprocessado.....	21
3.2 Circuitos de interface e condicionamento .....	23

CAPÍTULO 4 - PROGRAMA DE CONTROLE .....	25
4.1 Introdução .....	25
4.2 Normalização dos valores .....	26
4.3 Etapas de operação do programa .....	30
4.3.1 Obtenção dos valores da tensão de saída desejada e das tensões de entrada .	30
4.3.1.1 Obtenção dos valores da tensão de saída desejada .....	30
4.3.1.2 Obtenção dos valores das tensões de entrada.....	34
4.3.2 Obtenção do valor de pico das tensões de entrada .....	34
4.3.3 Determinação dos valores das tensões $v_K$ , $v_L$ e $v_M$ .....	38
4.3.4 Cálculo dos tempos de acionamento dos interruptores ( $t_K$ , $t_L$ e $t_M$ ).....	39
4.3.5 Geração dos sinais de acionamento dos interruptores .....	44
4.4 Controle dos parâmetros do sistema (freqüência e amplitude das tensões de saída).....	47
CAPÍTULO 5 - RESULTADOS EXPERIMENTAIS.....	51
CAPÍTULO 6 - CONCLUSÃO .....	62
BIBLIOGRAFIA.....	65
APÊNDICES .....	68



## LISTA DE APÊNDICES

	<u>PÁGINA</u>
APÊNDICE I - DEDUÇÕES E CONSIDERAÇÕES .....	68
I.1 Deduções dos termos e equações apresentados no capítulo 2.....	68
I.2 Passo das freqüências das tensões de saída.....	70
APÊNDICE II - O COMPILADOR FORTH.....	72
APÊNDICE III - ESQUEMAS DOS CIRCUITOS DE INTERFACE E CONDICIONAMENTO .....	75
APÊNDICE IV - LISTAGEM DOS PROGRAMAS PARA OS PROCESSADORES .	83
APÊNDICE V - FOTOS DO SISTEMA DE CONTROLE.....	98

LISTA DE FIGURAS

	<u>PÁGINA</u>
Fig. 1. 1 Conversor em matriz.....	2
Fig. 1. 2 Sistema de controle multiprocessado para conversores diretos de freqüência....	4
Fig. 2. 1 Amostragem Rápida de um sistema trifásico. ....	6
Fig. 2. 2 Matriz de interruptores do conversor direto de freqüência.....	7
Fig. 3. 1 Controlador multiprocessado.....	10
Fig. 3. 2 Mapa da memória interna ao controlador (três primeiros Mbytes). .....	12
Fig. 3. 3 Circuito de seleção das interfaces de barramento dos coprocessadores.....	15
Fig. 3. 4 Registro externo de controle de estado do mestre. ....	16
Fig. 3. 5 Circuitos de interface e condicionamento dos sinais.....	24
Fig. 4. 1 Retorno quando se atinge o final da tabela. ....	32
Fig. 4. 2 Retorno quando se atinge o começo da tabela.....	33
Fig. 4. 3 Fluxograma da leitura de uma tensão de entrada. ....	34
Fig. 4. 4 Fluxograma do programa para aquisição do valor de pico das tensões de entrada. ....	36
Fig. 4. 5 Obtenção dos valores das constantes multiplicativas.....	36
Fig. 4. 6 Primeira parte do fluxograma para determinação das tensões $v_K$ , $v_L$ e $v_M$ e seleção das rotinas <i>contn</i> .....	40

Fig. 4. 7 Segunda parte do fluxograma para determinação das tensões $v_K$ , $v_L$ e $v_M$ e seleção das rotinas contn.....	41
Fig. 4. 8 Rotina <i>Calcmais</i> .....	42
Fig. 4. 9 Rotina <i>calcmenos</i> . ....	43
Fig. 4. 10 Modo de operação dos contadores "geração de pulso monoestável".....	45
Fig. 4. 11 Ligação em anel dos contadores.....	45
Fig. 5. 1 Carga utilizada para o conversor.....	51
Fig. 5. 2 Defasamento das tensões de entrada. (5 V, 5 ms).....	52
Fig. 5. 3 Valor do módulo da tensão de entrada $v_B$ . 1) Tensão de entrada (5 V, 5ms). 2) Tensão de entrada retificada (2 V) .....	52
Fig. 5. 4 Valor da polaridade da tensão de entrada. 1) Tensão de entrada (5 V, 5 ms). 2) Polaridade da tensão de entrada (2 V).....	53
Fig. 5. 5 Sinais para acionamento dos interruptores gerados pelos contadores 1 e 3 de um mesmo coprocesssador. 1) Contador_1 (2 V, 0,1 ms). 2) Contador_3 (2 V)...	53
Fig. 5. 6 Sinais para acionamento dos interruptores gerados pelos contadores 1 de dois coprocesssadores. 1) Contador_1 (2 V, 0,1 ms). 2) Contador_3 (2 V).....	54
Fig. 5. 7 Operação do conversor a $f_i = 60$ Hz, $f_0 = 10$ Hz e ganho de tensão igual a 40%. 1) Tensão $v_d$ (1 V, 20 ms). 2) Tensão de saída $v_e$ (1 V) .....	54
Fig. 5. 8 Operação do conversor a $f_i = 60$ Hz, $f_0 = 0$ Hz e ganho de tensão igual a 30%. 1) Tensão de saída não filtrada (5 V, 1 ms). 2) Tensão de saída filtrada (5 V).....	55

Fig. 5. 9 Operação do conversor a $f_i = 60$ Hz, $f_0 = 0$ Hz e ganho de tensão igual a 30%. 1) Tensão de saída não filtrada (5 V, 0,1 ms). 2) Tensão de saída filtrada (5 V).....	55
Fig. 5. 10 Operação do conversor a $f_i = 60$ Hz, $f_0$ sofrendo transição de 2 para 20 Hz e ganho de tensão igual a 40%. 1) Tensão de saída (2 V, 0,1 s). 2) Sinal de referência para mudança de parâmetros, linha R/W (5 V).....	56
Fig. 5. 11 Operação do conversor a $f_i = 60$ Hz, $f_0$ sofrendo transição de 40 para 10 Hz e ganho de tensão igual a 30%. 1) Tensão de saída (1 V, 50 ms). 2) Sinal de referência para mudança de parâmetros, linha R/W (5 V).....	57
Fig. 5. 12 Operação do conversor a $f_i = 60$ Hz, $f_0$ sofrendo transição de 45 para 80 Hz e ganho de tensão igual a 35%. 1) Tensão de saída (0,5 V, 10 ms). 2) Sinal de referência para mudança de parâmetros, linha R/W (5 V).....	57
Fig. 5. 13 Operação do conversor a $f_i = 60$ Hz, $f_0$ sofrendo transição de 36 para 14 Hz e ganho de tensão igual a 35%. 1) Tensão de saída $v_d$ (1 V, 20 ms). 2) Tensão de saída $v_e$ (1 V).....	58
Fig. 5. 14 Operação do conversor a $f_i = 60$ Hz, $f_0 = 30$ Hz e ganho de tensão sofrendo transição de 10 para 40%. 1) Tensão de saída (1 V, 20 ms). 2) Sinal de referência para mudança de parâmetros, linha R/W (5 V).....	58
Fig. 5. 15 Operação do conversor a $f_i = 60$ Hz, $f_0 = 60$ Hz e ganho de tensão sofrendo transição de 40 para 15%. 1) Tensão de saída (0,5 V, 10 ms). 2) Sinal de referência para mudança de parâmetros, linha R/W (5 V).....	59
Fig. 5. 16 Operação do conversor a $f_i = 60$ Hz, $f_0$ sofrendo transição de 100 para 50 Hz e ganho de tensão mudando de 40 para 20%. 1) Tensão de saída (0,5 V, 10 ms). 2) Sinal de referência para mudança de parâmetros, linha R/W (5 V).....	59

- Fig. 5. 17 Tensões de fase na entrada do conversor, com todos os interruptores abertos.  
1) Tensão  $v_A$  (5 V, 5 ms). 2) Tensão  $v_C$  (5 V)..... 60
- Fig. 5. 18 Tensões de fase na entrada do conversor, com o conversor em funcionamento.  
1) Tensão  $v_A$  (5 V, 5 ms). 2) Tensão  $v_C$  (5 V)..... 60
- Fig. 5. 19 Tensões de fase na entrada do conversor, com o conversor em funcionamento.  
1) Tensão  $v_C$  (5 V, 2 ms). 2) Tensão  $v_A$  (5 V)..... 61
- Fig. 5. 20 Tensão e corrente na entrada do conversor. 1) Tensão  $v_A$  (5 V, 5 ms). 2)  
Corrente  $I_A$  (5 mA)..... 61

LISTA DE TABELASPÁGINA

Tabela 3. 1 Endereços de base, para seleção das interfaces de barramento dos coprocessadores, dentro do banco 1 do processador mestre.....	15
Tabela 3. 2 Pinagem do conector de entrada/saída do mestre.....	18
Tabela 3. 3 Conector de extensão.....	19
Tabela 3. 4 Conector externo dos coprocessadores.....	20
Tabela 4. 1 Correspondência entre valores de tensão e valores decimais e hexadecimais.....	27
Tabela 4. 2 Correspondência entre valores de tempo e valores decimais e hexadecimais.....	27
Tabela 4. 3 Valores da constante multiplicativa para diferentes valores de tensão de pico. Os valores de pico são os valores obtidos da tabela 4.1.....	37
Tabela 4. 4 Cálculo de $(v_o - v_M)v_K$ e $(v_o - v_M)v_L$ para valores aleatórios (em volts) de $v_K$ , $v_L$ , $v_M$ e $v_0$ .....	38
Tabela 4. 5 Seleção das rotinas para carregamento dos contadores com os tempos de acionamento dos interruptores.....	46
Tabela 4. 6 Comandos para mudança das referências de freqüência e/ou amplitude das tensões de entrada.....	50
Tabela II. 1 Comunicação com os coprocessadores.....	74

## **LISTA DE NOTAÇÕES E SÍMBOLOS**

$v_A, v_B, v_C$	Valores instantâneos das tensões de fase na entrada do conversor.
$V_i$	Valor de pico das tensões de entrada.
$\omega_i$	Freqüência angular das tensões de entrada.
$v_o$	Valor instantâneo das tensões na saída do conversor.
$T_s$	Período de comutação dos interruptores e ciclo de operação do programa.
$f_s$	Freqüência de comutação dos interruptores.
$v_K, v_L, v_M$	Valores instantâneos das tensões de fase na entrada do conversor.
$t_K, t_L, t_M$	Tempos de acionamento dos interruptores compondo um ramo de saída do conversor.
$\rho_{KL}$	Taxa instantânea entre duas tensões de entrada.
$V_o$	Tensão de pico das tensões na saída do conversor.
$q$	Ganho de tensão do conversor.
$\omega_o$	Freqüência angular das tensões de saída.
Kbytes	$2^{10}$ bytes.
Mbytes	$2^{20}$ bytes.
$h$	Utilizado como sufixo, indica um número hexadecimal.
RL	Registro de <i>latch</i> dos contadores.
RC	Registro do contador.
INT	Pino de entrada dos coprocessadores.
EV	Pino de saída dos coprocessadores.

## CAPÍTULO 1

### INTRODUÇÃO

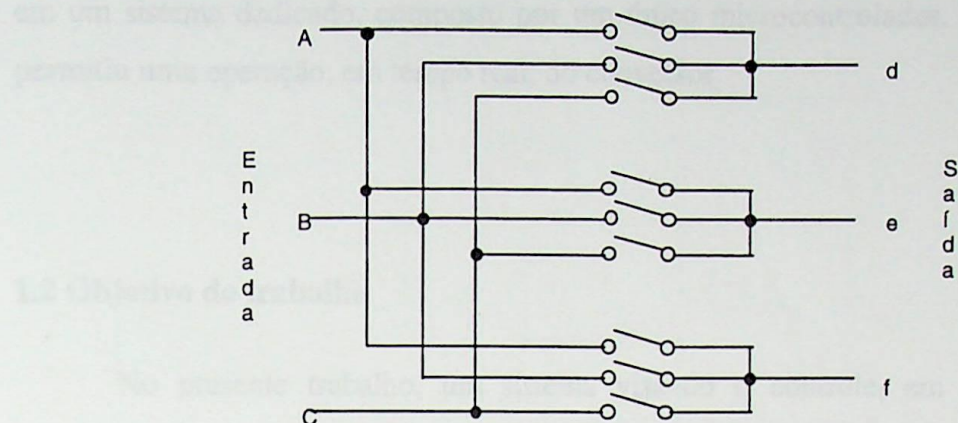
#### **1.1 Considerações gerais**

Os conversores de freqüência têm sido, nos últimos anos, em razão de sua vasta gama de aplicações, objeto de estudos no campo da eletrônica de potência. Entre estas destacam-se o controle da velocidade de motores e a geração ou compensação estática de potência reativa. Diversas estruturas, para os mais variados tipos de conversores, têm sido propostas [1]. Além disso, os recentes desenvolvimentos dos semicondutores de potência promoveram um grande impacto sobre a tecnologia e equipamentos de conversão de energia, em termos de tamanho, custo e desempenho.

Os conversores podem ser classificados como retificadores (conversor ca-cc), inversores (conversor cc-ca), recortadores (converdor cc-cc), controladores de potência ca (à mesma freqüência) e cicloconversores (conversores diretos de freqüência) [1]. Os conversores diretos de freqüência (DFC, *Direct Frequency Changer*) devem ter, idealmente, as seguintes características:

- forma de onda senoidal de tensão na saída;
- forma de onda senoidal de corrente na entrada;
- bidirecionalidade (o fluxo de energia pode fluir em ambas as direções através do conversor);
- freqüências de saída independentes da freqüência de entrada;

Os DFCs, compostos por chaves bidirecionais, são de estágio único e requerem o mínimo de componentes passivos. Estes conversores também são conhecidos por conversores em matriz (*matrix converter*). Isto porque os nove interruptores deste conversor são arranjados em uma "matriz"; qualquer tensão da entrada trifásica pode ser conectada a um dos ramos de saída da matriz, como mostra a figura 1.1.



**Fig. 1. 1 Conversor em matriz.**

A topologia em matriz foi primeiramente investigada em 1976 [2]. Trabalhos posteriores objetivaram a implementação e o controle desta topologia. Venturini e Alesina, [3] - [5], descreveram um novo conversor e uma nova técnica de conversão baseada na topologia em matriz. Uma característica deste conversor é a ausência de um *link dc*, e assim, nenhuma energia é armazenada em capacitores ou indutores. Entretanto, tal técnica de conversão não encontrou larga utilização devido a problemas na implementação [9]. Estes problemas relacionavam-se à confecção, à sincronização e à proteção das chaves bidirecionais. Observou-se, também, a seguinte restrição teórica:

- limitação da máxima amplitude da tensão de saída em relação a amplitude da tensão de entrada, i. e. ganho de tensão, em 50%.

Para contornar os problemas encontrados, diferentes métodos e estratégias de controle foram propostos e estudados em [6] - [12]. Verificou-se, inclusive, a possibilidade da utilização do conversor em matriz como retificador [13]. Todos estes métodos podem ser classificados como métodos de controle vetoriais pois tratam as variáveis envolvidas no processo de forma vetorial [14].

Diferentemente destes métodos, Roy, Duguay, Manias e April [14], propuseram uma técnica singular, o *Algoritmo Escalar* (AE). Este baseia-se somente na comparação escalar dos valores instantâneos das tensões de entrada e da tensão desejada de saída. Com o AE atinge-se um ganho de tensão de 50%. Porém utilizando-se o AE em conjunto com a técnica de modulação proposta em [6] ou [9] o ganho de tensão é elevado para 87%. As características do AE foram, mais tarde, detalhadas por Roy e April [15]. Suas qualidades operacionais foram verificadas através de sua implementação

em um sistema dedicado, composto por um único microcontrolador. Este sistema não permitiu uma operação, em tempo real, do conversor.

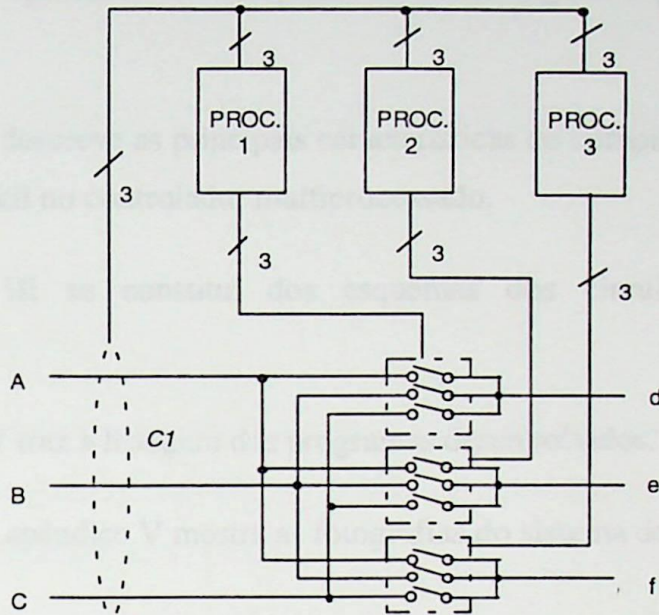
## 1.2 Objetivo do trabalho

No presente trabalho, um sistema visando o controle, em tempo real, dos conversores diretos de freqüência é apresentado. Este sistema tem como características principais:

- utilização, como método de controle, do *Algoritmo Escalar*;
- implementação do método de controle em um controlador multiprocessado.

Através do AE são geradas equações simples e concisas para o cálculo dos tempos de acionamento dos interruptores que compõem um conversor. Estas equações trabalham apenas com os valores escalares das tensões. O controlador multiprocessado, constituído por microcontroladores, divide a tarefa de controle do conversor entre mais de um processador. O controle dos três interruptores, interligando as três tensões de entrada a um mesmo ramo de saída, é realizado por um único processador, como apresentado na figura 1.2. Nesta figura, *C1* representa os circuitos de aquisição dos valores das tensões de entrada. Estas características possibilitaram o controle, praticamente instantâneo, da freqüência e da amplitude das tensões de saída.

Sendo o primeiro trabalho desenvolvido na área de conversores diretos pela Escola Federal de Engenharia de Itajubá, este se propõe a ser um ponto de partida para futuras pesquisas. Assim o objetivo concentra-se na elaboração do sistema de controle em si, possibilitando o seu uso por outros trabalhos, pois este sistema independe da potência do conversor direto utilizado.



**Fig. 1. 2** Sistema de controle multiprocessado para conversores diretos de freqüência.

### 1.3 Estrutura da dissertação

A dissertação está estruturada em seis capítulos.

O capítulo 2 descreve o método utilizado para a obtenção do controle, em tempo real, de conversores diretos de freqüência, o *Algoritmo Escalar (AE)*.

O capítulo 3 expõe sobre o *hardware* utilizado na implementação do AE. O *hardware* se compõe do controlador multiprocessado e dos circuitos de interface e condicionamento dos sinais necessários à esta implementação.

O capítulo 4 detalha os programas desenvolvidos para a obtenção do controle, em tempo real, dos conversores diretos de freqüência.

O capítulo 5 mostra os resultados conseguidos pela implementação do AE em um controlador multiprocessado.

O capítulo 6 apresenta as conclusões e sugestões para trabalhos futuros.

Encerrando a dissertação, temos cinco apêndices.



O apêndice I apresenta um complemento sobre alguns aspectos abordados na dissertação.

O apêndice II descreve as principais características do compilador *Forth* residente em memória não volátil no controlador multiprocessado.

O apêndice III se constitui dos esquemas dos circuitos de interface e condicionamento.

O apêndice IV traz a listagem dos programas desenvolvidos.

Finalmente, o apêndice V mostra as fotografias do sistema de controle.

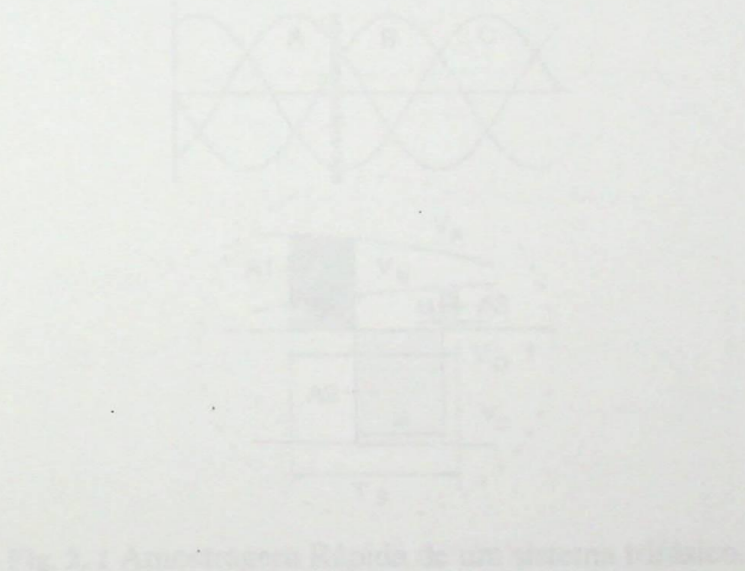


Fig. 3.1 Arouard's relay logic circuit (from [1]).

Todos os intervalos de tempo  $T_j$  são relativamente pequenos, durante o qual os estados das saídas não mudam significativamente. Dentro do intervalo  $T_j$ , assumimos que é constante o período de tempo  $\tau_j$ , o nível  $v_j$ , saídas  $t_j$ ,  $s$  e saída  $v_j$ , saídas  $A_j$ , com  $j = 1, \dots, n$ . Os períodos amplitude-tempo constantes se dão  $A_1$ ,  $A_2$  e  $A_3$ , respectivamente. As frequências destas ondas estão a nível  $v_j$ , com os valores que podem ser positivos, negativos ou mesmo zero, dependendo da natureza dos tempos  $\tau_j$ , e a fase entre as ondas pode ser regulada dentro de um período de tempo  $\tau_j$  de forma que seja adequada para o nível de saída  $v_j$ . Evidentemente, os valores instantâneos de  $v_j$  devem respeitar as seguintes condições: a saída  $s$  deve ser sempre menor ou

## CAPÍTULO 2

### O MÉTODO DE CONTROLE: ALGORITMO ESCALAR

#### 2.1 Amostragem Rápida

Considere o conjunto dos sinais de tensão apresentados na figura 2.1, onde  $v_A$ ,  $v_B$  e  $v_C$  designam os sinais na entrada e  $v_0$  o sinal de referência para um ramo de saída do conversor direto de freqüência (DFC).

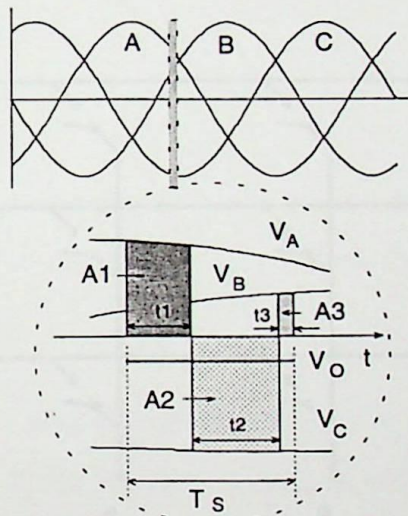


Fig. 2. 1 Amostragem Rápida de um sistema trifásico.

Toma-se um intervalo de tempo  $T_s$ , suficientemente pequeno, durante o qual os sinais de entrada serão considerados constantes. Dentro do intervalo  $T_s$  amostra-se o sinal  $v_A$  durante o período de tempo  $t_1$ , o sinal  $v_C$  durante  $t_2$  e o sinal  $v_B$  durante  $t_3$ , com  $t_1 + t_2 + t_3 = T_s$ . Dos produtos amplitude-tempo resultam as áreas  $A_1$ ,  $A_2$  e  $A_3$ , respectivamente. Da integração destas últimas resulta o sinal  $v_0$ , com um valor que poderá ser positivo, negativo ou mesmo nulo, dependendo da duração dos tempos  $t_1$ ,  $t_2$  e  $t_3$ . Logo, através da regulagem adequada destes tempos, é possível a obtenção de um valor qualquer para o sinal de saída  $v_0$ . Evidentemente, os valores instantâneos de  $v_0$  devem respeitar os limites superiores e inferiores dos sinais de entrada disponíveis

quando da amostragem. Esta operação de amostragem das tensões denomina-se *Amostragem Rápida* (AR).

## 2.2 O Algoritmo Escalar

Pelo processo de AR, quaisquer tensões de entrada podem servir para gerar uma tensão qualquer de saída. Isto permite estabelecer uma relação com a idéia apresentada pelo *Algoritmo Escalar* (AE). Este baseia-se na comparação escalar dos valores instantâneos das tensões de fase da entrada e da tensão de saída desejada, para a determinação dos tempos de acionamento dos interruptores. Estes interruptores conectam as tensões de entrada a um ramo de saída do conversor, gerando assim, a tensão de saída desejada ( $v_0$ ).

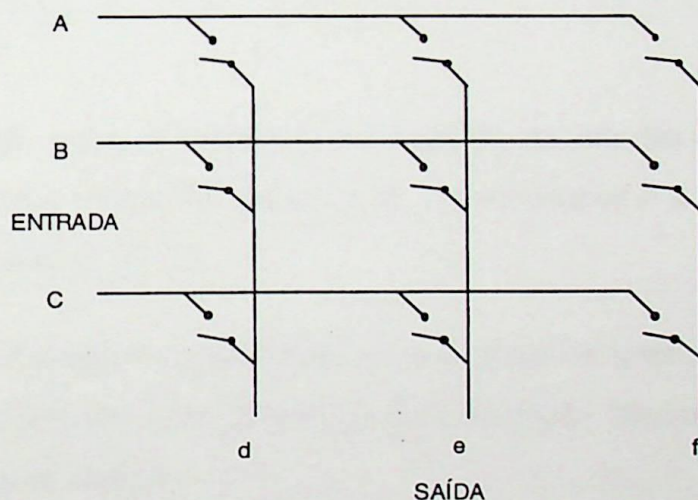


Fig. 2. 2 Matriz de interruptores do conversor direto de freqüência.

Admitindo-se, na entrada do conversor da figura 2.2, as seguintes tensões de fase:

$$v_A = V_i \cos (\omega_i t) \quad (1)$$

$$v_B = V_i \cos (\omega_i t - 2\pi / 3) \quad (2)$$

$$v_C = V_i \cos (\omega_i t + 2\pi / 3) \quad (3)$$

podemos obter, em cada ramo de saída, uma tensão  $v_0$  cujo valor instantâneo pode ser expresso por:

$$v_0 = \frac{1}{T_S} [t_K v_k + t_L v_L + t_M v_M] \quad (4)$$

onde

$$t_K + t_L + t_M = T_s \quad (5)$$

sendo K, L e M índices variáveis, podendo serem associados às tensões de fase A, B ou C, de acordo com as seguintes regras:

1) A todo instante considerado, a tensão de fase de entrada que possui a polaridade oposta às outras, é designada como  $v_M$ .

2) As duas tensões de fase compartilhando a mesma polaridade são designadas como  $v_K$  e  $v_L$ . A menor, em valor absoluto, sendo designada como  $v_K$ . Então  $v_K$  e  $v_L$  são escolhidos tais que:

$$\frac{t_K}{t_L} = \frac{v_K}{v_L} \quad (6)$$

para o intervalo onde

$$0 \leq \frac{v_K}{v_L} \leq 1 \quad (7)$$

A equação (6) define os tempos de acionamento de dois dos três interruptores de um ramo de saída; esta relação de tempo ( $t_K/t_L$ ) é proporcional a relação dos valores instantâneos das tensões ( $v_K/v_L$ ).

A seguir é mostrado o procedimento para se obter os respectivos valores de  $t_K$ ,  $t_L$  e  $t_M$  durante um período  $T_s$  da freqüência de comutação. Durante o intervalo onde  $0 \leq v_K/v_L \leq 1$ , define-se o termo:

$$\rho_{KL} = \frac{v_K}{v_L} \quad (8)$$

Deste modo os tempos  $t_K$ ,  $t_L$  e  $t_M$  podem ser encontrados:

$$t_K = \rho_{KL} t_L \quad (9)$$

$$t_M = T_s - (\rho_{KL} + 1)t_L \quad (10)$$

$$t_L = \frac{T_s(v_0 - v_M)}{\rho_{KL} v_K + v_L - (1 + \rho_{KL})v_M} \quad (11)$$

Usando novamente o valor de  $\rho_{KL}$  na expressão (11) resulta:

$$t_L = \frac{T_s(v_0 - v_M)v_L}{[v_K^2 + v_L^2 + v_M^2 - (v_K + v_L + v_M)v_M]} \quad (12)$$

Em um sistema trifásico equilibrado, a soma dos valores instantâneos das tensões de fase é nula. Logo, os tempos de acionamento dos interruptores podem ser reescritos da seguinte forma:

$$\frac{t_L}{T_s} = \frac{(v_0 - v_M)v_L}{v_K^2 + v_L^2 + v_M^2} = \frac{(v_0 - v_M)v_L}{1,5V_i^2} \quad (13)$$

$$\frac{t_K}{T_s} = \frac{(v_0 - v_M)v_K}{1,5V_i^2} \quad (14)$$

$$\frac{t_M}{T_s} = 1 - \frac{t_K + t_L}{T_s} \quad (15)$$

Os tempos  $t_K$  e  $t_L$  são proporcionais aos valores instantâneos de suas respectivas tensões de entrada  $v_K$  e  $v_L$  multiplicados pela diferença entre a tensão de saída desejada  $v_0$  e a tensão de fase da entrada  $v_M$ . Deve ser observado que a tensão de saída  $v_0$  pode ser qualquer tipo de forma de onda, inclusive contínua. O apêndice I mostra as deduções dos termos e equações aqui apresentados.

Resolvendo as equações (13) - (15) para um ganho de tensão,  $V_0/V_i = q$ , menor ou igual a 0,5, serão sempre produzidos valores positivos para os tempos  $t_K$ ,  $t_L$  e  $t_M$ . Para ganhos de tensão maiores que 0,5 alguns valores de tempo negativos começarão a aparecer por causa da limitação das tensões instantâneas na entrada do conversor. Entretanto, trabalhos realizados por Maytum e Colman [6] e por Venturini e Alesina [9] permitiram elevar  $q$  para até 0,87.

## CAPÍTULO 3

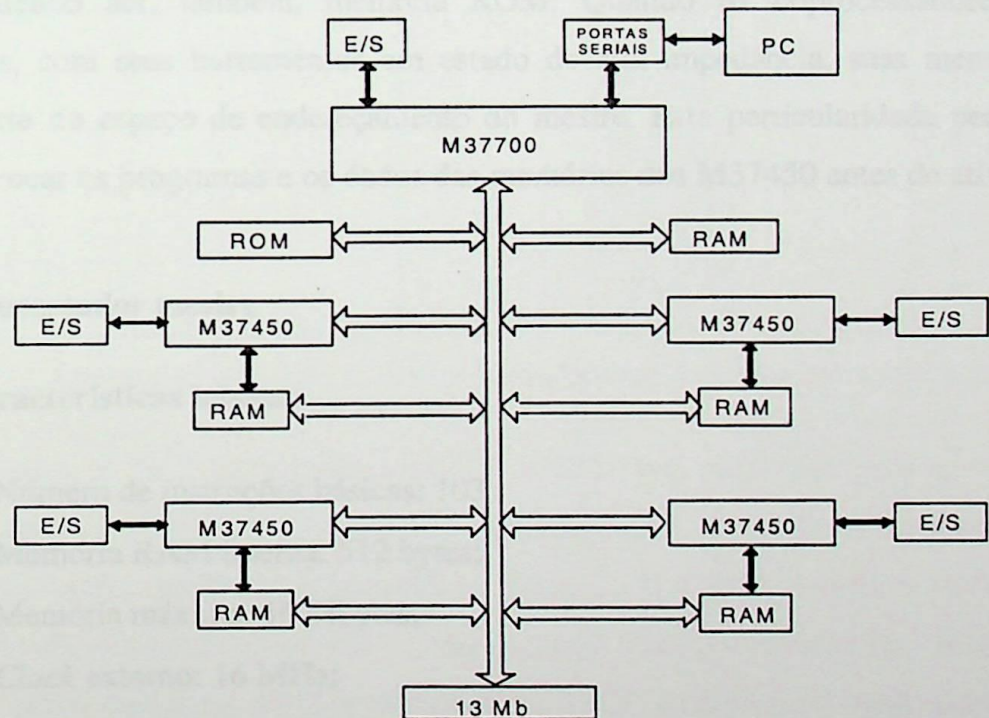
### HARDWARE

O hardware divide-se em duas partes: o controlador multiprocessado e os circuitos de interface e condicionamento de sinais entre o controlador e o conversor.

#### **3.1 Controlador multiprocessado**

##### **3.1.1 Generalidades**

O *Algoritmo Escalar* foi implementado utilizando-se um controlador multiprocessado (figura 3.1), desenvolvido por Leonard [16].



**Fig. 3. 1 Controlador multiprocessado.**

O controlador multiprocessado é composto por um microcontrolador de 16 bits (M37700) denominado mestre, e quatro microcontroladores de 8 bits (M37450) denominados coprocessadores, todos fabricados pela Mitsubishi Electric Corporation [17] - [18]. O controlador possui um compilador da linguagem *Forth* residente em

memória não volátil [19]. Logo os programas para os referidos processadores podem ser escritos tanto em linguagem de alto nível (*Forth*) como em linguagem de baixo nível (*Assembly*) e testados nas memória de acesso aleatório (RAM) do próprio controlador.

Uma configuração do tipo estrela conecta os microcontroladores. A comunicação entre o mestre e os coprocessadores se faz paralelamente. Para o mestre os coprocessadores são vistos como endereços de memória. Entretanto, estes estão conectados ao mestre por uma interface de barramento própria para uso em sistemas multiprocessados. Isto permite a transferência de um byte em 500 ns ou menos. Apesar do M37700 receber informações de apenas um M37450 em um determinado instante, ele pode transmitir a mais de um simultaneamente.

Como visto na figura 3.1, o mestre possui sua própria memória (RAM/ROM). Cada coprocessador também está munido de uma memória, no presente caso memória RAM, podendo ser, também, memória ROM. Quando os coprocessadores estão desativados, com seus barramentos em estado de alta impedância, suas memórias se tornam parte do espaço de endereçamento do mestre. Esta particularidade permite ao M37700 trocar os programas e os dados das memórias dos M37450 antes de ativá-los.

### 3.1.2 O processador mestre

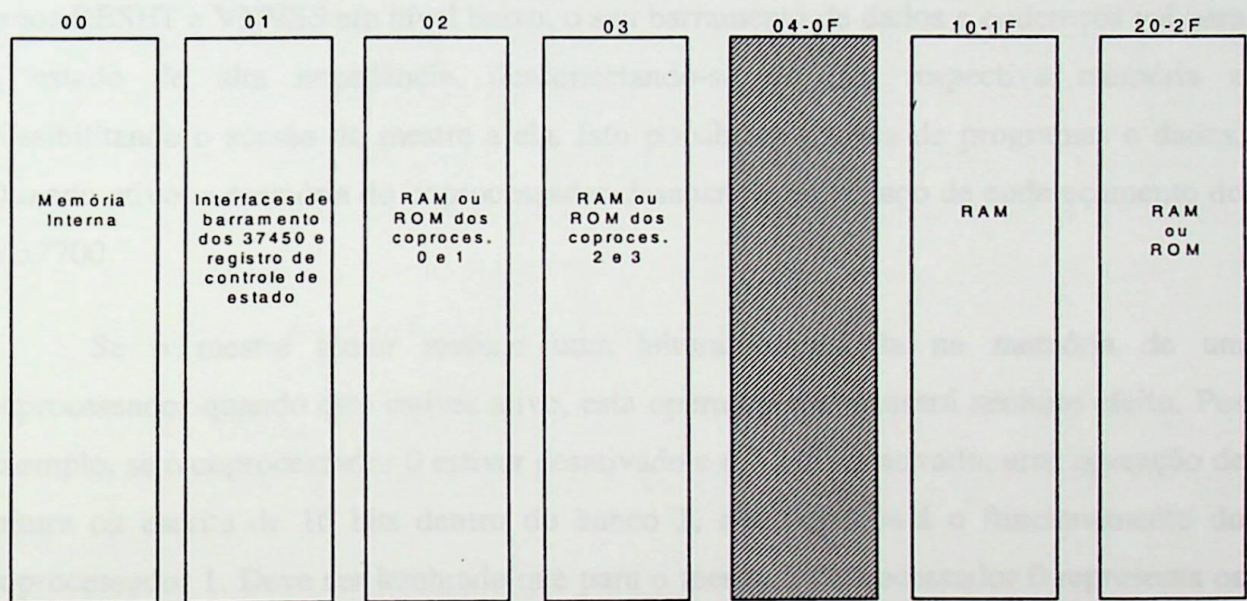
#### 3.1.2.1 Características básicas

- Número de instruções básicas: 103;
- Memória RAM interna: 512 bytes;
- Memória máxima: 16 Mbytes;
- *Clock* externo: 16 MHz;
- Tempo de execução de instruções (instrução mais rápida): 250 ns;
- Interrupções: 19 tipos, 7 níveis;
- Contadores de 16 bits: 8;
- UART's (também pode ser síncrona): 2;
- Conversor Analógico/Digital (resolução de 8 bits): 8 canais de entrada;
- *Watchdog timer* de 12 bits;

- Entradas/saídas digitais programáveis: 68.

### 3.1.2.2 Espaço de endereçamento

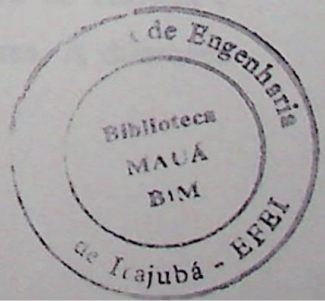
O espaço de endereçamento do M37700 é de 16 Mbytes, do endereço  $0h$  até o  $FFFFFh$ . Este espaço é dividido em unidades de 64 Kbytes denominadas bancos. Assim ele pode acessar até 256 bancos. Os três primeiros Mbytes do espaço de endereçamento (os bancos 00 até 2Fh) estão localizados internamente ao controlador e estão divididos de acordo com a figura 3.2.



**Fig. 3. 2** Mapa da memória interna ao controlador (três primeiros Mbytes).

Um espaço de 2 Mbytes (bancos 10h a 2Fh) está reservado para as memórias dedicadas do M37700 (RAM ou ROM). As memórias dos coprocessadores 0 e 1, quando estes estão desativados, formam o banco 2. O mestre acessa a memória do primeiro através dos endereços pares e a do segundo através dos endereços ímpares. Da mesma forma, as memórias dos coprocessadores 2 e 3, quando igualmente desativados, formam o banco 3. O banco 1 permite a comunicação diretamente com os coprocessadores, via interface de barramento. Ele comporta igualmente um registro de controle de estado. Finalmente o banco 0 contém as memórias internas do M37700. Os 13 Mbytes não localizados no controlador podem ser acessados através de um conector especial.

### 3.1.2.3 Memórias dedicadas



O controlador possui quatro soquetes de 32 pinos onde podem ser inseridos os circuitos integrados de memória de 8 bits. Um primeiro grupo, 2 soquetes, contém as memórias RAM. O segundo grupo, também 2 soquetes, pode conter tanto RAM como ROM. As memórias RAM permitidas são de dimensões 32Kx8 à 512Kx8 e as ROM de 16Kx8 à 64Kx8.

### 3.1.2.4 Acesso as memórias dos coprocessadores pelo mestre

O controlador tira proveito do fato de que quando um M37450 está desativado, pinos RESET e VNVSS em nível baixo, o seu barramento de dados e endereços vai para o estado de alta impedância, desconectando-se de sua respectiva memória e possibilitando o acesso do mestre a ela. Isto possibilita a troca de programas e dados. Quando ativo, a memória do coprocessador desaparece do espaço de endereçamento do M37700.

Se o mestre tentar realizar uma leitura ou escrita na memória de um coprocessador quando este estiver ativo, esta operação não causará nenhum efeito. Por exemplo, se o coprocessador 0 estiver desativado e o 1 estiver ativado, uma operação de leitura ou escrita de 16 bits dentro do banco 2, não perturbará o funcionamento do coprocessador 1. Deve ser lembrado que para o mestre o coprocessador 0 representa os endereços pares e o 1 os endereços ímpares no banco.

### 3.1.2.5 Interface de barramento dos coprocessadores

Como visto anteriormente, o mestre comunica-se com os coprocessadores através do banco 1. As interfaces de barramento de cada M37450 aparecem como dois endereços dentro deste banco.

O endereço de base é o registro de dados principal. Uma escrita neste endereço transmite um byte ao registro de entrada da interface de barramento do M37450 com o pino de controle da interface A0 mantido em 0. Uma leitura permite obter um byte do registro de saída da interface. Deve-se notar que os chamados registro de entrada e registro de saída são na realidade um único registro nos coprocessadores. A diferença

nos nomes serve apenas para indicar se o dado foi armazenado no registro pelo mestre ou pelo coprocessador, respectivamente.

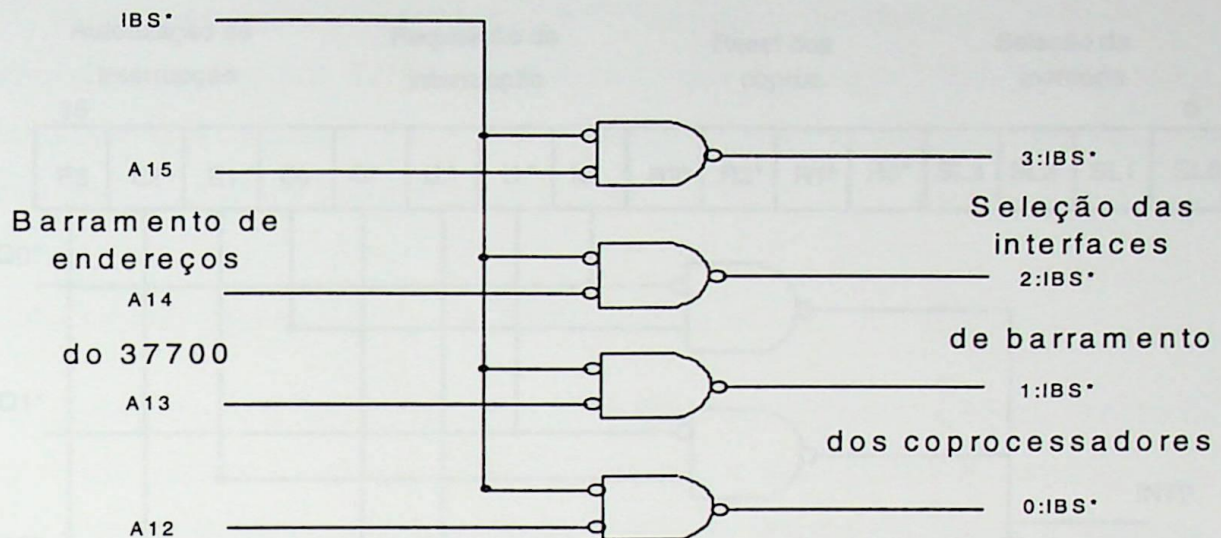
O segundo endereço, situado dois bytes acima do endereço de base, permite enviar um byte ao registro de entrada juntamente com o pino de controle da interface A0 mantido em 1. A leitura deste endereço permite ao M37700 obter o registro de estado da interface do coprocessador.

Nota-se que o estado dos bits 0, 1 e 3 do registro de estado da interface são bits somente para leitura, indicando o estado do *buffer* do barramento de dados, sendo que o bit 3 representa o valor do pino A0. Assim, lendo o valor do bit 3, o coprocessador pode diferenciar o valor armazenado no registro de entrada, ou seja, este bit pode ser considerado um nono bit para o valor armazenado no registro de entrada. Na implementação aqui realizada, se o valor do bit A0 for 1 o valor armazenado no registro é o da amplitude; se o valor do bit A0 for 0 o valor armazenado é o da freqüência. Os outros bits têm suas funções definidas pelo programador.

O bit 2 indica, por convenção, que a interface não está pronta para receber um byte. Por isso, para utilização da interface é necessário que o bit 2 seja mantido em zero todo o tempo.

A figura 3.3 ilustra o circuito para seleção das interfaces de barramento dos coprocessadores. A linha *IBS*\* provém dos decodificadores de endereços e seleciona o banco 1. Verifica-se que as linhas *n:IBS*\* só ativarão as interfaces de barramento dos respectivos coprocessadores, se as entradas de seleção tiverem, ambas, nível lógico zero (a seleção das interfaces se faz por nível lógico zero). Com isto os endereços de base estão mostrados na tabela 3.1.

Ressalta-se que apesar de ler apenas um coprocessador por vez, o mestre pode escrever em mais de um simultaneamente. A operação de escrita simultânea nos coprocessadores é facilitada pela escolha dos endereços da tabela 3.1, através da combinação destes por operações lógicas E.



**Fig. 3. 3** Circuito de seleção das interfaces de barramento dos coprocessadores.

**Tabela 3. 1** Endereços de base, para seleção das interfaces de barramento dos coprocessadores, dentro do banco 1 do processador mestre.

coproc.	endereço	A15	A14	A13	A12
0	E000h	1	1	1	0
1	D000h	1	1	0	1
2	B000h	1	0	1	1
3	7000h	0	1	1	1

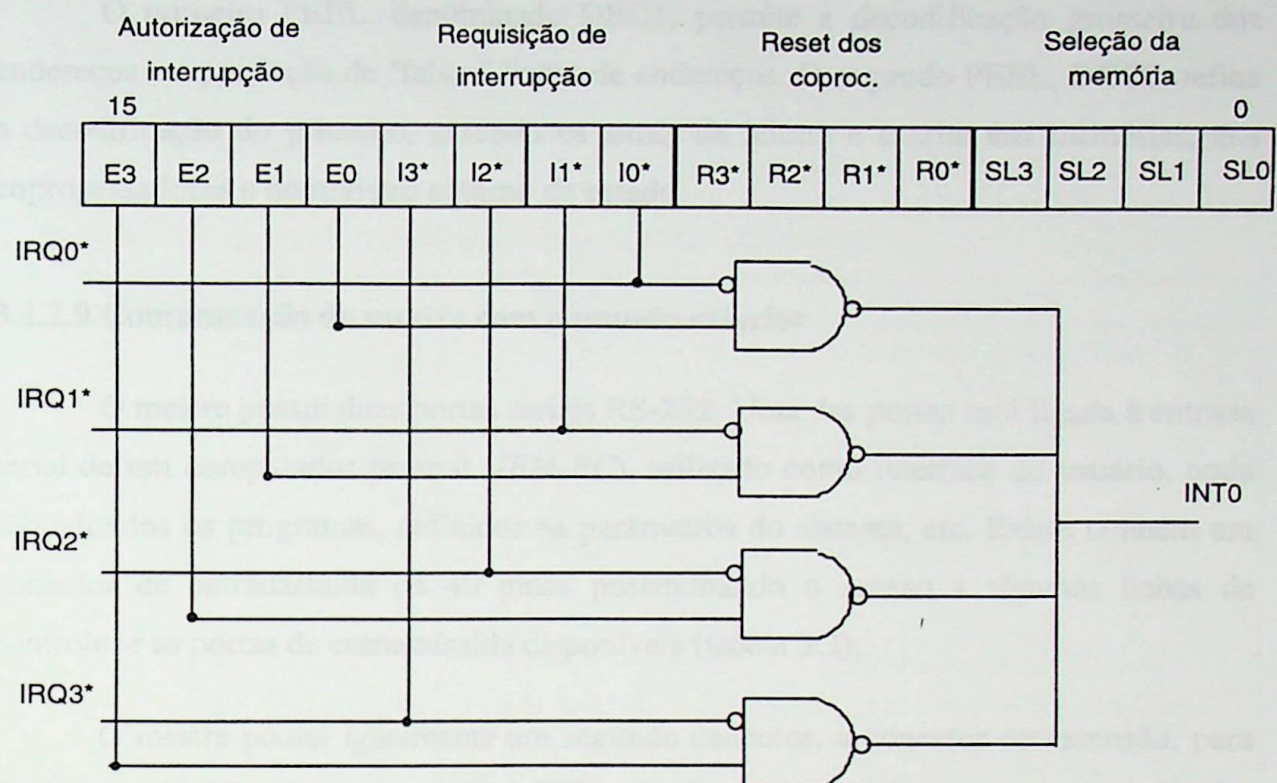
Logo:

a) para escrevermos nos coprocessadores 0 e 2, executamos uma operação de armazenamento (*store*) nos endereços E000h E B000h, resultando em A000h, ou seja, os bits A14 e A12 estão em zero, o que seleciona as interfaces dos coprocessadores 0 e 2;

b) para escrevermos em todos os coprocessadores, executamos uma operação de armazenamento nos endereços E000h E D000h E B000h E 7000h, resultando em 0000h, selecionando em consequência todas as interfaces.

### 3.1.2.6 Registro de controle de estado

O banco 1 comporta igualmente um registro externo de 16 bits, localizado no endereço F000h, possuindo diversas funções (figura 3.4).



**Fig. 3. 4 Registro externo de controle de estado do mestre.**

Os bits SL0 a SL2 são utilizados nos circuitos de decodificação de endereços. O bit SL3 está reservado para acesso aos 13 Mbytes de memória externos ao controlador. Os bits 4 a 7 indicam se os coprocessadores estão ou não no estado de *reset*. Os bits 8 a 11 são as requisições de interrupções dos coprocessadores feitas ao mestre. Finalmente os bits 12 a 15 são as máscaras das interrupções anteriores. As linhas  $IRQ_n^*$  são as linhas de requisição de interrupção vindas dos coprocessadores. A linha INT0 é a linha da interrupção 0 (zero) do mestre.

### 3.1.2.7 Banco 0

Os registros de controle e os registros das portas de entrada e saída, os vetores de interrupção e a memória interna do M37700 residem dentro do banco 0.

### 3.1.2.8 PEELs

Um PEEL é um componente do tipo PAL que é programável e apagável eletricamente. O controlador comporta dois PEELs.

O primeiro PEEL, denominado DEC1, permite a decodificação grosseira dos endereços e a produção de "falsas" linhas de endereços. O segundo PEEL, DEC2, refina a decodificação do primeiro, gerando os sinais de leitura e escrita nas memórias, nos coprocessadores e no registro externo de estado.

### 3.1.2.9 Comunicação do mestre com o mundo exterior

O mestre possui duas portas seriais RS-232. Uma das portas está ligada à entrada serial de um computador pessoal (*IBM-PC*), utilizado como interface do usuário, onde são editados os programas, definidos os parâmetros do sistema, etc. Existe também um conector de entrada/saída de 40 pinos possibilitando o acesso a algumas linhas de controle e as portas de entrada/saída disponíveis (tabela 3.2).

O mestre possui igualmente um segundo conector, o conector de extensão, para acesso aos 13 Mbytes (bancos 30h a FFh) não disponíveis internamente ao controlador (tabela 3.3).

## 3.1.3 Coprocessadores

### 3.1.3.1 Características básicas

- Número de instruções básicas: 71;
- Memória RAM interna: 512 bytes;
- Memória externa: 64 Kbytes;
- *Clock* externo: 10 MHz;
- Tempo de execução de instruções (instrução mais rápida): 0,8 µs;
- Interrupções: 15 eventos;
- Contadores de 16 bits: 3;
- Contador de 8 bits (utilizado pela entrada/saída serial): 1;
- Entrada/saída serial (UART ou clock síncrono): 1;
- Conversor Analógico/Digital (resolução de 8 bits): 8 canais;
- Conversor Digital/Analógico (resolução de 8 bits): 2 canais;
- Saída PWM (8 ou 16 bits): 1;

- Entradas/saídas digitais programáveis: 48;
- Entrada Digital: 8;
- Saída Digital: 2.

**Tabela 3. 2** Pinagem do conector de entrada/saída do mestre.

Pino do conector	Nome	Observação
1	Vin	Alimentação sem regulação(7 a 20 Vdc)
2	+5	Alimentação regulada
24 26 28 30 32 34 36 38 40	Gnd	Terra digital e analógico
4 6 5 7 39	RST* CLR* PHI E* Vref	Sinal de <i>reset</i> do 37700 Sinal de <i>reset</i> do controlador (saída) <i>Clock</i> do 37700 <i>Enable</i> do 37700 Referência para conversão A/D
37 35 33 31 29 27 25 23	P77/AN7 P76/AN6 P75/AN5 P74/AN4 P73/AN3 P72/AN2 P71/AN1 P70/AN0	<ul style="list-style-type: none"> <li>•Porta de entrada/saída digital</li> <li>•Entrada analógica dos conversores analógicos/digitais</li> </ul>
22 21 20 19 18 3 17 16	P67/TB2in P66/TB1in P65/TB0in P64/Int2* P63/Int1* Int0* P61/TA4in P60/TA3out	<ul style="list-style-type: none"> <li>•Porta de entrada/saída digital</li> <li>•Entrada das interrupções externas Int2*, Int1* e Int0* (esta usada pelos coprocessadores)</li> <li>•Entrada dos contadores tipo B</li> <li>•Entrada/saída dos contadores tipo A</li> </ul>
15 14 13 12 11 10 9 8	P57/TA3in P56/TA3out P55/TA2in P54/TA2out P53/TA1in P52/TA1out P51/TA0in P50/TA0out	<ul style="list-style-type: none"> <li>•Porta de entrada/saída digital</li> <li>•Entrada/saída dos contadores tipo A</li> </ul>

**Tabela 3.3** Conector de extensão.

Pino do conector	Nome	Observação
2 40	+5	Alimentação regulada
1 19 39	Gnd	Terra digital e analógico
28	R/W*	<i>Read/Write</i>
29	BHE*	<i>Byte High Enable</i>
30	ALE*	<i>Address latch Enable</i>
31	HLDA*	<i>Hold Acknowlwdge</i>
32	E*	<i>Enable</i>
33	PHI	<i>Clock</i>
34	CLR*	<i>Reset</i>
35	RDY*	<i>Ready</i>
36	HOLD*	<i>Hold</i>
37	EXT	Extensão: nível 1 quando mestre acessa o barramento de extensão
38	SL3	Bit do registro externo
3	A0	
4	A1	
5	A2	
6	A3	
7	A4	
8	A5	
9	A6	
10	A7	
11	A8/D8	
12	A9/D9	
13	A10/D10	
14	A11/D11	
15	A12/D12	Barramento de endereços e dados
16	A13/D13	
17	A14/D14	
18	A15/D15	
20	A16/D0	
21	A17/D1	
22	A18/D2	
23	A19/D3	
24	A20/D4	
25	A21/D5	
26	A22/D6	
27	A23/D7	

### 3.1.3.2 Memórias

Sendo capazes de acessarem até 64 Kbytes de memória, os coprocessadores dentro do controlador estão limitados ao máximo de 32 Kbytes. Isto se deve ao fato de

que, como cada banco de memória do mestre possui 64 Kbytes, e como um banco (2 ou 3) contém a memória de dois coprocessadores, uma sendo acessada pelos endereços pares e outra pelos ímpares, cada coprocessador pode, então, acessar no máximo 32 Kbytes.

### 3.1.3.3 Comunicação dos coprocessadores com o mundo exterior

Cada M37450 também possui seu próprio conector de entrada/saída (tabela 3.4).

**Tabela 3. 4 Conector externo dos coprocessadores.**

Pino do conector	Nome	Observação
1	Vin	Alimentação sem regulação (7 a 20 Vdc)
2	+5	Alimentação regulada
3 18 21 26 31 34	Gnd	Terra analógico e digital
17	RAZ*	Reset do 37450
4	PHI	Clock do 37450
32	ADRef	Referência para conversão A/D
33	DARef	Referência para conversão D/A
20	DA1	Saídas conversores D/A
19	DA2	
37	P47/AN7	
35	P46/AN6	
33	P45/AN5	•Portas de entrada/saída digital
31	P44/AN4	•Entradas analógicas dos conversores A/D
29	P43/AN3	
27	P42/AN2	
25	P41/AN1	
23	P40/AN0	
8	P63/PR*	•Portas de entrada/saída digital
7	P62/Int3	•Requisição de interrupção (PR*)
6	P61/Int2	•Entrada para interrupções externas
5	P60/Int0	
16	P37/SRDY	
15	P36/SCLK	
14	P35/TXD	•Portas de entrada/saída digital
13	P34/RXD	•Sinais para comunicação serial
12	P33/PWM	•Saída gerador PWM
11	P32/EV3	•Saída/entrada dos contadores (EVn)
10	P31/EV2	
9	P30/EV1	

### 3.1.4 Utilização do controlador multiprocessado

Neste trabalho, o controle, em tempo real, de conversores diretos de freqüência, foi dividido entre os vários processadores do controlador. Três dos coprocessadores ficaram responsáveis, cada um, pelo controle dos três interruptores que conectam as três tensões de entrada a um mesmo ramo de saída. Eles implementam as equações para o cálculo dos tempos de acionamento dos interruptores, equações (13), (14) e (15).

O quarto coprocessador obtém o valor de pico das tensões de entradas, e o envia aos outros coprocessadores. Este valor de pico é utilizado pelas equações (13) e (14). A obtenção do valor de pico das tensões de entrada é necessária, evitando-se assim a geração de valores falsos de tempos de acionamento, como ilustrado nos exemplos a seguir.

Considerando:

$v_M = 5 \text{ V}$ ,  $v_K = -2,5 \text{ V}$ ,  $v_L = -2,5 \text{ V}$ ,  $v_0 = -2 \text{ V}$ ,  $V_i = 5 \text{ V}$ ,  $T_s$  igual a uma unidade qualquer de tempo e substituindo os valores nas equações (13) - (15), temos:

$$t_K = \frac{(-2 - 5) \cdot (-2,5)}{37,5} \cong 0,47$$

$$t_L = \frac{(-2 - 5) \cdot (-2,5)}{37,5} \cong 0,47$$

$$t_M = 1 - 0,47 - 0,47 = 0,06$$

Logo a tensão de saída será de:

$$v_0 = 5 \cdot 0,06 - 2,5 \cdot 0,47 - 2,5 \cdot 0,47 = -2,05 \cong -2 \text{ V}$$

que é a tensão desejada.

Se houver uma diminuição no valor da tensão de entrada, por exemplo, em 10%, os valores das tensões se tornarão:

$$v_M = 4,5 \text{ V}, v_K = -2,25 \text{ V}, v_L = -2,25 \text{ V}$$

Para um  $v_0 = -2 \text{ V}$  e utilizando um valor de pico de  $4,5 \text{ V}$  temos que  $1,5 V_i^2 = 30,375$  e:

$$t_K = \frac{(-2 - 4,5) \cdot (-2,25)}{30,375} \cong 0,48$$

$$t_L = \frac{(-2 - 4,5) \cdot (-2,25)}{30,375} \cong 0,48$$

$$t_M = 1 - 0,48 - 0,48 = 0,04$$

chegamos a uma tensão de saída de:

$$v_0 = 5,0,04 - 2,25 \cdot 0,48 - 2,25 \cdot 0,48 = -1,96 \cong -2 \text{ V}$$

Porém, realizando o cálculo dos tempos de acionamento com as tensões de entrada reduzidas em 10%, e com o valor de pico mantido em 5 V, temos:

$$t_K = \frac{(-2 - 4,5) \cdot (-2,25)}{37,5} = 0,39$$

$$t_L = \frac{(-2 - 4,5) \cdot (-2,25)}{37,5} = 0,39$$

$$t_M = 1 - 0,39 - 0,39 = 0,22$$

conseguiremos uma tensão de saída de:

$$v_0 = 4,5 \cdot 0,22 - 2,25 \cdot 0,39 - 2,25 \cdot 0,39 = -0,765 \text{ V}$$

totalmente diferente da tensão desejada que é de -2 V.

Finalmente, fazendo os cálculos para valores de tensões de entrada sem redução, mas com o valor de pico reduzido em 10%:

$$t_K = \frac{(-2 - 5) \cdot (-2,5)}{30,375} \cong 0,58$$

$$t_L = \frac{(-2 - 5) \cdot (-2,5)}{30,375} \cong 0,58$$

$$t_M = 1 - 0,39 - 0,39 = -0,16$$

Ou seja, obtemos um valor negativo para o tempo de acionamento, gerando uma situação que não deve ocorrer.

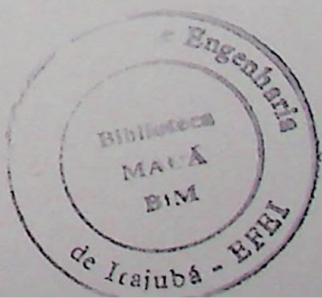
Observa-se, dos exemplos, que o valor da tensão de saída permanece invariável, mesmo com variações nos valores das amplitudes das tensões de entrada. Porém, estas variações devem ser fornecidas ao programa de controle através de uma aquisição contínua do valor de pico das tensões.

Dos coprocessadores usados para o controle dos interruptores são utilizados: quatro conversores A/D (ADCs, *Analog to Digital Converters*), três portas digitais e três contadores. Os ADCs (trabalhando com tensões analógicas entre 0 e 5 volts) são responsáveis pela aquisição dos valores dos módulos das tensões de entrada e do valor de pico dessas tensões. As portas digitais obtém os valores das polaridades das tensões de entrada. Os contadores são os dispositivos responsáveis pela geração dos sinais de acionamento dos interruptores. Cada contador aciona um interruptor. Do coprocessador usado para a obtenção do valor de pico são utilizados três ADCs, um conversor D/A (DAC, *Digital to Analog Converter*) e uma entrada digital. Os ADCs realizam a aquisição dos valores de pico das três tensões de entrada e o DAC envia este valor aos outros coprocessadores. A entrada digital lê um sinal para se manter o sincronismo do programa para obtenção do valor de pico com a rede elétrica.

Por sua vez, o mestre gerencia a comunicação dos coprocessadores com o *PC*. Através do mestre os programas desenvolvidos no *PC* são carregados nas memórias dos coprocessadores e os valores das referências dos parâmetros (freqüência e amplitude das tensões de saída) são enviados aos M37450. Estas últimas ações são realizadas através de rotinas escritas em *Forth*.

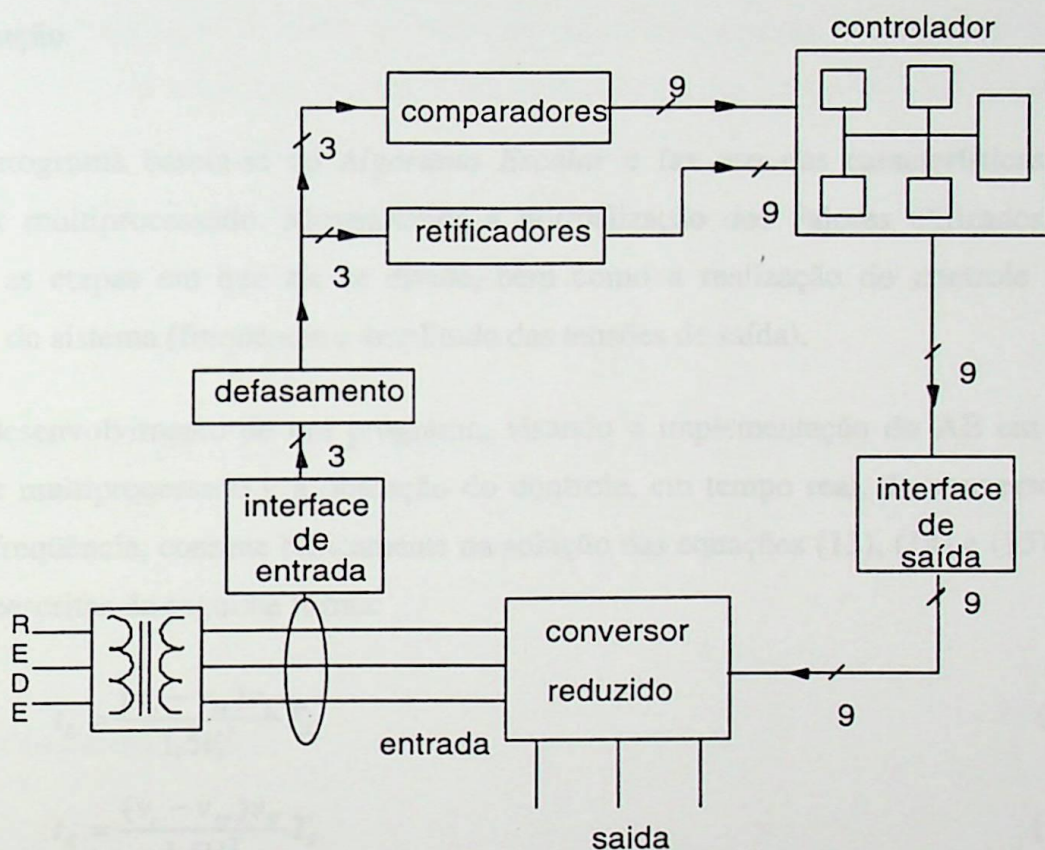
### 3.2 Circuitos de interface e condicionamento

As tensões de entrada ( $v_A$ ,  $v_B$  e  $v_C$ ) são obtidas de um sistema trifásico. Estas tensões são reduzidas, através de transformadores, a níveis compatíveis com a operação dos interruptores utilizados, como mostrado na figura 3.5. Para assegurar uma isolamento elétrico entre o sistema de controle e o do conversor são usados amplificadores isoladores (ISO122) e optoisoladores (HP2300) como interfaces de entrada e de saída para o controlador, respectivamente. Após os amplificadores isoladores existe um bloco de defasamento que adianta em aproximadamente  $10^\circ$  as tensões de entrada. Isto ocorre para compensar o atraso de 500  $\mu s$  gerado pelo programa de controle, quando da aplicação dos sinais de acionamento aos interruptores, pois definimos um ciclo de operação de 500  $\mu s$  para o programa. Antes dos coprocessadores fazerem a aquisição



dos valores das tensões, é necessário realizar o condicionamento destes valores. Os circuitos usados para o condicionamento dos valores de tensão são:

- retificadores de precisão, gerando o valor do módulo das tensões;
- comparadores, produzindo o valor da polaridade das tensões.



**Fig. 3. 5** Circuitos de interface e condicionamento dos sinais.

## CAPÍTULO 4

### PROGRAMA DE CONTROLE

#### 4.1 Introdução

O programa baseia-se no *Algoritmo Escalar* e faz uso das características do controlador multiprocessado. Mostraremos a normalização dos valores utilizados no programa, as etapas em que ele se divide, bem como a realização do controle dos parâmetros do sistema (freqüência e amplitude das tensões de saída).

O desenvolvimento de um programa, visando a implementação do AE em um controlador multiprocessado e a obtenção do controle, em tempo real, de conversores diretos de freqüência, consiste basicamente na solução das equações (13), (14) e (15), as quais são reescritas da seguinte forma:

$$t_L = \frac{(v_o - v_M)v_L}{1,5V_i^2} T_s \quad (18)$$

$$t_K = \frac{(v_o - v_M)v_K}{1,5V_i^2} T_s \quad (19)$$

$$t_M = T_s - t_K - t_L \quad (20)$$

Estas equações definem os tempos de acionamento dos três interruptores que compõem um ramo de saída. Três coprocessadores respondem, cada um, pelo controle desses três interruptores. O quarto coprocessador obtém o valor de pico das tensões de entrada, utilizado nas equações (18) e (19), e o envia aos outros coprocessadores. O programa de controle e o de obtenção do valor de pico foram escritos em linguagem *Assembly*, em um editor de texto genérico (*Edit* do MS-DOS), e convertido em linguagem de máquina através de um compilador universal (*Cross-32 Meta-Assembler*). A transferência dos programas para as memórias dos coprocessadores, bem como o

controle dos parâmetros do sistema, são realizados através de comandos escritos em *Forth*.

Um ciclo de operação do programa divide-se nas seguintes etapas:

- obtenção dos valores da tensão de saída desejada  $v_o$  e das tensões de entrada  $v_A$ ,  $v_B$  e  $v_C$ ;
- obtenção do valor de pico das tensões de entrada e sua manipulação para utilização nas equações para cálculo dos tempos de acionamento dos interruptores;
- determinação das tensões  $v_K$ ,  $v_L$  e  $v_M$ ;
- cálculo dos tempos de ativação dos interruptores  $t_K$ ,  $t_L$  e  $t_M$ ;
- geração dos sinais de acionamento.

A priori, faremos algumas considerações à respeito da normalização dos valores de tensão e de tempo utilizados para o cálculo dos tempos de acionamento dos interruptores.

#### 4.2 Normalização dos valores

Devido ao fato de que nas equações para cálculo dos tempos de acionamento dos interruptores existem tanto valores de tensão como valores de tempo, devemos realizar uma normalização destes para valores decimais ou hexadecimais, podendo assim, serem trabalhados em *Assembly*.

Como nos coprocessadores os ADCs de 8 bits trabalham com sinais analógicos variando entre zero e +5 volts, podemos obter uma tabela de correspondência entre valores de tensão e valores decimais e hexadecimais (tabela 4.1). Nesta tabela os valores entre zero e +5 volts são definidos pela faixa de conversão dos ADCs, sendo os demais decorrentes desta faixa.

**Tabela 4. 1** Correspondência entre valores de tensão e valores decimais e hexadecimais.

tensão (V)	valor decimal	valor hexadecimal
0	0	00
5	255	FF
10	510	1FE
15	765	2FD
20	1020	3FC
25	1275	4FB
30	1530	5FA
35	1785	6F9
40	2040	7F8

Tomemos como exemplo um valor de pico ( $V_i$ ) igual a +5 volts. Assim temos que o termo  $1,5V_i^2$  das equações será igual à 37,5 volts. Então pela tabela 4.1 temos:

$$1,5V_i^2 = 37,5V = 1912 = 778h$$

Será visto adiante que os contadores de 16 bits dos M37450 são usados para a geração dos sinais de acionamento dos interruptores. Devido a isto, o tempo de duração dos sinais de acionamento é definido pelo número de decrementos, cada um durando um ciclo de instrução, do valor armazenado nos registros dos contadores. Assim podemos obter uma segunda tabela, de correspondência entre valores de tempo e valores decimais e hexadecimais (tabela 4.2). Nesta os valores decimais e hexadecimais correspondem ao número de decrementos necessários para os contadores gerarem um pulso com a respectiva duração de tempo. Esta tabela decorre do fato de que o sinal de acionamento começa com o início do decremendo do valor carregado nos registros e termina com a ocorrência do decremendo de 0000h para FFFFh. Por isso, se no registro de um contador for carregado o valor zero, este valor sofrerá um decrememento. Conseqüentemente gerará um pulso de 0,4  $\mu$ s, que é a duração de um ciclo de instrução com os coprocessadores operando a uma freqüência de 10 MHz..

**Tabela 4. 2** Correspondência entre valores de tempo e valores decimais e hexadecimais.

tempo ( $\mu$ s)	número de decrementos	correspondente decimal	correspondente hexadecimal
0,4	1	0	00
100	250	249	F9
200	500	499	1F3
300	750	749	2ED
400	1000	999	3F7
500	1250	1249	4E1
600	1500	1499	5DE

Escolheu-se uma freqüência de comutação ( $f_s$ ) de 2000 Hz. Como aplicações usuais na indústria trabalham com conversores gerando freqüências de até 200 Hz, a  $f_s$  escolhida está em concordância com o Teorema de Nyquist. Além disso, esta freqüência resulta num período de comutação ( $T_s$ ) de 500 μs, que também é a duração de um ciclo do programa, tornando viável o controle, em tempo real, dos conversores.

Logo, temos o período  $T_s$  correspondendo a:

$$T_s = 500 \mu s = 1250 \text{ decrementos} = 1249 = 4E1h$$

Nas equações (18) e (19) observamos que, nos termos  $(v_o - v_M)v_L$  e  $(v_o - v_M)v_K$ , ao se fazer a soma algébrica o resultado ficará corretamente dentro da tabela 4.1. Mas na multiplicação, para manter o resultado coerente com a tabela, devemos dividir o produto por 51 ou 33h, que é o valor correspondente a 1 volt. Veja exemplo a seguir.

Considerando  $v_o = 2$  V,  $v_M = -5$  V,  $v_L = 3$  V e utilizando os valores obtidos pela tabela 4.1 temos:

$$\begin{aligned} (v_o - v_M)v_L &= (2 + 5) \cdot 3 = (102 + 255) \cdot 153 \\ &= 7 \cdot 3 = 357 \cdot 153 \rightarrow 357 \text{ corresponde a } 7 \text{ V} \\ &= 21 = 54621 \rightarrow 54621 \text{ não corresponde} \end{aligned}$$

a 21V, que pela tabela 4.1 deve ser 1071.

No entanto, dividindo-se o produto por 51, obtemos:

$$\frac{54621}{51} = 1071 \rightarrow \text{valor coerente com a tabela.}$$

Logo, substituindo o valor de  $T_s$  por 4E1h e fazendo a divisão por 33h, reescrevemos as equações (18) e (19) como:

$$\begin{aligned} t_L &= \frac{(v_o - v_M)v_L}{1,5V_i^2} \cdot \frac{4E1h}{33h} = \frac{(v_o - v_M)v_L}{1,5V_i^2} \cdot 18h \\ t_K &= \frac{(v_o - v_M)v_K}{1,5V_i^2} \cdot \frac{4E1h}{33h} = \frac{(v_o - v_M)v_K}{1,5V_i^2} \cdot 18h \end{aligned}$$

Ou de outro modo:



$$t_L = \frac{(v_o - v_M)v_L}{\frac{1,5V_i^2}{18h}}$$

$$t_K = \frac{(v_o - v_M)v_K}{\frac{1,5V_i^2}{18h}}$$

Substituindo o valor de  $1,5V_i^2$  por  $778h$ , chegamos à:

$$t_L = \frac{(v_o - v_M)v_L}{4Eh}$$

$$t_K = \frac{(v_o - v_M)v_K}{4Eh}$$

Os M37450 operam apenas com valores inteiros. Porém a divisão quase sempre resulta em valores fracionários. Para contornar este problema, utilizamos a seguinte sistemática, evitando a manipulação de números fracionários:

- na divisão de um número  $x$  por um número  $y$ ,  $(x/y)$ , obtém-se o mesmo resultado quando se multiplica o número  $x$  pelo inverso do número  $y$ ,  $(x \cdot 1/y)$ ;
- portanto, no cálculo dos tempos, ao invés de se dividir por  $4Eh$ , é realizada a multiplicação por  $1/4Eh$ , e como:

$$\frac{1}{4Eh} \cong 0,0348h \cong 348.16^{-4}h$$

as equações (18) e (19) tornam-se:

$$t_L = 348h(v_o - v_M)v_L \quad (21)$$

$$t_K = 348h(v_o - v_M)v_K \quad (22)$$

Ressalta-se que o valor do multiplicador é  $348h$  e não  $348.16^{-4}h$  pois do resultado final de 32 bits da multiplicação são desprezados os dois bytes (os quatro dígitos hexadecimais) menos significativos, ou seja, é considerada apenas a parte inteira do resultado. Vejamos um exemplo a seguir, utilizando-se números decimais.

Multiplicando-se 542 por 0,0348 obtemos:

$$542 \cdot 0,0348 = 18,8616$$

Por sua vez, considerando os números como inteiros:

$$542.348 = 188616$$

e desprezando os quatro dígitos menos significativos temos como resultado 18; somente a parte inteira do resultado é levada em consideração.

### 4.3 Etapas de operação do programa

#### 4.3.1 Obtenção dos valores da tensão de saída desejada e das tensões de entrada

No início de cada ciclo de operação do programa, obtém-se os valores da tensão de saída desejada ( $v_o$ ) e das tensões de entrada  $v_A$ ,  $v_B$  e  $v_C$ .

##### 4.3.1.1 Obtenção dos valores da tensão de saída desejada

Os valores do módulo de  $v_o$  são obtidos através de uma tabela armazenada nas memórias RAM dos coprocessadores. Esta é composta por 256 valores de 8 bits, variando de  $00h$  a  $FFh$ . Estes valores representam um quarto do período de uma onda senoidal, ou seja, 90 graus. Assim, entre dois valores consecutivos da tabela há uma diferença de:

$$\frac{90^\circ}{256} = 0,352^\circ$$

A freqüência da senóide de saída é determinada pelo passo de amostragem da tabela. Portanto considerando o ciclo de operação do programa, a cada  $500 \mu s$  um valor é lido da tabela. A menor freqüência ocorrerá quando a tabela for amostrada com um passo unitário. Assim temos:

500 $\mu s$	<hr style="border-top: 1px dashed black;"/>	0,352 $^\circ$
x $\mu s$	<hr style="border-top: 1px dashed black;"/>	360 $^\circ$

Ou seja, se a cada  $500 \mu s$  é amostrado um valor defasado  $0,352^\circ$  do anterior, quanto tempo será gasto para se completar  $360^\circ$ , ou um período completo da senóide? No presente caso, este tempo será de  $0,51$  s. Em consequência, a menor freqüência a ser gerada é de  $1,96$  Hz. Todas as demais freqüências serão múltiplas desta. Por exemplo,

para gerarmos uma freqüência dez vezes superior a esta, devemos utilizar um passo de 10. Portanto, a cada amostragem obteremos um valor com uma defasagem de  $3,52^{\circ}$  do anterior:

$$\begin{array}{rcl} 500 \text{ } \mu\text{s} & \xrightarrow{\hspace{1cm}} & 3,52^{\circ} \\ x \text{ } \mu\text{s} & \xrightarrow{\hspace{1cm}} & 360^{\circ} \end{array}$$

obtendo  $x = 0,051$  s ou 19,60 Hz.

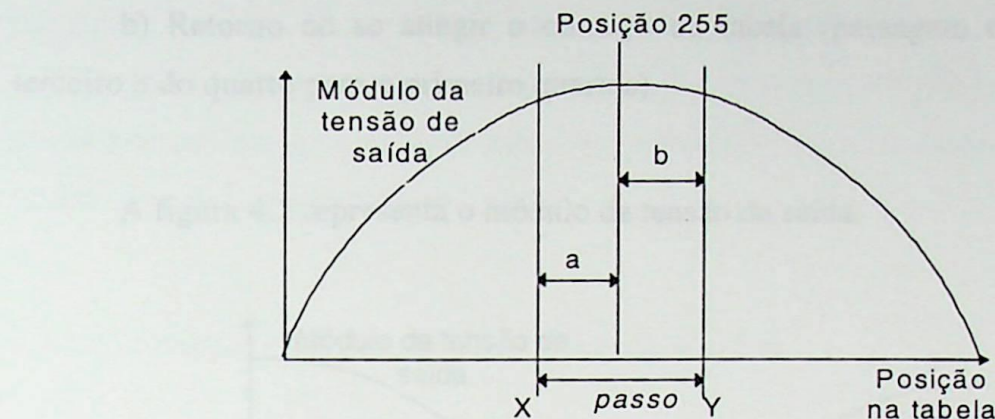
No apêndice I são feitas considerações sobre como diminuir o passo de 1,96 Hz para geração das tensões de saída.

Através do sentido de deslocamento na tabela, se da primeira posição (00h) para a última (FFh), ou vice-versa, usado em conjunto com o valor da polaridade de  $v_o$ , torna-se possível a obtenção da tensão de saída desejada em toda a sua faixa de 0 à 360 graus. Assim, após ser obtido um valor da tabela, a posição deste é incrementada ou diminuída. Se estiver sendo gerado o primeiro ou o terceiro quarto da senóide, a posição é incrementada. No primeiro caso, a polaridade é positiva, no segundo ela é negativa. Se estiver sendo gerado o segundo ou o quarto quarto da senóide, a posição é diminuída, com a polaridade positiva para o primeiro caso e negativa para o segundo. O valor do incremento ou do decremento corresponde ao passo de amostragem da tabela. Após a obtenção de um valor, é chamada uma rotina que realiza a implementação das outras etapas.

Para se fazer o retorno na tabela, na passagem de um quarto para outro da senóide, temos duas situações:

- a) Retorno ao se atingir o final da tabela (passagem do primeiro para o segundo e do terceiro para o quarto quartos).

Considera-se a figura 4.1, representando o módulo da tensão de saída.



**Fig. 4. 1** Retorno quando se atinge o final da tabela.

Na figura a distância *passo* equivale ao valor do passo de amostragem da tabela. Ao atingir-se uma posição maior do que a diferença ( $255 - \text{passo}$ ), é o momento de se retornar na tabela.

Designando-se como *X* a última posição antes do retorno, e como *Y* a primeira após, para se achar *Y* procede-se da seguinte maneira:

- calcula-se *a*,  $a = 255 - X$ , indicando quantas posições a partir de *X* faltam para se alcançar a posição 255;
- calcula-se agora *b*,  $b = \text{passo} - a$ , indicando quantas posições após 255 faltam para se alcançar *Y*;
- finalmente acha-se a posição *Y*,  $Y = 255 - b$ .

Exemplo: considerando-se um *passo* = 10 (freqüência de 19,60 Hz), temos que a diferença  $255 - \text{passo}$  é igual a  $255 - 10 = 245$ . Logo, supondo que durante a amostragem da tabela se atinja a posição 251, vemos que é o instante de se retornar na tabela ( $X = 251 > 245$ ). Então:

$$a = 255 - 251 = 4$$

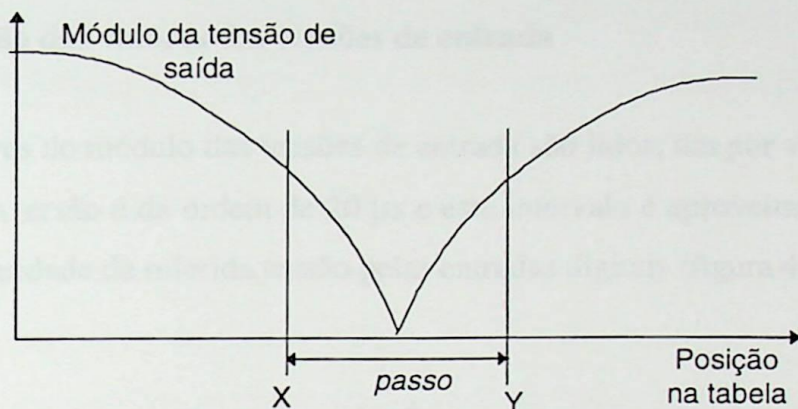
$$b = 10 - 4 = 6$$

$$Y = 255 - 6 = 249$$

Assim o próximo valor a ser obtido é o valor da posição 249. E a partir desta posição a amostragem continua, porém com o decremento da posição.

- b) Retorno ao se atingir o começo da tabela (passagem do segundo para o terceiro e do quarto para o primeiro quartos).

A figura 4.2 representa o módulo da tensão de saída.



**Fig. 4. 2** Retorno quando se atinge o começo da tabela.

Neste caso ocorrerá o retorno na tabela quando for atingida uma posição menor que o valor do *passo*, procedendo-se da seguinte maneira:

- calcula-se simplesmente a posição  $Y$ ,  $Y = \text{passo} - X$ .

Mas logicamente, quando da ocorrência deste retorno, é necessário fazer uma inversão no valor da polaridade da tensão de saída.

Exemplo: valendo-se novamente de um  $\text{passo} = 10$  e supondo que durante a amostragem da tabela atinja-se a posição 9, vemos que é o instante de se retornar na tabela ( $X = 9 < 10$ ). Então:

$$Y = 10 - 9 = 1$$

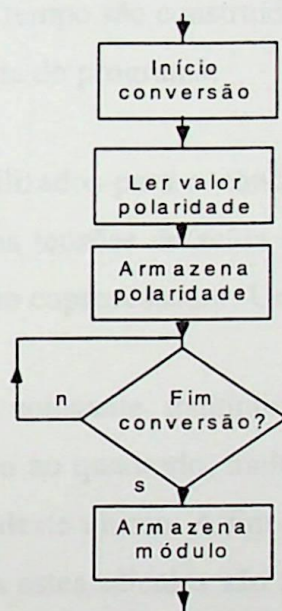
Assim, o próximo valor a ser obtido é o valor da posição 1. E a partir desta posição a amostragem continua, no entanto com o incremento da posição.

Para a geração de um sistema trifásico senoidal na saída do conversor, cada coprocessador inicia a varredura da tabela com os valores do módulo de  $v_0$  de um ponto diferente. O primeiro coprocessador inicia na posição zero da tabela e com o valor da

polaridade positiva. O segundo começa na posição 170 e polaridade também positiva (adiantado 120 graus em relação ao primeiro). Finalmente o terceiro inicia a varredura da tabela também na posição 170, mas com polaridade negativa (atrasado 120 graus em relação ao primeiro coprocessador).

#### 4.3.1.2 Obtenção dos valores das tensões de entrada

Os valores do módulo das tensões de entrada são lidos, um por vez, pelos ADCs. O tempo de conversão é da ordem de  $20 \mu s$  e este intervalo é aproveitado para a leitura do valor da polaridade da referida tensão pelas entradas digitais (figura 4.3).



**Fig. 4.3** Fluxograma da leitura de uma tensão de entrada.

#### 4.3.2 Obtenção do valor de pico das tensões de entrada

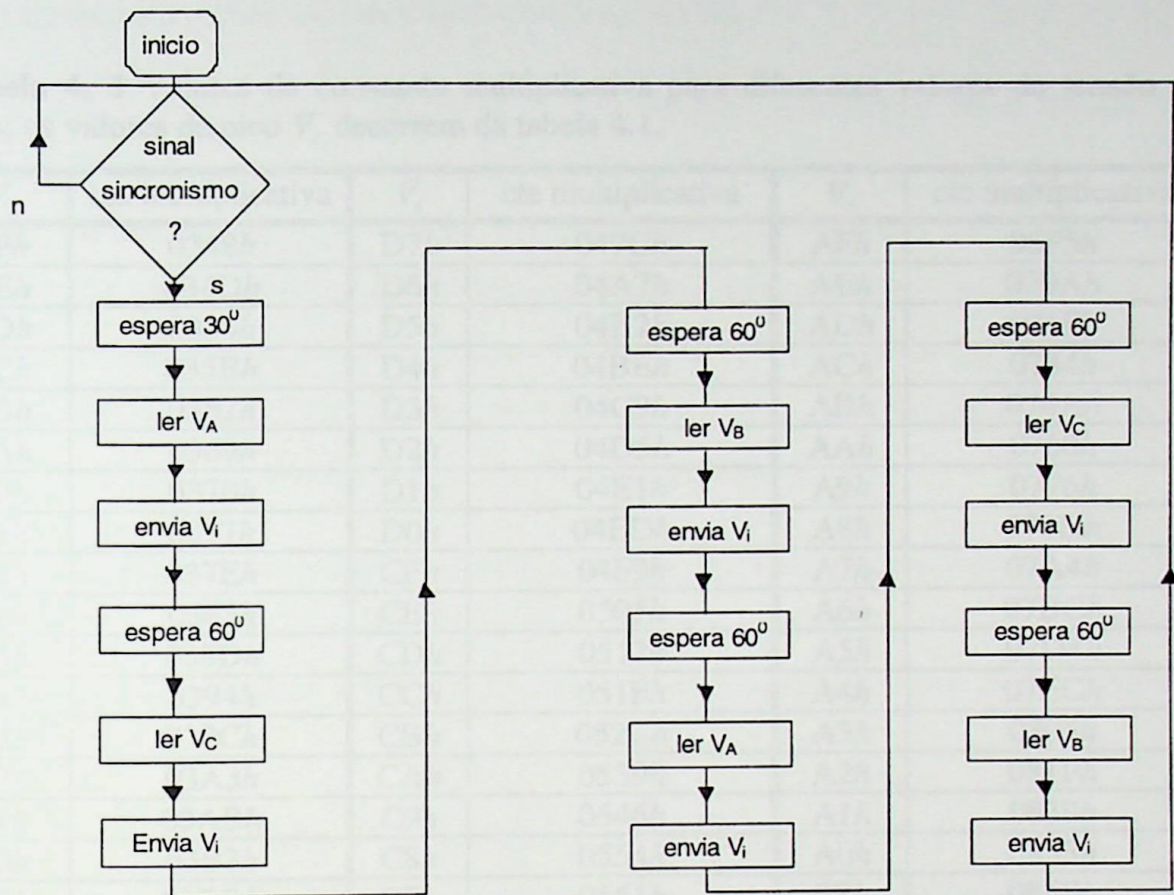
O valor de pico das tensões de entrada é obtido pelo quarto coprocessador do controlador. A técnica utilizada consiste na leitura direta do valor de pico. Três ADCs são utilizados para a leitura do valor de pico das três tensões de entrada retificadas. Um sinal de sincronismo, a mudança da polaridade da tensão  $v_c$  de positiva para negativa

(edge negativo), inicia a operação do programa. A partir da ocorrência do sinal de sincronismo, o programa espera um tempo correspondente a 30 graus elétricos (1,39 ms). Completando-se o tempo, é lido o valor de pico da tensão  $v_A$ . Envia-se este valor aos outros coprocessadores através da saída de um DAC. A seguir o programa espera um novo tempo, correspondente a 60 graus elétricos (2,78 ms), ao fim do qual lê-se o valor de pico da tensão  $v_C$ , também enviado aos outros coprocessadores. Através das etapas anteriores - espera de um tempo de 2,78 ms, leitura do valor de pico e envio deste aos coprocessadores - o programa lê consecutiva e repetidamente as tensões  $v_B$ ,  $v_A$ ,  $v_C$  e  $v_B$ . Logo, o valor de pico é atualizado a cada 2,78 ms. Após a segunda leitura de  $v_B$ , o programa aguarda a ocorrência de uma nova mudança da polaridade de  $v_C$ , para reiniciar o ciclo de leitura das tensões. O valor da polaridade de  $v_C$  é lido por uma entrada digital. Os intervalos de tempo são construídos com artifícios de programação. A figura 4.4 apresenta o fluxograma do programa.

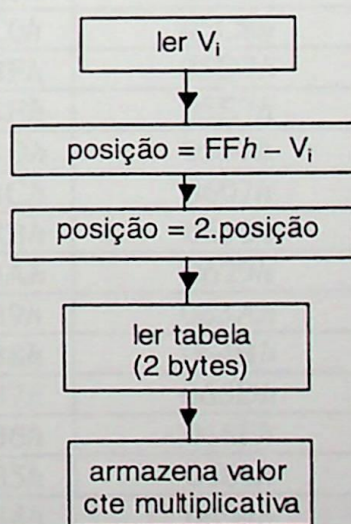
Nos coprocessadores utilizados para o controle dos interruptores do conversor, após a obtenção dos valores das tensões de saída e de entrada, realiza-se a leitura do valor de pico enviado pelo quarto coprocessador. Um ADC lê o valor.

Para obter o valor da constante multiplicativa das equações (21) e (22) é necessário elevar o valor de pico ao quadrado, multiplicar o resultado por 1,5, dividi-lo por  $18h$  e determinar o inverso deste último. A fim de contornar esta situação elaborou-se uma tabela, tabela 4.3. Todos estes cálculos são feitos antecipadamente para diversos valores de  $V_i$ , valores estes baseados na tabela 4.1. A tabela com os valores da constante multiplicativa é armazenada na memória dos coprocessadores.

Com o valor de pico recebido do quarto coprocessador, através da busca na tabela, obtém-se o valor da constante multiplicativa para utilização no cálculo dos tempos de acionamento dos interruptores. A figura 4.5 mostra o fluxograma desta etapa.



**Fig. 4. 4** Fluxograma do programa para aquisição do valor de pico das tensões de entrada.



**Fig. 4. 5** Obtenção dos valores das constantes multiplicativas.

**Tabela 4. 3** Valores da constante multiplicativa para diferentes valores de tensão de pico; os valores de pico  $V_i$  decorrem da tabela 4.1.

$V_i$	cte multiplicativa	$V_i$	cte multiplicativa	$V_i$	cte multiplicativa
FFh	0348h	D7h	049Ch	AFh	06F5h
FEh	034Dh	D6h	04A7h	AEh	070Ah
FDh	0354h	D5h	04B2h	ADh	071Fh
FCh	035Bh	D4h	04BEh	ACH	0734h
FBh	0362h	D3h	04C9h	ABh	074Ah
FAh	0369h	D2h	04D5h	AAh	0760h
F9h	0370h	D1h	04E1h	A9h	0776h
F8h	0377h	D0h	04EDh	A8h	078Dh
F7h	037Eh	CFh	04F9h	A7h	07A4h
F6h	0385h	CEh	0505h	A6h	07BCh
F5h	038Dh	CDh	0512h	A5h	07D4h
F4h	0394h	CCh	051Fh	A4h	07ECh
F3h	039Ch	CBh	052Ch	A3h	0805h
F2h	03A3h	CAh	0539h	A2h	081Fh
F1h	03ABh	C9h	0546h	A1h	0839h
F0h	03B3h	C8h	0554h	A0h	0853h
EFh	03BBh	C7h	0561h	9Fh	086Fh
EEh	03C3h	C6h	056Fh	9Eh	0889h
EDh	03CBh	C5h	057Eh	9Dh	08A5h
ECh	03D3h	C4h	058Ch	9Ch	08C2h
EBh	03DCh	C3h	059Bh	9Bh	08DFh
EAh	03E4h	C2h	05A9h	9Ah	08FCh
E9h	03EDh	C1h	05B8h	99h	091Bh
E8h	03F5h	C0h	05C8h	98h	0939h
E7h	03FEh	BFh	05D7h	97h	0959h
E6h	0407h	BEh	05E7h	96h	0979h
E5h	0410h	BDh	05F7h	95h	0999h
E4h	0419h	BCh	0607h	94h	09BBh
E3h	0423h	BBh	0618h	93h	09DDh
E2h	042Ch	BAh	0629h	92h	0A00h
E1h	0435h	B9h	063Ah	91h	0A23h
E0h	043Fh	B8h	064Bh	90h	0A41h
DFh	0449h	B7h	065Dh	8Fh	0A6Ch
DEh	0453h	B6h	066Fh	8Eh	0A92h
DDh	045Dh	B5h	0681h	8Dh	0AB8h
DCh	0467h	B4h	0694h	8Ch	0AE0h
DBh	0471h	B3h	06A7h	8Bh	0B08h
DAh	047Ch	B2h	06BAh	8Ah	0B31h
D9h	0486h	B1h	06CDh	89h	0B5Bh
D8h	0491h	B0h	06E1h	88h	0B86h

### 4.3.3 Determinação dos valores das tensões $v_K$ , $v_L$ e $v_M$

Após a obtenção dos valores de  $v_A$ ,  $v_B$ ,  $v_C$  e  $v_0$ , determinam-se as tensões  $v_K$ ,  $v_L$  e  $v_M$ . Primeiro acha-se a tensão de entrada com polaridade oposta às outras,  $v_M$ , através da comparação dos valores das polaridades das tensões. Em seguida, pela comparação entre os valores do módulo das tensões restantes determinam-se  $v_K$  e  $v_L$ . Sendo a de menor valor absoluto designada como  $v_K$  e a outra como  $v_L$ . Finalmente, o valor do sinal de  $v_M$  é comparado com o valor do sinal de  $v_0$ . Nas figura 4.6 e 4.7 estão mostrados o fluxograma completo para a determinação das tensões.

Dependendo dos valores das polaridades de  $v_M$  e  $v_0$ , o programa irá para uma rotina de diferença (*calcmenos*) ou para outra de soma (*calcmais*) dos valores absolutos das duas tensões - figuras 4.8 e 4.9. Estas rotinas calculam os tempos de acionamento dos interruptores.

Nota-se, pela tabela 4.4, que o resultado de  $(v_o - v_M)v_X$ , onde  $v_X$  pode ser  $v_K$  ou  $v_L$  é sempre positivo, quaisquer que sejam os valores das polaridades das tensões.

**Tabela 4. 4** Cálculo de  $(v_o - v_M)v_K$  e  $(v_o - v_M)v_L$  para valores aleatórios (em volts) de  $v_K$ ,  $v_L$ ,  $v_M$  e  $v_0$ .

	$v_K = -3$	$v_K = 3$	$v_K = -3$	...	$v_K = 2,7$	
	$v_L = -2$	$v_L = 2$	$v_L = -1$	...	$v_L = 1,8$	
	$v_M = 5$	$v_M = -5$	$v_M = 4$	...	$v_M = -4,5$	
$(v_o - v_M)v_K =$	+9	+21	+9	...	+17,55	$v_o = 2$
$(v_o - v_M)v_K =$	+21	+9	+21	...	+6,75	$v_o = -2$
$(v_o - v_M)v_L =$	+6	+14	+2	...	+11,7	$v_o = 2$
$(v_o - v_M)v_L =$	+14	+6	+6	...	+4,5	$v_o = -2$

Com isso, podemos dividir a soma algébrica  $(v_o - v_M)$  em duas situações, evitando trabalharmos com números negativos:

a) se  $v_o$  e  $v_M$  possuem a mesma polaridade, então  $(|v_M| - |v_o|)|v_X|$  é positivo. Pela definição do AE,  $v_M$  corresponde no mínimo à 86,7% da tensão de pico de entrada. Utilizando-se a proposição de Maytum e Colman (ou Venturini e Alesina), a

maior tensão de saída possível é de 86,7% da tensão de pico de entrada. Portanto  $v_M$  é sempre maior ou igual a  $v_o$  tornando a expressão anterior sempre positiva;

b) se  $v_o$  e  $v_M$  possuem polaridades diferentes, então  $(|v_M| + |v_o|).|v_x|$  é positivo.

Estas duas condições dão origem as rotinas *calcmenos* e *calcmais*. Elas permitem ao programa manipular apenas números não sinalizados. As rotinas *contn* das figura 4.6 e 4.7 são as responsáveis pela geração dos sinais de acionamento dos interruptores.

#### 4.3.4 Cálculo dos tempos de acionamento dos interruptores ( $t_K$ , $t_L$ e $t_M$ )

Depois da determinação das tensões  $v_K$ ,  $v_L$  e  $v_M$ , efetua-se o cálculo dos tempos de acionamento dos interruptores ( $t_K$ ,  $t_L$  e  $t_M$ ). Estes tempos são calculados através da implementação das equações (20), (21) e (22).

Para esta implementação utilizam-se as rotinas *calcmais* e *calcmenos*, cujos fluxogramas estão nas figuras 4.8 e 4.9. Nestes fluxogramas o valor da constante multiplicativa é considerado como 348h, ou seja, o valor de pico das tensões de entrada é de 5 V. Na rotina *calcmenos* o fluxo do programa segue direto, pois não há ocorrência de empréstimo (*carry*) nas operações de subtração, já que  $v_M$  é sempre maior ou igual a  $v_o$ .

Sobre a rotina *calcmais* devem ser feitas considerações, devido a ocorrência ou não de vai um (*carry*) durante as operações de soma, seja para o cálculo de  $t_L$  como para o cálculo de  $t_K$ .



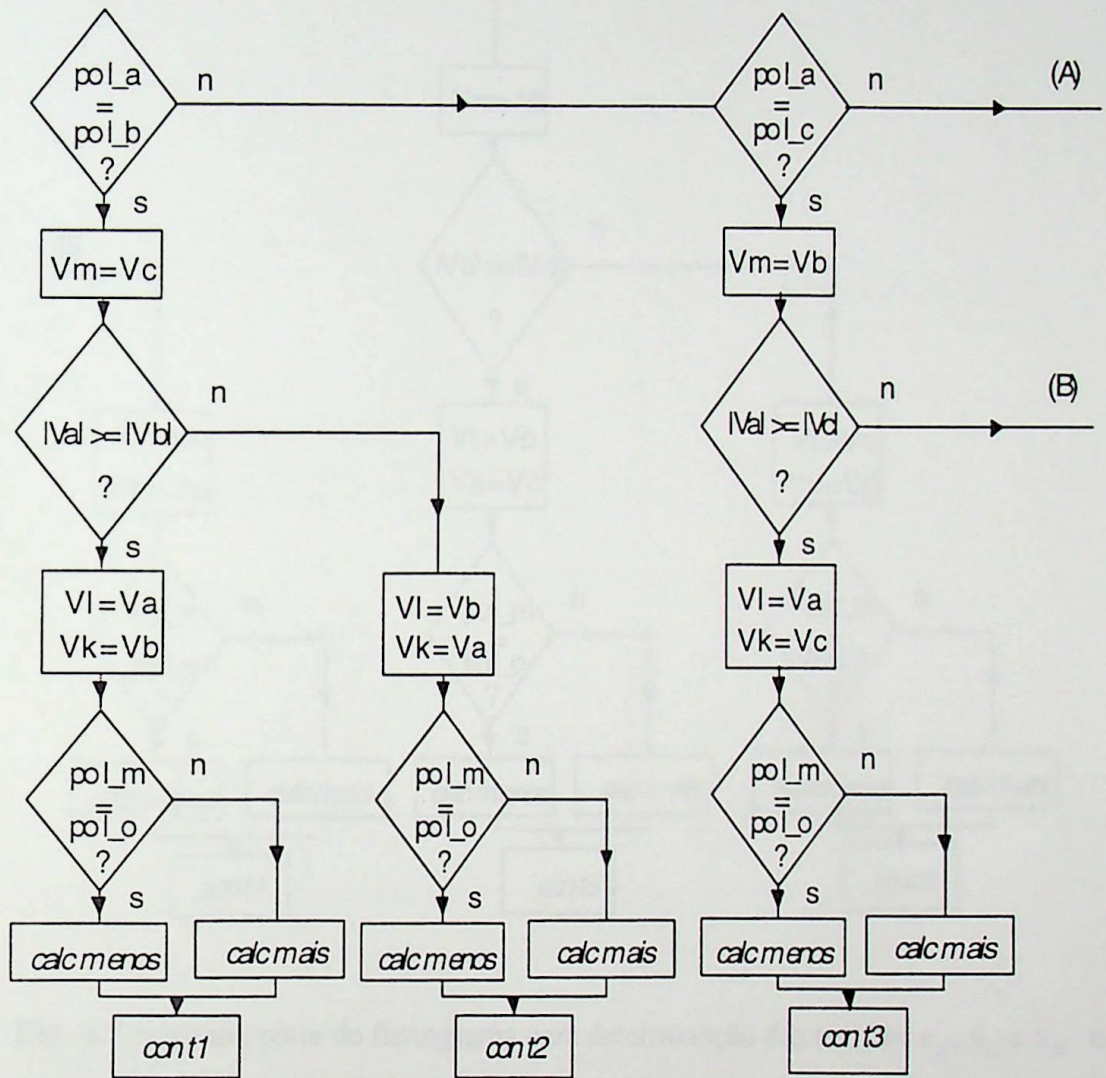
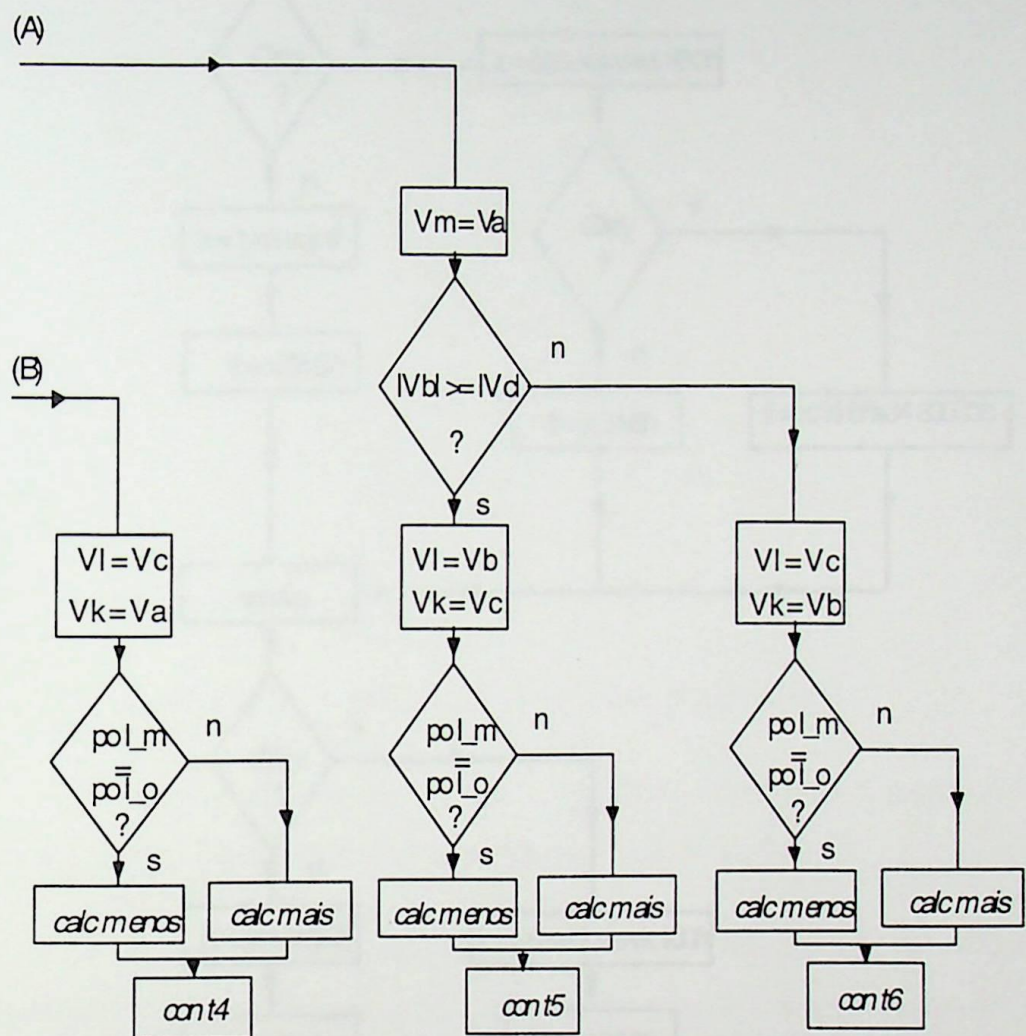
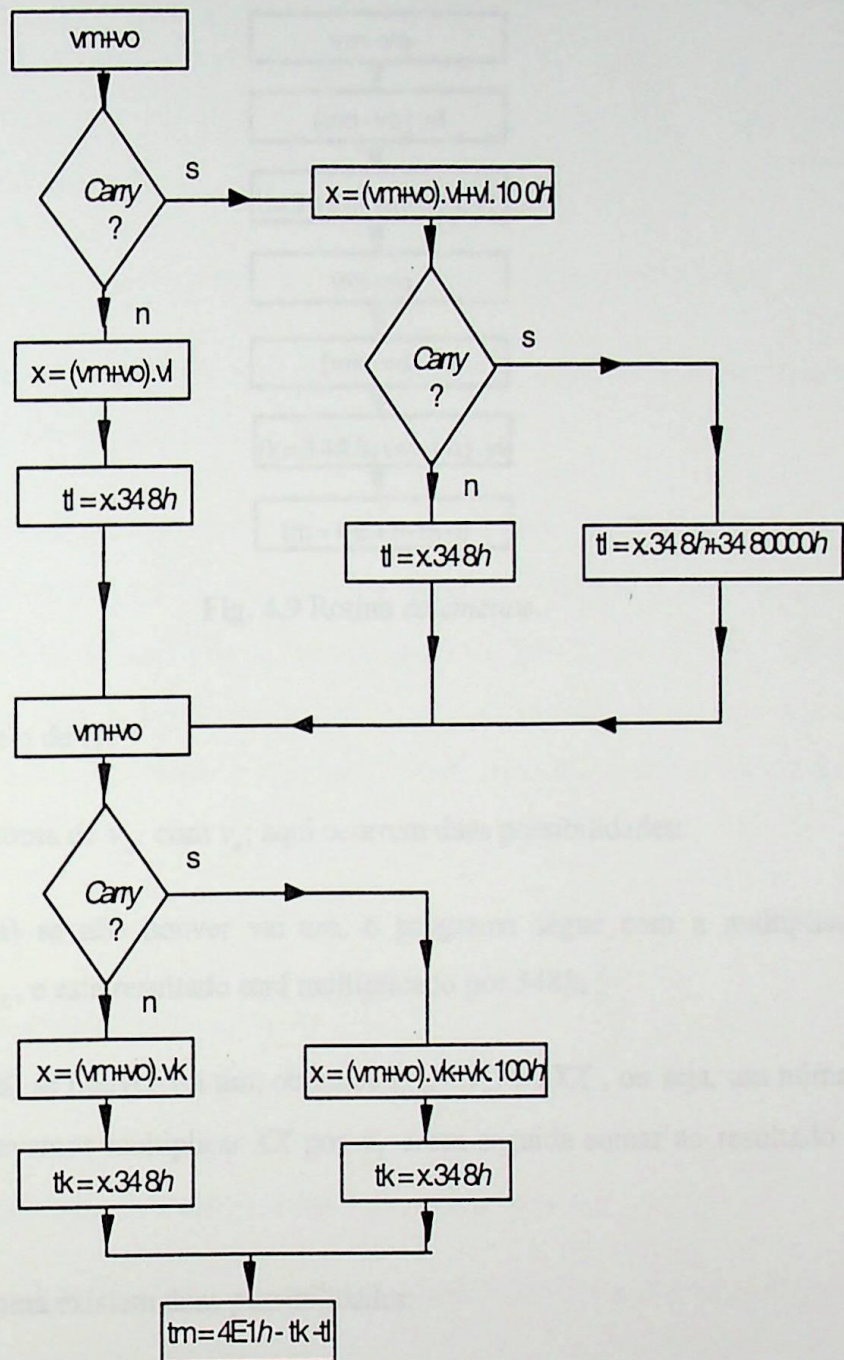
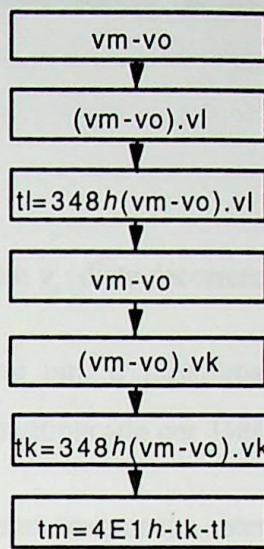


Fig. 4. 6 Primeira parte do fluxograma para determinação das tensões  $v_K$ ,  $v_L$  e  $v_M$  e seleção das rotinas *continua*.



**Fig. 4.7** Segunda parte do fluxograma para determinação das tensões  $v_k$ ,  $v_L$  e  $v_M$  e seleção das rotinas *contn*.

Fig. 4.8 Rotina *calcmais*.



**Fig. 4.9 Rotina *calcmenos*.**

1) Cálculo de  $t_L$ .

Faz-se soma de  $v_M$  com  $v_o$ ; aqui ocorrem duas possibilidades:

- a) se não houver vai um, o programa segue com a multiplicação de  $(v_M + v_o)$  por  $v_L$ , e este resultado será multiplicado por  $348h$ ;
- b) se houver vai um, obtemos  $(v_M + v_o) = 1XX$ , ou seja, um número com 9 bits; então devemos multiplicar  $XX$  por  $v_L$  e em seguida somar ao resultado o valor  $v_L \cdot 100h$ .

Nesta soma existem duas possibilidades:

- b.1) se não houver vai um, o programa prossegue com a multiplicação do resultado por  $348h$ ;
- b.2) havendo vai um, ou seja, resultando num número de 17 bits, devemos multiplicar o resultado da soma por  $348h$ , e a seguir adicionar a este produto o valor  $348000h$ . Ressalta-se o fato de que os coprocessadores manipulam instruções matemáticas de 8 bits. Logo a multiplicação por  $348h$ , sendo em realidade uma operação de dois valores, cada um composto por dois bytes, é realizada através de quatro multiplicações byte a byte. E como explicado anteriormente, os dois bytes menos

significativos deste produto são desprezados (somente a parte inteira do resultado é considerada).

## 2) Cálculo de $t_K$ .

Efetua-se a soma de  $v_M$  com  $v_o$ ; disto decorrem duas possibilidades:

- a) não havendo vai um, o programa segue com a multiplicação de  $(v_M + v_o)$  por  $v_K$  e este resultado multiplicado por  $348h$ ;
- b) ocorrendo vai um, novamente obtemos  $(v_M + v_o) = 1XX$ , e também devemos multiplicar  $XX$  por  $v_K$  e em seguida somar ao resultado o valor  $v_K \cdot 100h$ . Mas, em consequência da definição de  $v_K$  mostrada no capítulo 2, o seu valor máximo é de 50% do valor de pico da tensão de entrada. Logo no resultado da soma nunca ocorrerá vai um. Assim basta multiplicar o resultado obtido por  $348h$  e desprezar os dois bytes menos significativos.

## 3) Cálculo de $t_M$ .

É realizado através da expressão:

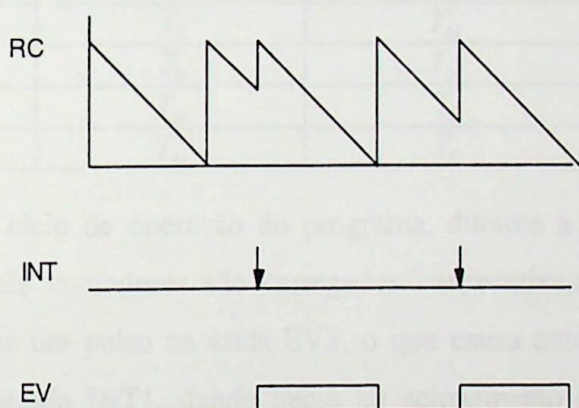
$$t_M = 4E1h - t_L - t_K$$

### 4.3.5 Geração dos sinais de acionamento dos interruptores

Após o cálculo dos tempos  $t_K$ ,  $t_L$  e  $t_M$ , eles serão utilizados para a geração dos sinais de acionamento dos interruptores.

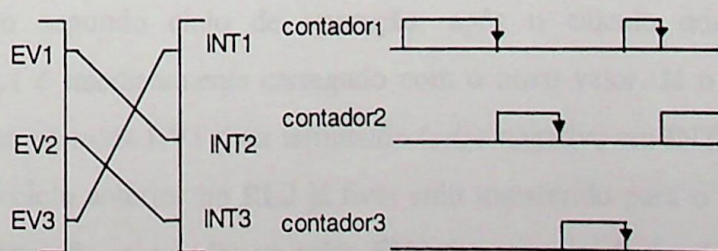
Neste trabalho, cada coprocessador utilizado é responsável pelo acionamento dos três interruptores compondo um ramo de saída. Nestes, esta operação é realizada através de três contadores de 16 bits. Cada contador, onde são carregados os tempos  $t_K$  ou  $t_L$  ou  $t_M$ , possui uma saída conectada a um interruptor. Eles operam no modo chamado "geração de pulso monoestável". Dos coprocessadores são utilizados, como saída, os pinos  $EVn$  e, como entrada, os pinos  $INTn$  (onde  $n$  pode assumir os valores 1,2 ou 3, representando cada um dos contadores).

Cada contador possui dois registros, o registro de *latch* ( $RL_n$ ) e o do contador ( $RC_n$ ) (onde  $n$  também representa cada um dos contadores). No modo de operação usado, a partir do momento em que é habilitada a contagem, o valor carregado no  $RL_n$  é transferido para o  $RC_n$ . Este, então, sofre decremento até a mudança de  $0000h$  para  $FFFFh$ , gerando um sinal interno de estouro de faixa (*overflow*). Neste ponto o valor no  $RL_n$  é novamente transferido para o  $RC_n$ , continuando o decremento, e assim sucessivamente. O conteúdo do  $RL_n$  permanece inalterado até o carregamento de um novo valor. Mas, se na entrada  $INT_n$  do respectivo contador houver uma transição de um para zero (*edge* negativo), o valor do  $RL_n$  é imediatamente transferido para o  $RC_n$ , e, até a ocorrência do sinal de estouro de faixa, será gerado um pulso na respectiva saída  $EV_n$  (figura 4.10). Este pulso tem a duração definida pelo tempos  $t_K$  ou  $t_L$  ou  $t_M$ , enviados aos  $RL_n$ .



**Fig. 4.10** Modo de operação dos contadores "geração de pulso monoestável".

Para garantir o acionamento de apenas um interruptor por vez, a saída  $Evn$  de um contador é também ligada a entrada  $INT_n$  do próximo contador (figura 4.11). Isto faz com que o fim do pulso (*edge* negativo) de um interruptor acione o seguinte; os contadores são ligados em anel.



**Fig. 4.11** Ligação em anel dos contadores.

A ordem de disparo dos contadores dentro do período  $T_s$  é sempre a mesma, contador\_1 → contador\_2 → contador\_3. O que varia é a ordem dos tempos  $t_K$ ,  $t_L$  e  $t_M$  dentro do período, pois em determinado momento o contador\_1 é carregado com  $t_K$ , em outro com  $t_L$  e em um outro com  $t_M$ . O mesmo ocorre com os contadores 2 e 3. Por isso são usadas seis rotinas (*contn*) de acordo com a tabela 4.5, para fazer o carregamento dos contadores. Cada rotina é selecionada de acordo com o tempo ( $t_K$  ou  $t_L$  ou  $t_M$ ) que deverá ser carregado nos contadores.

**Tabela 4.5** Seleção das rotinas para carregamento dos contadores com os tempos de acionamento dos interruptores.

.	contador_1	contador_2	contador_3
<i>cont1</i>	$T_L$	$T_K$	$T_M$
<i>cont2</i>	$T_K$	$T_L$	$T_M$
<i>cont3</i>	$T_L$	$T_M$	$T_K$
<i>cont4</i>	$T_K$	$T_M$	$T_L$
<i>cont5</i>	$T_M$	$T_L$	$T_K$
<i>cont6</i>	$T_M$	$T_K$	$T_L$

No primeiro ciclo de operação do programa, durante a execução de uma das rotinas *contn*, os três contadores são carregados consecutivamente e em seguida é gerado por programa um pulso na saída EV3, o que causa uma transição de positivo para negativo na entrada INT1, dando início ao acionamento dos interruptores pelo disparo do interruptor ligado ao contador\_1. A seguir o ciclo de operação é reiniciado com a execução da etapa de obtenção dos valores da tensão de saída desejada  $v_o$  e das tensões de entrada  $v_A$ ,  $v_B$  e  $v_C$ . Como o fluxo do programa pode seguir por caminhos diferentes, sendo uns mais curtos do que outros, neste primeiro ciclo um dos contadores é utilizado como cronômetro, com a finalidade de garantir o início simultâneo do disparo dos interruptores dos três ramos de saída

A partir do segundo ciclo de operação, após o cálculo dos tempos de acionamento, o RL1 é imediatamente carregado com o novo valor. Já o RL2 só será carregado se o pulso na saída EV1 tiver terminado (*edge* negativo em INT2), ou seja, o valor carregado no ciclo anterior no RL2 já tiver sido transferido para o RC2. O RL3 também só será carregado se o pulso na saída EV2 tiver terminado (*edge* negativo em

INT3). O término do pulso em EV3 sinaliza o fim do ciclo de operação (completou-se os 500  $\mu$ s).

No início de cada ciclo de operação é informado ao programa se desejarmos continuar ou parar a conversão. Uma entrada digital lê esta informação.

Observamos que a geração dos sinais de acionamento pelos coprocessadores ocorre simultaneamente a execução das seguintes tarefas: aquisição das tensões  $v_o$ ,  $v_A$ ,  $v_B$  e  $v_C$ , determinação das tensões  $v_K$ ,  $v_L$  e  $v_M$ , cálculo dos tempos  $t_K$ ,  $t_L$  e  $t_M$  e carregamento dos contadores; portanto ocorre paralelismo nestes procedimentos..

Na execução desta estratégia é necessário que os contadores 1, 2 e 3 estejam conectados em anel, de modo que o sinal proveniente do primeiro dispare o segundo; este por sua vez dispare o terceiro e este último recomece o ciclo, fazendo rediscparar o primeiro contador e o programa de controle. A estratégia adotada permitiu implantar o método de controle, isto é o AE, sem recorrer à nenhum meio de sincronismo entre a evolução no tempo deste último e dos sinais presentes na entrada. Além disso, ela possibilitou também uma operação em tempo real, na medida em que o procedimento para o cálculo dos tempos de acionamento para o presente intervalo ( $n$ ) $T_s$  leva em conta as mudanças efetuadas sobre as referências de entrada e de saída durante o intervalo precedente ( $n-1$ ) $T_s$ .

#### **4.4 Controle dos parâmetros do sistema (freqüência e amplitude das tensões de saída)**

Para a realização do controle dos parâmetros do sistema foram utilizadas rotinas escritas em linguagem *Forth*.

##### **A) Freqüência**

Como visto anteriormente, entre um valor e outro da tabela usada para obtenção do valor do módulo de  $v_o$ , existe uma diferença de 0,352º. E como a amostragem ocorre a cada 500  $\mu$ s, obtemos:

$$\begin{array}{ccc} 360^0 & \text{-----} & T \\ x & \text{-----} & 0,5 \text{ ms} \end{array}$$

indicando a cada quantos graus uma senóide de período T será amostrada. Por exemplo, considerando-se uma senóide de 60 Hz, o seu período T será de 16,67 ms. Assim:

$$\begin{array}{ccc} 360^0 & \text{-----} & 16,67 \text{ ms} \\ x & \text{-----} & 0,5 \text{ ms} \end{array} \Rightarrow x \approx 10,80^0$$

Por isso, a cada amostragem será lido um valor defasado do anterior  $10,80^0$ . Logo para sabermos qual o valor da variável *passo* (indicando o valor do passo de amostragem da tabela), devemos dividir o resultado por  $0,352^0$ .

$$passo = \frac{x}{0,352^0} \quad (23)$$

Ou isolando o valor de  $x$  na regra de três anterior, com o tempo sendo dado em segundos e  $f$  a freqüência da senóide:

$$x = \frac{360^0 \cdot 5 \cdot 10^{-4}}{T} = 360^0 \cdot 5 \cdot 10^{-4} \cdot f = 0,18 \cdot f \quad (24)$$

temos:

$$passo = \frac{0,18 \cdot f}{0,352} = 0,512 \cdot f \quad (25)$$

e aproximando-se o resultado:

$$passo \approx 0,5 \cdot f = \frac{f}{2} \quad (26)$$

No nosso exemplo temos que:

$$passo = 0,5 \cdot 60 = 30$$

ou seja, a tabela deverá ser amostrada a cada 30 posições.

Logo, para obtermos o valor do *passo*, basta fornecermos o valor da freqüência da tensão de saída desejada, e então a dividirmos por 2.

## B) Amplitude

Para obtermos na saída uma tensão com uma amplitude (ganho de tensão) definida pelo usuário, devemos multiplicar o valor lido da tabela para geração de  $v_o$  por

um fator redutor. Sendo 5 voltas, correspondendo a FFh, a maior tensão representada pela tabela, temos que o fator redutor  $y$  é igual a:

$$y = \frac{a}{5} \quad (27)$$

onde  $a$  representa a amplitude máxima desejada na saída. Por exemplo, se desejarmos uma amplitude máxima de 2 volts, o fator redutor será de:

$$y = \frac{2}{5} = 0,4$$

e todos os valores lidos da tabela deverão ser multiplicados por 0,4.

Colocando os valores em porcentagem, ficamos com:

$$y = \frac{a}{100} \quad (28)$$

e  $a$  neste caso sempre sendo dada em porcentagem em relação à 5 V.

### C) Implementação do controle da freqüência e da amplitude

Os valores de referência dos parâmetros são obtidos através do teclado do PC. A freqüência é fornecida em Hertz e a amplitude em porcentagem em relação à amplitude máxima da tensão de entrada. Todas as operações são executadas por instruções *Forth*.

O valor da freqüência é transmitido ao controlador, onde ocorre a divisão por dois e então o resultado é enviado, através da instrução `>cp`, aos coprocessadores.

Com relação a amplitude, devido ao fato dos coprocesadores trabalharem apenas com valores inteiros, para contornarmos os valores fracionários resultantes no cálculo de  $y$ , a equação (28) é rescrita da seguinte forma:

$$y = \left( \frac{a}{100} \cdot 256 \right) \cdot \frac{1}{256} \quad (29)$$

A parte entre parênteses da equação é realizada pelo compilador *Forth* e a divisão por 256 pelo programa em *Assembly*, executado pelos coprocessadores.

O valor  $a$  é transmitido ao controlador, onde ocorre a divisão por 100, sendo o resultado multiplicado por 256. Os cálculos até aqui são feitos considerando os números

em notação ponto flutuante. Antes de ser enviado aos coprocessadores através da instrução  $>cp'$ , o valor de  $y$  é convertido para notação inteira de 8 bits.

Nos coprocessadores, o valor enviado de  $y$  é armazenado numa variável. Toda vez que um novo valor é obtido da tabela, este é multiplicado por  $y$ , gerando um número de 16 bits, e a seguir dividido por 256, ou seja, é desprezado o byte menos significativo do produto. Isto gera o valor desejado da amplitude.

Deve ser ressaltado que foi escolhido o número 256 na equação (27) apenas por facilidade de cálculo. Ao se dividir  $a$  por 100 obtemos um número fracionário menor do que 1. Multiplicando o resultado por 256 tem-se como resultado um número fracionário maior do que 1. Deste número é desprezada a parte fracionária e enviada aos coprocessadores a parte inteira. Mas para compensar a multiplicação por 256, nos coprocessadores deve ser feita a divisão por 256, que simplesmente é realizada desprezando-se os byte menos significativos da multiplicação de  $y$  pelo valor lido da tabela.

Para o usuário todas estas operações são reunidas pelos seguintes comandos mostrados na tabela 4.6.

**Tabela 4.6** Comandos para mudança das referências de freqüência e/ou amplitude das tensões de entrada.

Comando	Função
<i>ffreq</i>	muda a freqüência das tensões de saída para a freqüência $f$ (em Hz)
<i>a ampl</i>	muda a amplitude máxima das tensões de saída para a amplitude $a$ (em porcentagem em relação a 5 V)
<i>a f seno</i>	muda tanto a freqüência quanto a amplitude

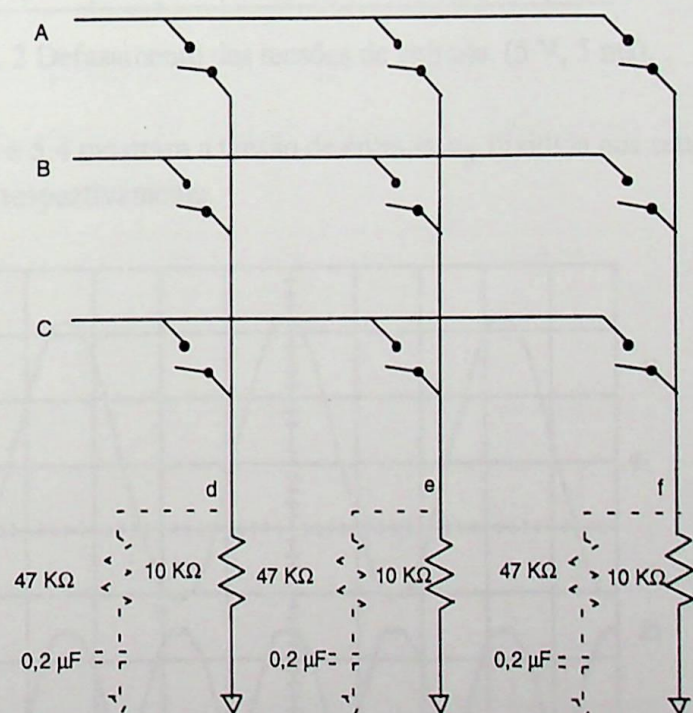


## CAPÍTULO 5

### RESULTADOS EXPERIMENTAIS

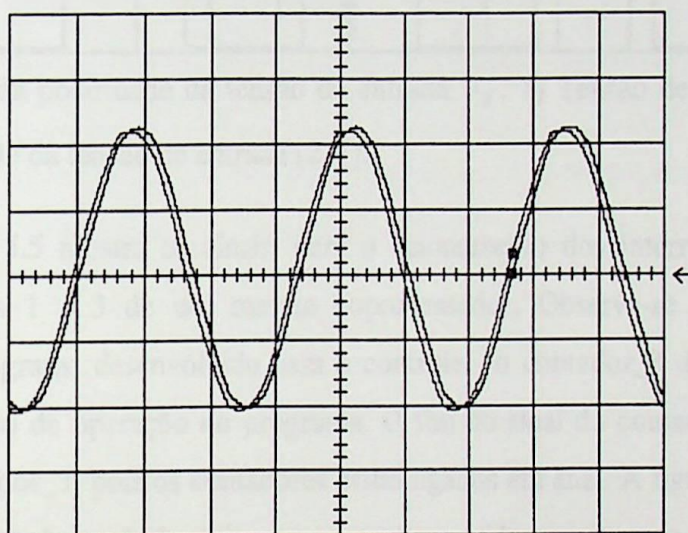
Neste capítulo são mostrados os resultados experimentais gerados com a utilização do sistema de controle proposto, visando a obtenção do controle, em tempo real, dos conversores diretos de freqüência.

Os resultados apresentados foram conseguidos com a utilização de um conversor direto de freqüência reduzido, composto por nove chaves analógicas-digitais (HS-201). Os interruptores trabalham com uma freqüência de comutação de 2000 Hz, correspondendo a um  $T_s$  de 500  $\mu$ s. A freqüência das tensões de entrada é aquela da rede, ou seja, 60 Hz. O conversor alimentava uma carga resistiva trifásica em torno de 10 k $\Omega$ . Em cada ramo de saída do conversor, em paralelo à carga, foram usados filtros passa-baixas para se conseguir a visualização do aspecto das tensões (figura 5.1).



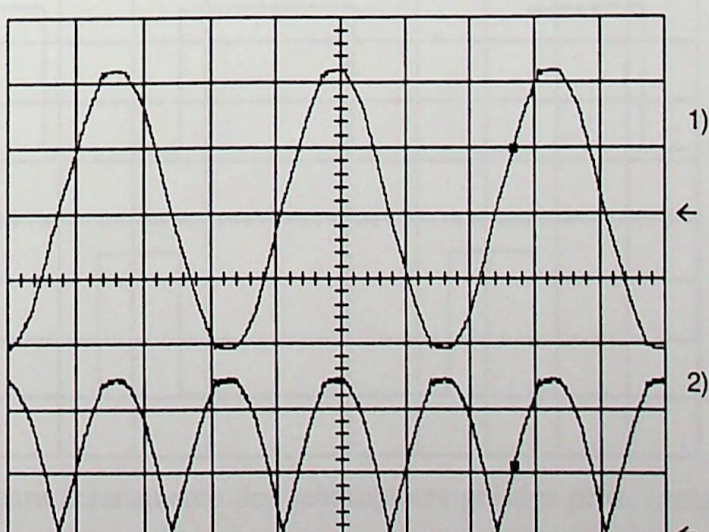
**Fig. 5. 1** Carga utilizada para o conversor.

A figura 5.2 apresenta as formas de onda na entrada e na saída de um dos circuitos de defasamento das tensões de entrada, cujo valor é utilizado pelos coprocessadores. Verifica-se que a tensão na saída está adiantada em torno de 10 graus elétricos em relação a tensão na entrada. Como o ciclo de operação do programa é de 500 µs (10,8 graus elétricos), entre a leitura das tensões de entrada e o acionamento dos interruptores ocorre um atraso da ordem deste tempo. O defasamento visa corrigir este atraso.

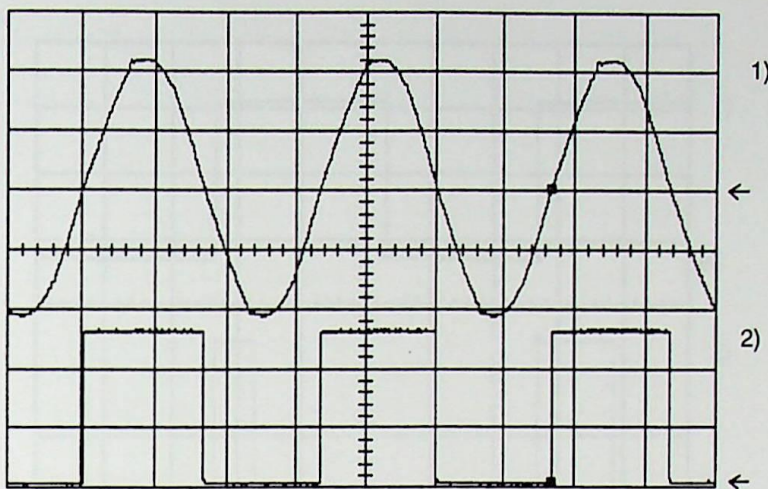


**Fig. 5.2** Defasamento das tensões de entrada. (5 V, 5 ms).

As figuras 5.3 e 5.4 mostram a tensão de entrada  $v_B$  dividida nos seus valores de módulo e polaridade, respectivamente.

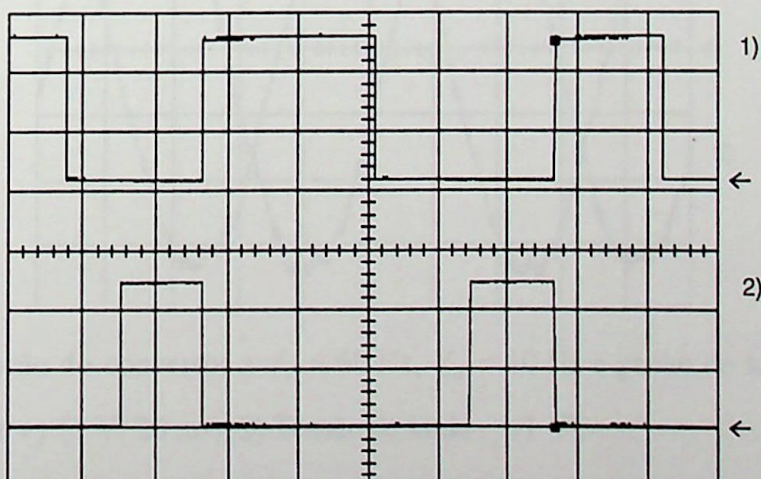


**Fig. 5.3** Valor do módulo da tensão de entrada  $v_B$ . 1) Tensão de entrada (5 V, 5 ms).  
2) Tensão de entrada retificada (2 V).

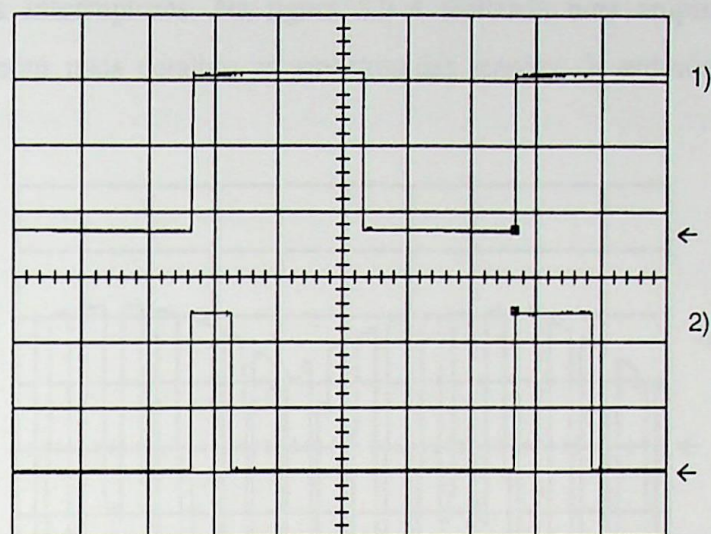


**Fig. 5. 4** Valor da polaridade da tensão de entrada  $v_B$ . 1) Tensão de entrada (5 V, 5 ms). 2) Polaridade da tensão de entrada (2 V).

A figura 5.5 mostra os sinais, para o acionamento dos interruptores, gerados pelos contadores 1 e 3 de um mesmo coprocessador. Observa-se que, segundo a descrição do programa desenvolvido para o controle, o contador\_3 do coprocessador reinicializa o ciclo de operação do programa. O fim do sinal do contador\_3 provoca o disparo do contador\_1, pois os contadores estão ligados em anel. A figura 5.6 apresenta os sinais dos contadores\_1 de dois coprocessadores. Nota-se que os coprocessadores começam simultaneamente um novo ciclo, indicado pelo inicio do sinal do contador\_1. Em ambas figuras, pelo início do sinal do contador\_1, comprova-se que o ciclo de operação do programa é de 500  $\mu$ s.

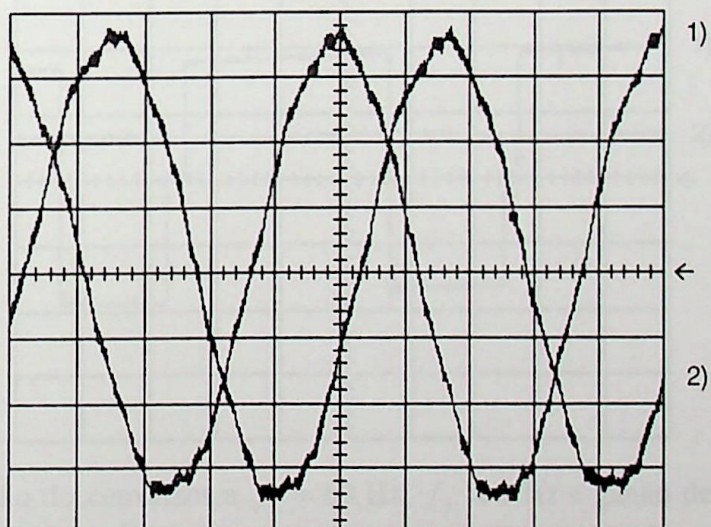


**Fig. 5. 5** Sinais para acionamento dos interruptores gerados pelos contadores 1 e 3 de um mesmo coprocessor. 1) Contador\_1 (2 V, 0,1 ms). 2) Contador\_3 (2 V).



**Fig. 5.6** Sinais para acionamento dos interruptores gerados pelos contadores 1 de dois coprocessadores. 1) Contador\_1 do coprocessador\_1 (2 V, 0,1 ms). 2) Contador\_1 do coprocessador\_2 (2 V).

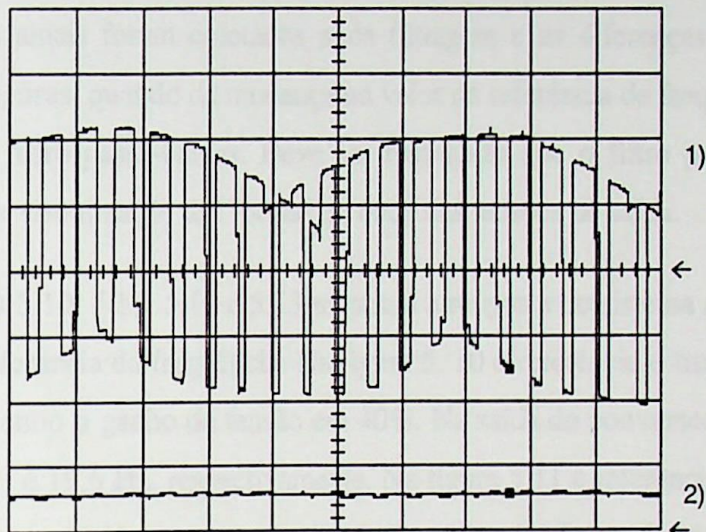
Na figura 5.7 são visualizadas as tensões filtradas em dois dos três ramos de saída, onde é gerado um sistema trifásico balanceado.



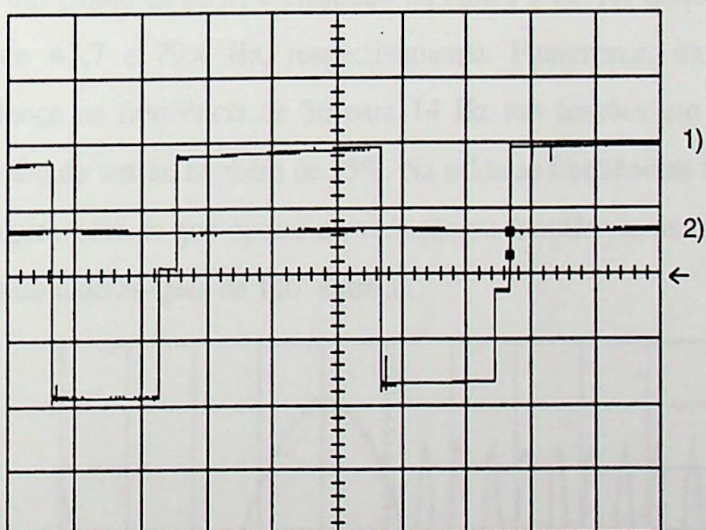
**Fig. 5.7** Operação do conversor a  $f_i = 60$  Hz,  $f_0 = 10$  Hz e ganho de tensão igual a 40%. 1) Tensão  $v_d$  (1 V, 20 ms). 2) Tensão de saída  $v_e$  (1 V).

Na figura 5.8 temos duas formas de onda, a tensão não filtrada e a filtrada de um ramo de saída, com  $f_0 = 0$  Hz e ganho de tensão igual a 30%. Observa-se no sinal não filtrado a forma correspondente as três tensões de entrada recortadas, quando do

acionamento dos interruptores. Na figura 5.9 é realizada uma ampliação da figura anterior. Vê-se com mais detalhes as amostras das tensões de entrada transferidas à carga.



**Fig. 5. 8** Operação do conversor a  $f_i = 60$  Hz,  $f_0 = 0$  Hz e ganho de tensão igual a 30%. 1) Tensão de saída não filtrada (5 V, 1 ms). 2) Tensão de saída filtrada (5 V).



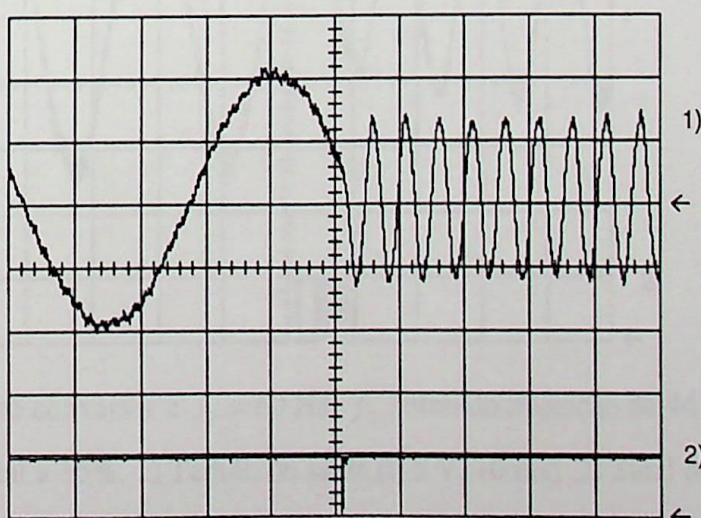
**Fig. 5. 9** Operação do conversor a  $f_i = 60$  Hz,  $f_0 = 0$  Hz e ganho de tensão igual a 30%. 1) Tensão de saída não filtrada (5 V, 0,1 ms). 2) Tensão de saída filtrada (5 V).

As figuras seguintes mostram a resposta do sistema em virtude de uma modificação no valor da referência da freqüência e/ou da amplitude das tensões de saída. Nestas figuras também é visualizado o sinal de referência para mudança de parâmetros, a linha de leitura/escrita (R/W) do mestre. Como mostrado no capítulo 3, os coprocessadores são vistos como endereços de memória para o mestre. Logo um valor

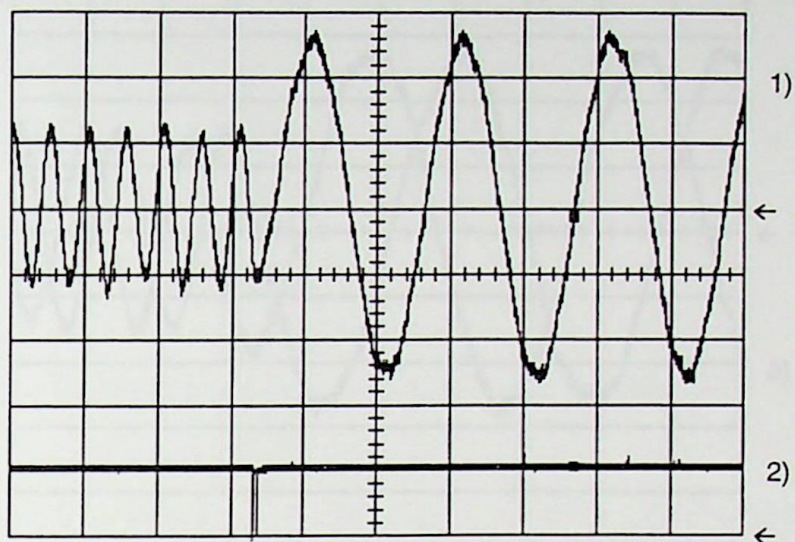
baixo (zero volts) na linha R/W indica escrita do mestre na interface de barramento dos coprocessadores, em outras palavras, a transferência de novos valores de referência. Isto determina o momento exato da solicitação de modificação das tensões de saída.

Todos os sinais foram coletados após filtragem e as diferenças de amplitudes observadas nas figuras, quando da mudança no valor da referência de freqüência, devem-se a atuação do filtro passa-baixas. Deve ser ressaltado que o filtro passa-baixas tem como finalidade a visualização das formas de onda das tensões de saída.

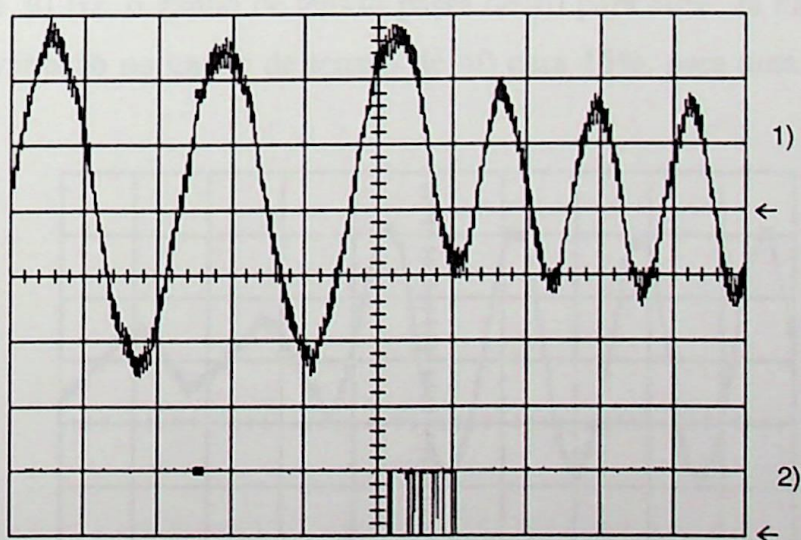
As figuras 5.10, 5.11, 5.12 e 5.13 mostram a resposta do sistema a uma mudança nos valores de referência da freqüência. Na figura 5.10 a referência é trocada de 2 para 20 Hz, permanecendo o ganho de tensão em 40%. Na saída do conversor foram obtidas freqüências de 1,9 e 19,6 Hz, respectivamente. Na figura 5.11 a referência de freqüência é mudada de 40 para 10 Hz, para um ganho de tensão de 30%, sendo obtidas, na saída, freqüências de 39,7 e 9,9 Hz, conforme as referências. Um aumento na freqüência de 44 para 80 Hz, para um ganho de 35%, é mostrado na figura 5.12. As freqüências medidas na saída foram de 43,7 e 79,4 Hz, respectivamente. Finalmente, na figura 5.13 é observada a mudança na freqüência de 36 para 14 Hz nas tensões em dois ramos de saída, para um ganho de tensão também de 35%. Na saída as freqüências foram de 35,6 e 13,7 Hz. Nesta figura nota-se que apesar da variação na freqüência, as tensões na saída continuam mantendo a defasagem de  $120^\circ$  entre si.



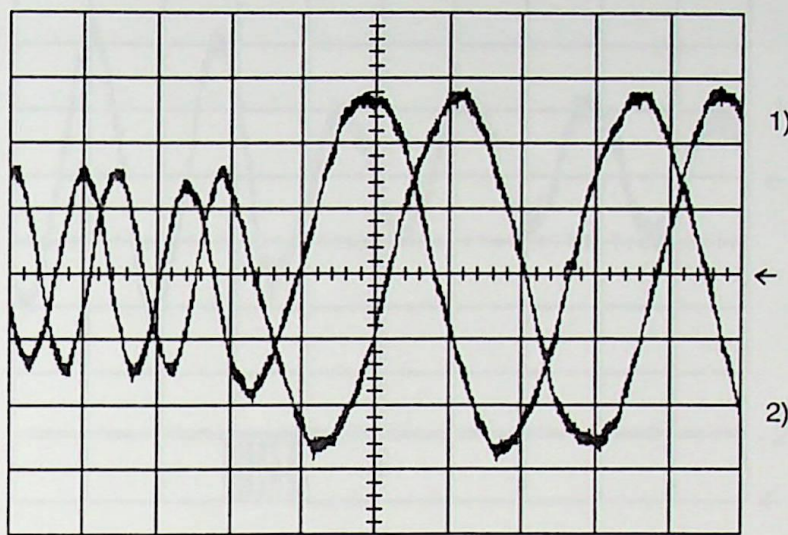
**Fig. 5. 10** Operação do conversor a  $f_i = 60$  Hz,  $f_0$  sofrendo transição de 2 para 20 Hz e ganho de tensão igual a 40%. 1) Tensão de saída (2 V, 0,1 s). 2) Sinal de referência para mudança de parâmetros, linha R/W (5 V).



**Fig. 5.11** Operação do conversor a  $f_i = 60$  Hz,  $f_0$  sofrendo transição de 40 para 10 Hz e ganho de tensão igual a 30%. 1) Tensão de saída (1 V, 50 ms). 2) Sinal de referência para mudança de parâmetros, linha R/W (5 V).

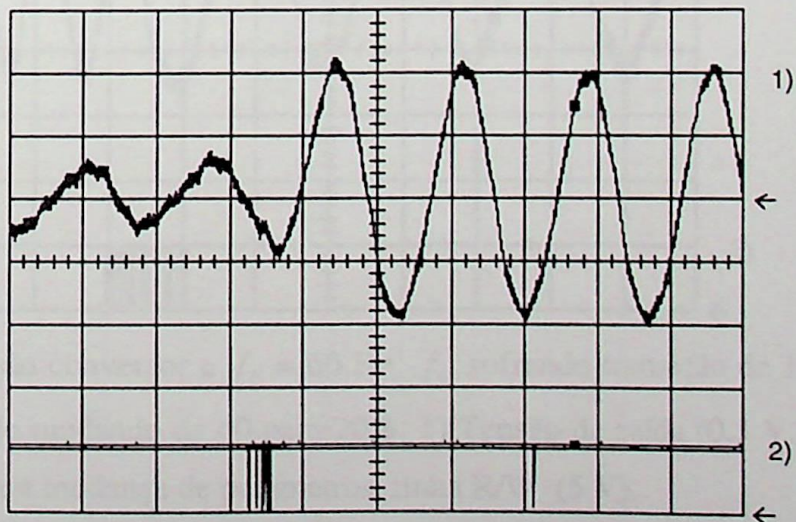


**Fig. 5.12** Operação do conversor a  $f_i = 60$  Hz,  $f_0$  sofrendo transição de 44 para 80 Hz e ganho de tensão igual a 35%. 1) Tensão de saída (0,5 V, 10 ms). 2) Sinal de referência para mudança de parâmetros, linha R/W (5 V).

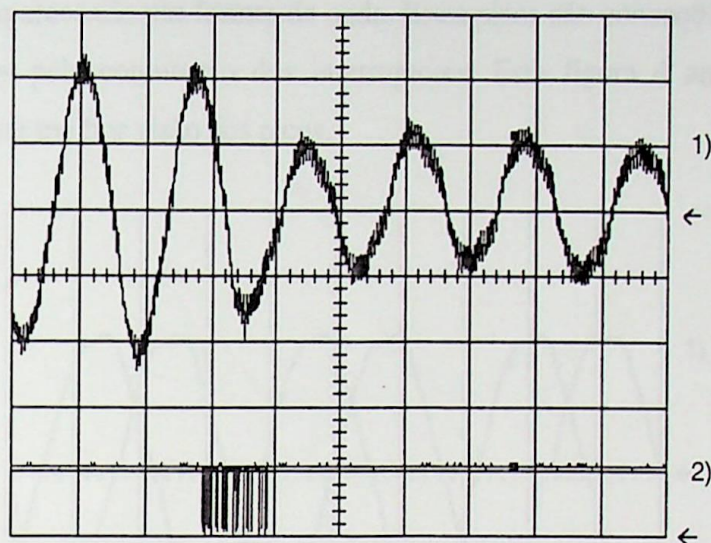


**Fig. 5. 13** Operação do conversor a  $f_i = 60$  Hz,  $f_0$  sofrendo transição de 36 para 14 Hz e ganho de tensão igual a 35%. 1) Tensão de saída  $v_d$  (1 V, 20 ms). 2) Tensão de saída  $v_e$  (1 V).

As figuras 5.14 e 5.15 apresentam a resposta do sistema a uma mudança nos valores de referência da amplitude (ou ganho de tensão). Na figura 5.14, para uma freqüência fixa de 30 Hz, o ganho de tensão passa de 10 para 40%. Já na figura 5.15 é visualizada uma variação no ganho de tensão de 40 para 15%, para uma freqüência de 60 Hz.

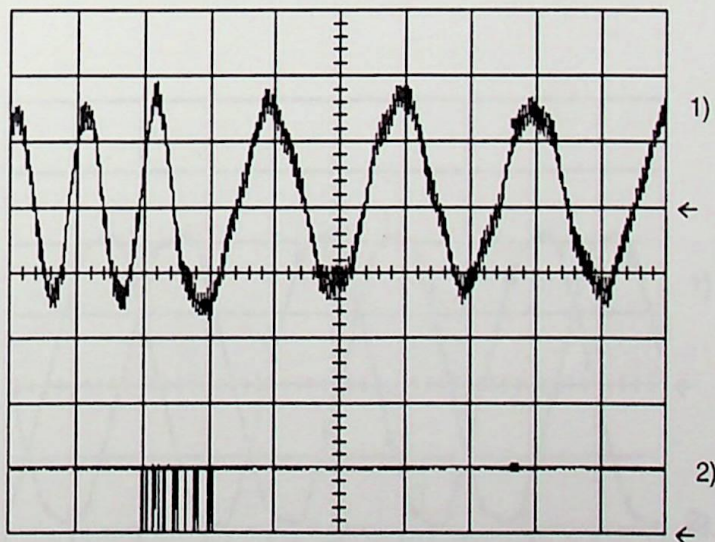


**Fig. 5. 14** Operação do conversor a  $f_i = 60$  Hz,  $f_0 = 30$  Hz e ganho de tensão sofrendo transição de 10 para 40%. 1) Tensão de saída (1 V, 20 ms). 2) Sinal de referência para mudança de parâmetros, linha R/W (5 V).



**Fig. 5. 15** Operação do conversor a  $f_i = 60 \text{ Hz}$ ,  $f_0 = 60 \text{ Hz}$  e ganho de tensão sofrendo transição de 40 para 15%. 1) Tensão de saída (0,5 V, 10 ms). 2) Sinal de referência para mudança de parâmetros, linha R/W (5 V).

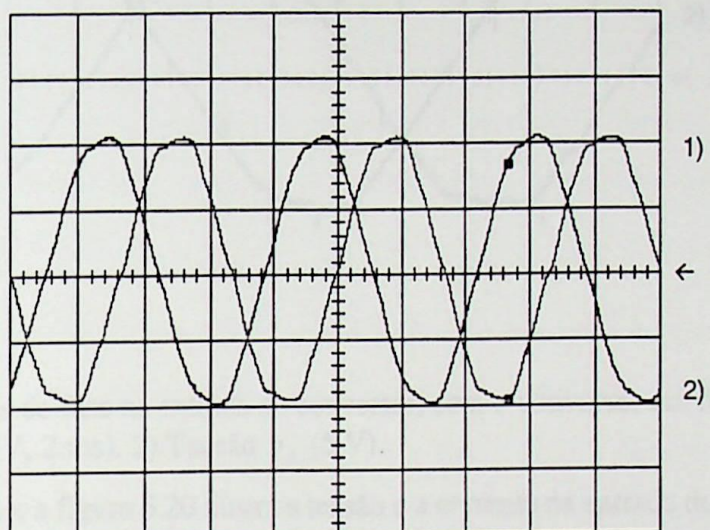
Por sua vez, a figura 5.16 mostra uma modificação simultânea dos parâmetros, tanto da freqüência, de 100 para 50 Hz, como do ganho de tensão, de 40 para 20%.



**Fig. 5. 16** Operação do conversor a  $f_i = 60 \text{ Hz}$ ,  $f_0$  sofrendo transição de 100 para 50 Hz e ganho de tensão mudando de 40 para 20%. 1) Tensão de saída (0,5 V, 10 ms). 2) Sinal de referência para mudança de parâmetros, linha R/W (5 V).

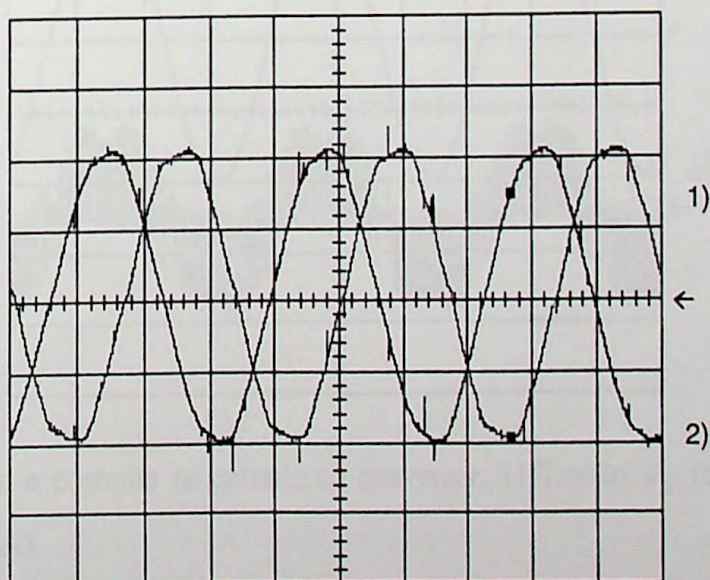
Na figura 5.17 são observadas duas das tensões de fase na entrada do conversor, com todos os interruptores abertos. Na figura 5.18 são apresentadas as mesmas duas tensões de entrada, mas com o conversor em funcionamento. Nesta figura notam-se

picos de tensão aparecendo nas formas de onda. Estes picos são consequência de curto-circuitos causados pela comutação dos interruptores. Esta figura é ampliada (figura 5.19), tendo-se uma melhor visão dos picos.

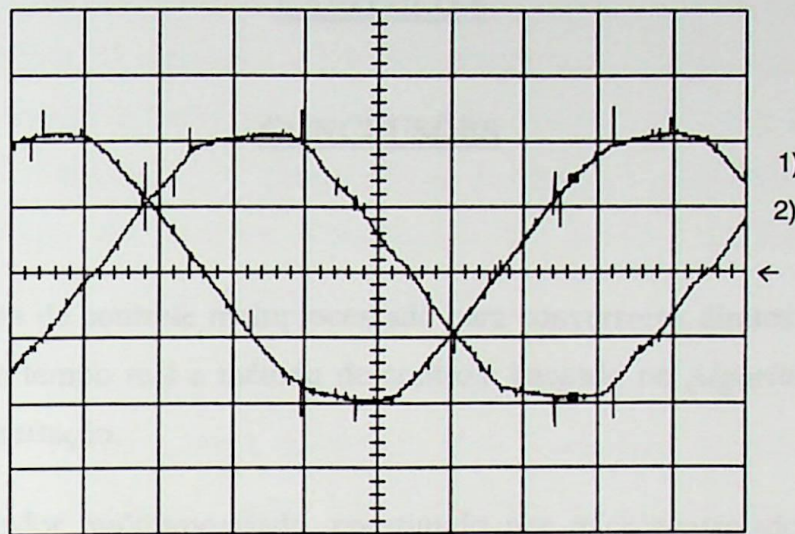


**Fig. 5.17** Tensões de fase na entrada do conversor, com todos os interruptores abertos.

1) Tensão  $v_A$  (5 V, 5 ms). 2) Tensão  $v_C$  (5 V).

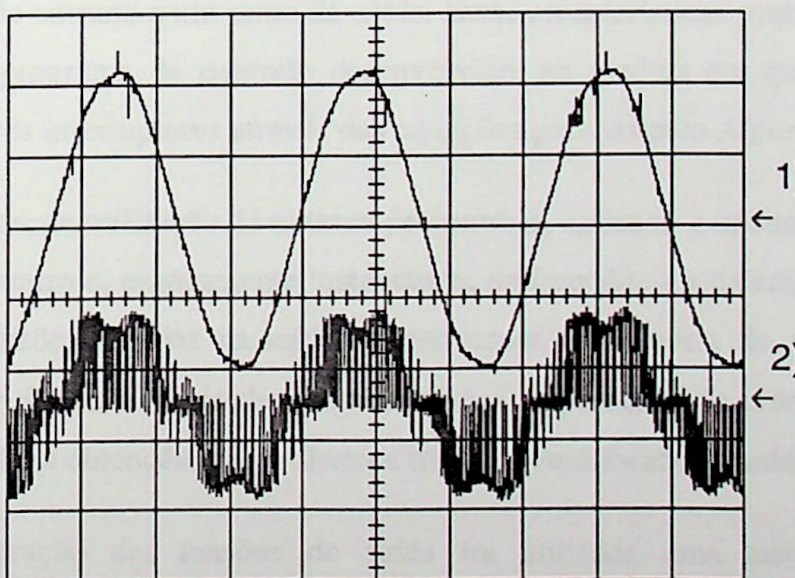


**Fig. 5.18** Tensões de fase na entrada do conversor, com o conversor em funcionamento.  
1) Tensão  $v_A$  (5 V, 5 ms). 2) Tensão  $v_C$  (5 V).



**Fig. 5. 19** Tensões de fase na entrada do conversor, com o conversor em funcionamento.  
1) Tensão  $v_C$  (5 V, 2 ms). 2) Tensão  $v_A$  (5 V).

Finalizando, a figura 5.20 ilustra a tensão e a corrente na entrada do conversor. Na forma de onda da corrente observa-se claramente a presença do quinto harmônico.



**Fig. 5. 10** Tensão e corrente na entrada do conversor. 1) Tensão  $v_A$  (5 V, 5 ms). 2) Corrente  $I_A$  (5 mA).

Pela observação das figuras anteriores nota-se a ampla faixa de variação de freqüência obtida, tanto para valores de referência abaixo como acima da freqüência de entrada. Mas, principalmente, comprova-se a obtenção do controle, praticamente instantâneo, da freqüência e da amplitude das tensões de saída.

## CAPÍTULO 6

### CONCLUSÕES

Um sistema de controle multiprocessado para conversores diretos de freqüência, com operação em tempo real e método de controle baseado no *Algoritmo Escalar* foi descrito nesta dissertação.

O controlador multiprocessado, constituído por microcontroladores de 8 bits, respondeu pelo controle do conversor. Os microcontroladores, através de subsistemas internos para funções periféricas genéricas, tais como ADCs, DACs e contadores, provocaram uma redução no *hardware* necessário à implantação do sistema proposto. A cada microcontrolador coube o controle do conjunto de três interruptores, conectando uma das tensões de entrada a um ramo de saída. Estas características possibilitaram uma simplificação no programa de controle desenvolvido, na medida em que o programa gerencia apenas três interruptores através das equações geradas pelo *Algoritmo Escalar*.

Verificamos, na utilização do sistema de controle, aplicado a um conversor direto de freqüência, o controle, praticamente instantâneo, da freqüência e da amplitude (ganho de tensão) das tensões geradas na saída do conversor. A resposta do sistema a uma mudança no valor das referências de freqüência e/ou amplitude é da ordem de 500 µs. Constatou-se, ainda, a obtenção de um sistema trifásico equilibrado na saída.

Para a geração das tensões de saída foi utilizada uma tabela de busca, possibilitando a obtenção de freqüências de saída entre 2 e 250 Hz. Esta tabela, sendo composta por valores de oito bits, resulta numa passo de freqüência de 2 Hz. Para se diminuir este passo, utiliza-se uma tabela com valores representados por um maior número de bits, resultando numa menor resolução. Por exemplo, para 16 bits, o passo será de 0,008 Hz. Porém, para a manipulação de valores de 16 bits, o ideal é o emprego de microcontroladores também de 16 bits, principalmente devido a realização de várias multiplicações.

O sistema de controle não requer, necessariamente, um sistema trifásico equilibrado na entrada do conversor. As tensões na entrada podem estar, por exemplo, defasadas de um ângulo diferente de 120 graus uma da outra, ou a freqüência pode ser diferente de 60 Hz. Manipulando apenas valores escalares, o *Algoritmo Escalar* toma conhecimento apenas dos valores instantâneos das tensões de entrada, não se preocupando com as posições relativas das mesmas.

O sistema desenvolvido considera um sistema trifásico equilibrado na entrada. Por isso o quarto coprocessador é empregado para a obtenção do valor de pico das tensões de entrada, utilizado pelo termo  $1,5V_i^2$  das equações para cálculo dos tempos de acionamento dos interruptores. Termo este válido apenas para sistemas equilibrados. Em sistemas desequilibrados, a solução é usar o termo geral  $v_A^2 + v_B^2 + v_C^2$ . Neste caso o quarto coprocessador realizaria a aquisição não do valor de pico, mas sim dos valores instantâneos das tensões de entrada e as subsequentes operações para cálculo do termo geral.

Atualmente os conversores indiretos de freqüência (compostos por um retificador mais um inversor) prevalecem sobre os conversores diretos. Os conversores diretos, possuem vantagens sobre os indiretos, tais como menor tamanho, não necessitarem de qualquer *link ca* ou *cc* e permitirem a regeneração da potência. Mas eles têm pouca utilização, principalmente devido a problemas relacionados à confecção, à sincronização e à proteção das chaves bidirecionais. Basicamente os conversores diretos atuais são todos protótipos. Porém o desenvolvimento de novos semicondutores, especialmente dos MCT's (MOS Controlled Thyristors), que são capazes de operarem como chaves bidirecionais, viabilizará a utilização dos conversores diretos em uma larga faixa de aplicações e a fabricação de modelos comerciais.

Sendo o primeiro trabalho desenvolvido na área de conversores diretos de freqüência na EFEI, como o objetivo da dissertação centrou-se no desenvolvimento do sistema de controle e devido a inexistência de um conversor de potência, empregaram-se chaves analógicas como interruptores.

Apesar do sistema de controle funcionar dentro do esperado, houve um problema na operação do conversor: a presença nas correntes de entrada do conversor de uma componente harmônica de 5<sup>a</sup> ordem (300 Hz) elevada. A causa desta distorção na corrente merece um estudo mais aprofundado.

Como sugestão para trabalhos futuros citamos uma análise mais completa do conteúdo harmônico gerado pelo conversor, a possibilidade de operá-lo com ganhos de tensão entre 50 e 87%, o seu funcionamento atuando sobre cargas indutivas e a construção de um conversor direto de freqüência de algumas centenas de watts.



## BIBLIOGRAFIA

- [1] Bose, B. K., Introduction to power electronics. In: Bose, B. K., Modern Power Electronics : Evolution, Technology, and Applications. New York: IEEE Press, 1992, pp. 3 - 39.
- [2] Gyugyi, L. e Pelly, B., Static Power Frequency Changers. New York: Wiley, 1976.
- [3] Venturini, M., A new sine wave in, sine wave out, conversion technique eliminates reactive elements. In: Proceedings Powercon 7, San Diego, 1980, pp. E3.1 - E3.15.
- [4] Venturini, M. e Alesina, A., The generalized transformer: a new bidirectional sinusoidal waveform sinusoidal frequency converter with continuously adjustable input power factor. In: PESC Conf. Rec., 1980, pp. 242 - 252.
- [5] Venturini, M. e Alesina, A., Solid state power conversion: a Fourier analysis approach to generalized transformer synthesis. IEEE Trans. on Circuits Syst., vol. CAS-28, no 4, pp.319 - 330, 1981.
- [6] Maytum, M. J. e Colman, D., The implementation and future potential of the Venturini Converter. In: Proceedings of Drives, Motors and Controls, 1983, pp. 108 - 117.
- [7] Ma, X., High-performance PWM frequency changers. IEEE Trans. on Ind. Appl., vol. 22, pp. 267 - 280, Mar./Apr. 1986.
- [8] Ziogas, P. D., Khan, S. I. e Rashid, M. H., Analysis and design of forced commutated cycloconverter structures with improved transfer characteristics. IEEE Trans. on Ind. Electron., vol. 33, pp. 271 - 280, Aug. 1986.

- [9] Venturini, M. e Alesina, A., Analysis and design of optimum-amplitude nine-switch direct ac-ac converters. IEEE Trans. on Power Electron., vol. 4, no 1, Jan. 1989.
- [10] Tenti, P., Malesani, L. e Rosseto, L., Optimum control of n-input k-output matrix converters. IEEE Trans. on Power Electron., vol. 7, no 7, pp. 707 - 713, Oct 1992.
- [11] Ooi, B. T., Dai, S. Z. E Wang, X., Solid-state series characteristics of practical step-up nine-switches matrix converter. IEE Proc.-B, vol. 140, no 2, pp. 139 - 146, Mar. 1993 .
- [12] Kazerani, M. e Ooi, B.-T., Feasibility of both vector control and displacement factor correction by voltage source type ac-ac matrix converter. IEEE Trans. on Ind. Electron., vol. 42, no 5, Oct. 1995.
- [13] Holmes, D. G. e Lipo, A., Implementation of a controlled rectifier using ac-ac matrix converter theory. IEEE Trans. on Power Electron., vol. 7, no 1, pp. 240 - 250, Jan. 1992.
- [14] Roy, G., Duguay, L., Manias e S., April, G.-E., Asynchronous operation of cycloconverter with improved gain by employing a scalar control algorithm. In: Proceedings IEEE/IAS 22nd Annual Meeting, Atlanta, 1987, pp. 891 - 898.
- [15] Roy, G e April, G.-E., Direct frequency changer operation under a new scalar control algorithm. IEEE Trans. on Power Electron., vol. 6, no.1, pp. 100 - 107, Jan. 1991.
- [16] Leonard, Eric. Controleur Forth multiprocesseur pour les applications en temps réel. Montreal - Canadá: École Polytechnique de Montréal, 1993. (Dissertação, Mestrado em Ciências Aplicadas).

- [17] Mitsubishi Semiconductors, Single-Chip 16-bit Microcomputers, 1989.
- [18] Mitsubishi Semiconductors, Single-Chip 8-bit Microcomputers, 1989.
- [19] Leonard, E., April, G.-E. e Roy, G. Forth700, compilateur Forth à chaînage direct pour le microcontrôleur M37700, relatório técnico, École Polytechnique de Montréal, 1992.

## APÊNDICE I

### DEDUÇÕES E CONSIDERAÇÕES

Este apêndice apresenta as deduções das equações do capítulo 2 e tece considerações sobre aspectos abordados no capítulo 4.

#### I.1 Deduções dos termos e equações apresentados no capítulo 2

Temos as equações (5), (6) e (8):

$$t_K + t_L + t_M = T_s \quad (5)$$

$$\frac{t_K}{t_L} = \frac{v_K}{v_L} \quad (6)$$

$$\rho_{KL} = \frac{v_K}{v_L} \quad (8)$$

Logo as equações (9) e (10) podem ser assim obtidas:

- de (6) e (8) obtemos (9):

$$t_K = \rho_{KL} t_L \quad (9)$$

- de (5) e (9) obtemos (10):

$$t_M = T_s - t_K - t_L = T_s - \rho_{KL} t_L - t_L \Rightarrow t_M = T_s - (\rho_{KL} + 1)t_L \quad (10)$$

A partir da equação (4):

$$v_0 = \frac{1}{T_s} [t_K v_K + t_L v_L + t_M v_M] \quad (4)$$

podemos determinar  $t_L$ :

$$T_s v_0 = t_K v_K + t_L v_L + t_M v_M$$

Substituindo na equação acima os valores de  $t_K$  e  $t_M$ :

$$\begin{aligned} T_s v_0 &= \rho_{KL} t_L v_K + t_L v_L + T_s v_M - (1 + \rho_{KL}) t_L v_M = \\ &= T_s v_M + [\rho_{KL} v_K + v_L - (1 + \rho_{KL}) v_M] t_L \Rightarrow \\ t_L &= \frac{T_s (v_0 - v_M)}{\rho_{KL} v_K + v_L - (1 + \rho_{KL}) v_M} \end{aligned} \quad (11)$$

Usando novamente o valor de  $\rho_{KL}$  na equação (1), temos:

$$t_L = \frac{T_s(v_0 - v_M)}{\frac{v_K}{v_L}v_K + v_L - v_M - \frac{v_K v_M}{v_L}}$$

Multiplicando o denominador e o numerador por  $v_L$  e agrupando os termos em  $v_M$ :

$$t_L = \frac{T_s(v_0 - v_M)v_L}{v_K^2 + v_L^2 - (v_L + v_K)v_M}$$

Adicionando e subtraindo  $v_M^2$  ao denominador chegamos a equação (12):

$$t_L = \frac{T_s \cdot (v_0 - v_M) \cdot v_L}{[v_K^2 + v_L^2 + v_M^2 - (v_K + v_L + v_M) \cdot v_M]} \quad (12)$$

Como num sistema trifásico balanceado  $v_K + v_L + v_M = 0$ , logo:

$$\frac{t_L}{T_s} = \frac{(v_0 - v_M)v_L}{v_K^2 + v_L^2 + v_M^2} = \frac{(v_0 - v_M)v_L}{1,5V_i^2} \quad (13)$$

$$\frac{t_K}{T_s} = \frac{(v_0 - v_M)v_K}{1,5V_i^2} \quad (14)$$

$$\frac{t_M}{T_s} = 1 - \frac{t_K + t_L}{T_s} \quad (15)$$

O termo  $1,5V_i^2$  é assim deduzido, a partir de um sistema trifásico equilibrado:

$$v_A = V_i \cos(\omega_i t)$$

$$v_B = V_i \cos(\omega_i t - 120^\circ)$$

$$v_C = V_i \cos(\omega_i t + 120^\circ)$$

Fazendo a soma dos quadrados das tensões e considerando  $x = \omega t$ , temos:

$$\begin{aligned} v_A^2 + v_B^2 + v_C^2 &= V_i^2 \cos^2 x + V_i^2 \cos^2(x + 120^\circ) + V_i^2 \cos^2(x - 120^\circ) = \\ &= V_i^2 [\cos^2 x + \cos^2(x + 120^\circ) + \cos^2(x - 120^\circ)] \end{aligned}$$

Usando as relações trigonométricas da soma e diferença de arcos:

$$\begin{aligned} v_A^2 + v_B^2 + v_C^2 &= V_i^2 [\cos^2 x + (\cos x \cdot \cos 120^\circ - \sin x \cdot \sin 120^\circ)^2 + \\ &\quad + (\cos x \cdot \cos 120^\circ + \sin x \cdot \sin 120^\circ)^2] = \end{aligned}$$

$$\begin{aligned}
 &= V_i^2 \left[ \cos^2 x + \left( -\frac{1}{2} \cos x - \frac{\sqrt{3}}{2} \sin x \right)^2 + \left( -\frac{1}{2} \cos x + \frac{\sqrt{3}}{2} \sin x \right)^2 \right] = \\
 &= V_i^2 \left[ \cos^2 x + \frac{1}{4} \cos^2 x + \frac{\sqrt{3}}{2} \cos x \cdot \sin x + \frac{3}{4} \sin^2 x + \right. \\
 &\quad \left. + \frac{1}{4} \cos^2 x - \frac{\sqrt{3}}{2} \cos x \cdot \sin x + \frac{3}{4} \sin^2 x \right] = \\
 &= V_i^2 \left[ \cos^2 x + \frac{1}{2} \cos^2 x + \frac{3}{2} \sin^2 x \right] = V_i^2 \cdot \frac{3}{2} \cdot (\cos^2 x + \sin^2 x) \Rightarrow \\
 v_A^2 + v_B^2 + v_C^2 &= 1,5 V_i^2
 \end{aligned}$$

## I.2 Passo das freqüências das tensões de saída

No capítulo 4 mostrou-se que o passo das freqüências das tensões de saída é de aproximadamente 2 Hz. A seguir mostraremos como diminuir o valor deste passo.

Observou-se que a tabela contendo os valores de um quarto de onda (90 graus) do módulo de  $v_0$  possui 256 valores de 8 bits. Assim:

$$\frac{90^\circ}{256} = 0,352^\circ$$

Como a tabela é amostrada a cada 500  $\mu s$  temos:

$$\begin{array}{lcl}
 500 \mu s & \text{-----} & 0,352^\circ \\
 x \mu s & \text{-----} & 360^\circ
 \end{array}$$

resultando numa freqüência mínima, a ser gerada, de aproximadamente 2 Hz, e todas as demais freqüências múltiplas desta.

Uma possível solução para diminuir este passo de freqüência é aumentar o número de bits dos valores da tabela utilizada para geração de  $v_0$ . Por exemplo, utilizando-se uma tabela composta por valores de 16 bits, temos:

$$\frac{90^\circ}{65536} \approx 0,0014^\circ$$

entre dois valores consecutivos da tabela.

Logo, com a tabela também sendo amostrada a cada 500  $\mu s$ :



$$\begin{array}{l} 500 \mu s \text{ ----- } 0,0014^0 \\ x \mu s \text{ ----- } 360^0 \end{array}$$

resultando numa freqüência mínima de aproximadamente 0,008 Hz e com todas as demais freqüências múltiplas desta.

Para a utilização de uma tabela de 16 bits, o ideal é utilizarmos processadores de 16 bits. Mas, processadores de 8 bits também trabalham com dados de dois bytes. Os valores do módulo das tensões de entrada, lidos por ADCs de 8 bits, podem ser convertidos para notação de 16 bits. Para isto, após a conversão do valor, ele é multiplicado por  $101h$ , resultando num número de 16 bits.

A dificuldade para a manipulação de valores de 16 bits por processadores de 8 bits está na implementação das equações para cálculo dos tempos de acionamento dos interruptores. Para o cálculo de  $t_K$  é realizada uma multiplicação de 8 bits e outra de 16 bits. Esta última, na realidade, quatro multiplicações de 8 bits. O mesmo ocorrendo para o cálculo de  $t_L$ . Ao trabalharmos com valores de 16 bits, no cálculo de  $t_K$  devemos realizar uma multiplicação de 16 bits e outra de 32 bits, resultando em 20 multiplicações de 8 bits. Adicionando-se as operações de cálculo de  $t_L$ , totalizamos 40 multiplicações de 8 bits. Isto inviabiliza a manipulação de valores de 16 bits por um microcontrolador de 8 bits, devido ao tempo gasto nas operações e ao aumento na complexidade do programa.

Outra opção para diminuir o valor do passo da freqüência: aumentar o tempo do ciclo de operação do programa, consequentemente reduzindo a freqüência de comutação dos interruptores.

Com um ciclo de 1000  $\mu s$ , o passo passará a 1 Hz e a freqüência de comutação dos interruptores será de 1000 Hz. Mesmo assim, é possível obter freqüências de saída em torno de 200 Hz. A mudança no ciclo de operação aumentará a resposta do sistema a eventuais modificações das referências.

## APÊNDICE II

### O COMPILADOR *FORTH*

Este apêndice faz uma introdução ao compilador *Forth*, denominado *Forth700*, utilizado pelo controlador e desenvolvido por Leonard [16], [19]. O nome *Forth700* é em consequência do fato deste ser um compilador da linguagem *Forth* desenvolvido para o processador M37700.

Para se acessar os recursos de programação do controlador, é utilizado um programa de comunicação, também desenvolvido por Leonard. Esta comunicação realiza-se através de uma porta serial do *IBM-PC*, ligada a uma das portas seriais do mestre. Quando da utilização do programa devem ser definidos alguns parâmetros, tais como qual porta serial do *PC* está sendo usada, qual a interrupção e qual a taxa de transmissão utilizadas.

A partir do momento em que é estabelecido o contato *PC-controlador*, o programa de comunicação passa a atuar como um editor para o compilador *Forth700*, residente em EPROM no controlador. Assim o *PC* torna-se simplesmente um terminal para o compilador, pois o programa só aceita instruções escritas em *Forth700*, instruções estas que serão executadas não pelo processador do *PC*, mas sim pelos processadores do controlador (através da tecla de função F8 é possível utilizar comandos do sistema operacional do *PC*).

Como características gerais da linguagem *Forth*, temos:

- instruções, denominadas palavras, executadas sobre dados armazenados na pilha (*stack*);
- uso da notação polonesa invertida (parâmetros primeiro, palavras depois);
- linguagem que não é totalmente interpretada nem compilada, mas sim que possui características de ambas as ações;
- conjunto de palavras específicas para operações sobre a pilha;

- possibilidade de criação de novas palavras, cujo conjunto é denominado dicionário, através do uso de outras palavras já existentes. Uma palavra nova definida pelo usuário sempre começa por dois pontos (:) e termina em ponto-e-vírgula (;):

*: nome*

{ *palavras já definidas* }

;

Além destas, o *Forth700* possui algumas características próprias:

- utilização de operandos em notação ponto flutuante e complexa;
- uma pilha para valores inteiros e outra para valores complexos e em ponto flutuante;
- palavras para execução de operações trigonométricas, logarítmicas e exponenciais;
- palavras para conversão entre dados, como de notação inteira para ponto flutuante e vice-versa;
- palavras já definidas para acesso às memórias e à interface de barramento dos coprocessadores;
- palavras criadas pelo usuário podem intercalar instruções em *Forth* e em *Assembly*. As palavras *forth* e *code* definem o início de instruções em *Forth* e *Assembly*, respectivamente:

*: nome*

{ *instruções Forth* }

*code*

{ *instruções Assembly* }

*forth*

{ *instruções Forth* }

;

Logicamente as instruções em *Assembly* devem ser escritas em notação polonesa inversa. Por exemplo, para carregar um valor imediato no acumulador não se escreve:

*lda # n*

onde  $n$  é a valor imediato, mas sim:

$n \# lda,$

sendo a vírgula no final obrigatória, indicando o fim de uma instrução em *Assembly*.

A tabela a seguir mostra as palavras *Forth700* para comunicação do mestre com os coprocessadores.

Notação:

b: byte

ad: endereço absoluto de 16 bits

n,: inteiro sinalizado (16 bits)

Obs.: valores à esquerda do sinal -- indicam valores na pilha antes da execução da palavra, valores à direita do sinal -- indicam valores na pilha após a execução da palavra.

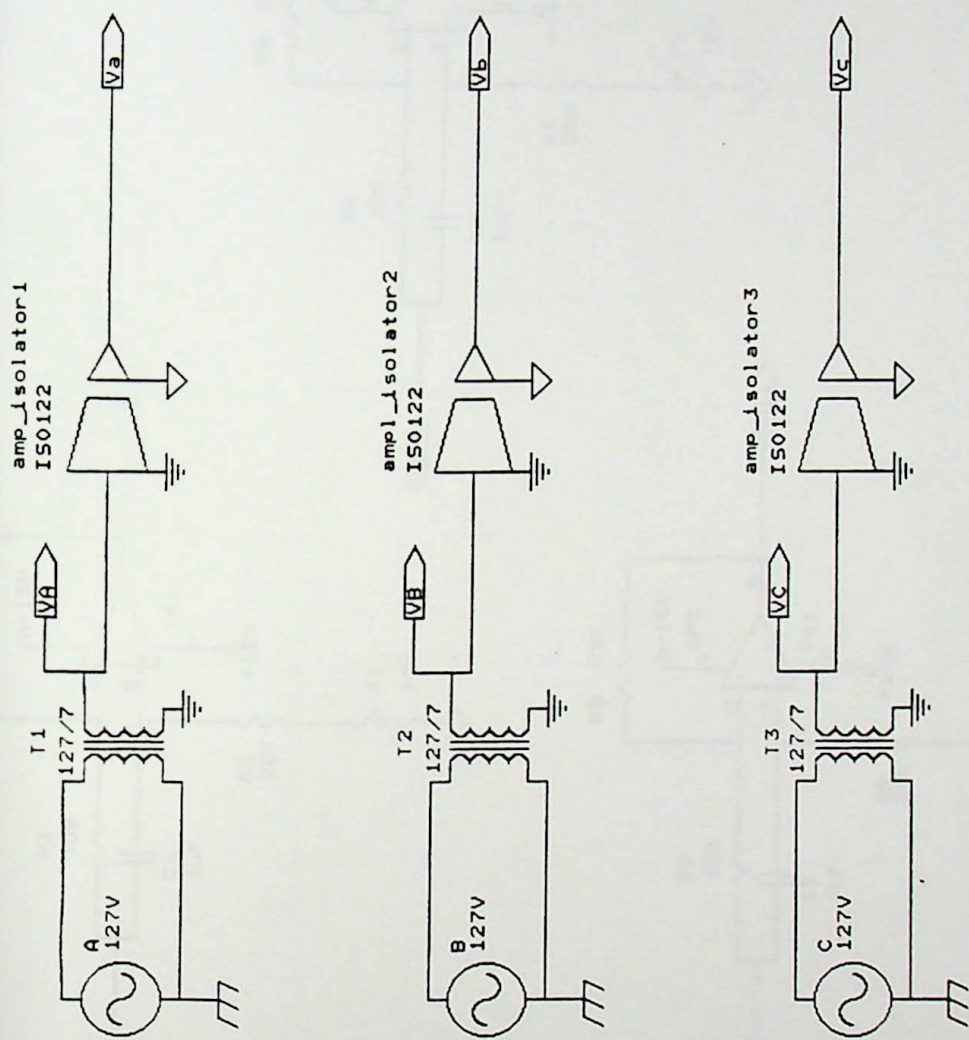
**Tabela II. 1** Comunicação com os coprocessadores.

Palavra	Definição
:cpload	(ad n -- ) Desativar o coproc. especificado ( $n= 0$ a $3$ ) e transmitir um arquivo de formato Intel 8 bits.
?cp	(n -- b) Ler o registro de estado da interface de barramento do coproc. n.
>cp	(b n -- ) Transmitir o byte b ao registro de entrada do coproc. n com o pino de controle da interface barramento A0 em 0.
>cp'	(b n -- ) Transmitir o byte b ao registro de entrada do coproc. n com o pino de controle da interface de barramento A0 em 1.
0>1	Copiar toda a memória externa do coproc. 0 para o coproc. 1.
0>123	Copiar a memória externa do coproc. 0 para os coproc. 1,2 e 3.
01>23	Copiar as memórias externas dos coproc. 0 e 1 para os coproc. 2 e 3, respectivamente.
all-off	Desativar todos os coproc.
all-on	Ativar todos os coproc.
cp>	(n -- b) Ler o registro de saída do coproc. n.
cpb!	(b ad n -- ) Escrever o byte n dentro da memória do coproc. n. O endereço n é visto pelo coproc.. Funciona apenas com o coproc. desativado.
cpb@	(ad n -- b) Ler um byte da memória do coproc. n. O endereço n é visto pelo coproc. Funciona apenas com o coproc. desativado
cpl&g	(n -- ) Desativar o coproc. n, enviar um arquivo de formato Intel 8 bits à memória do coproc. e em seguida o ativar .
off	(n -- ) Desativar o coproc. n.
on	(n -- ) Ativar o coproc. n.

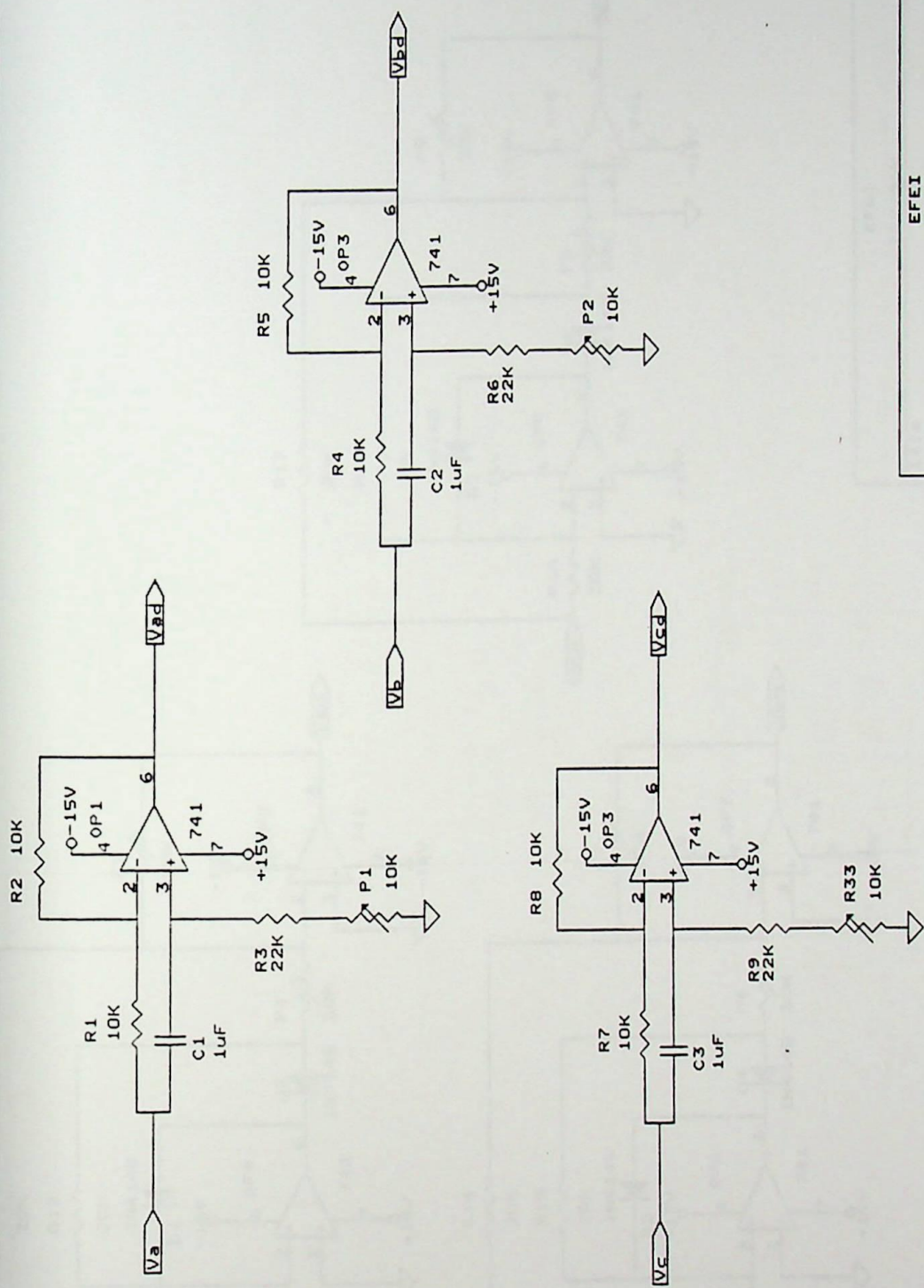
## APÊNDICE III

### ESQUEMAS DOS CIRCUITOS DE INTERFACE E CONDICIONAMENTO

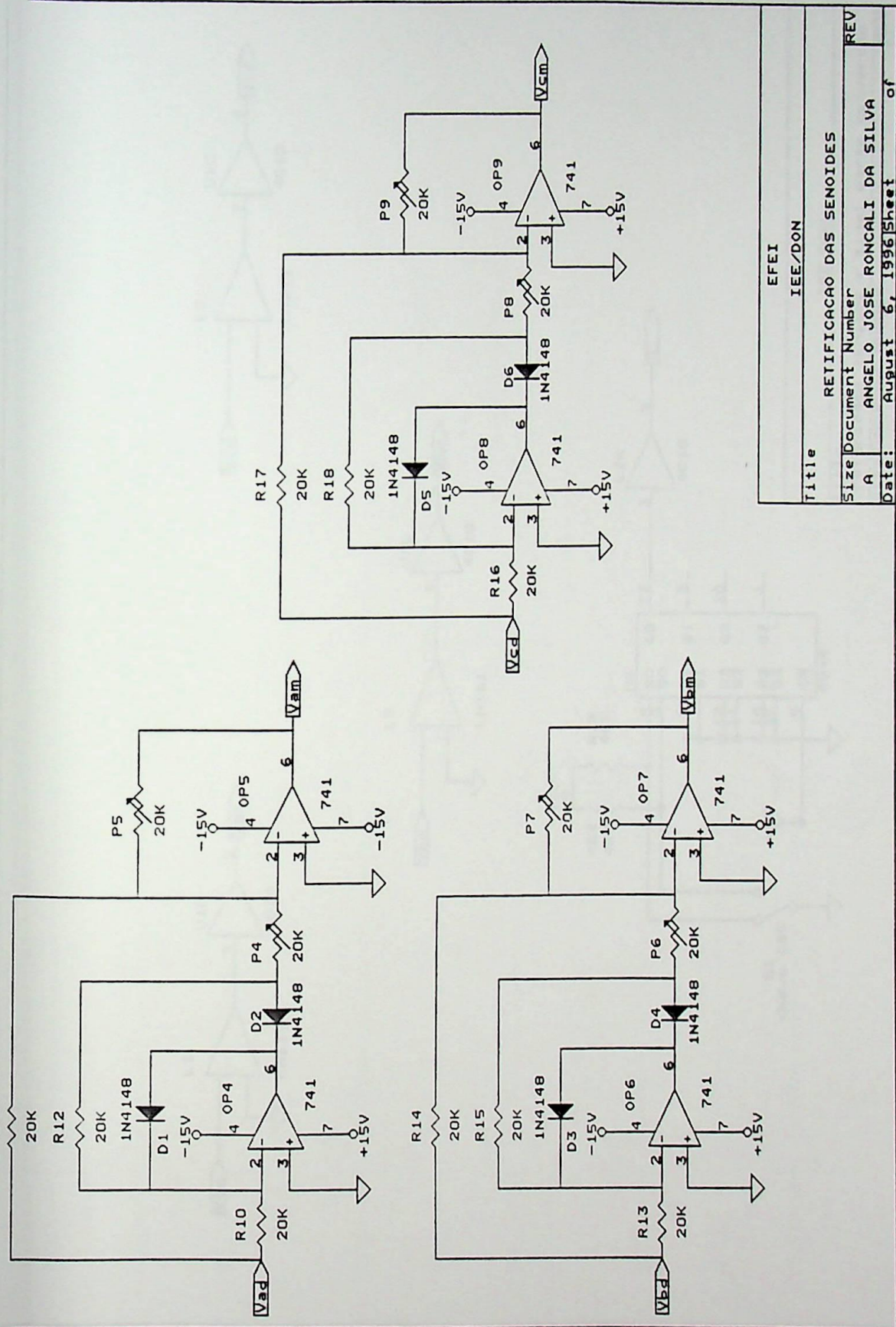




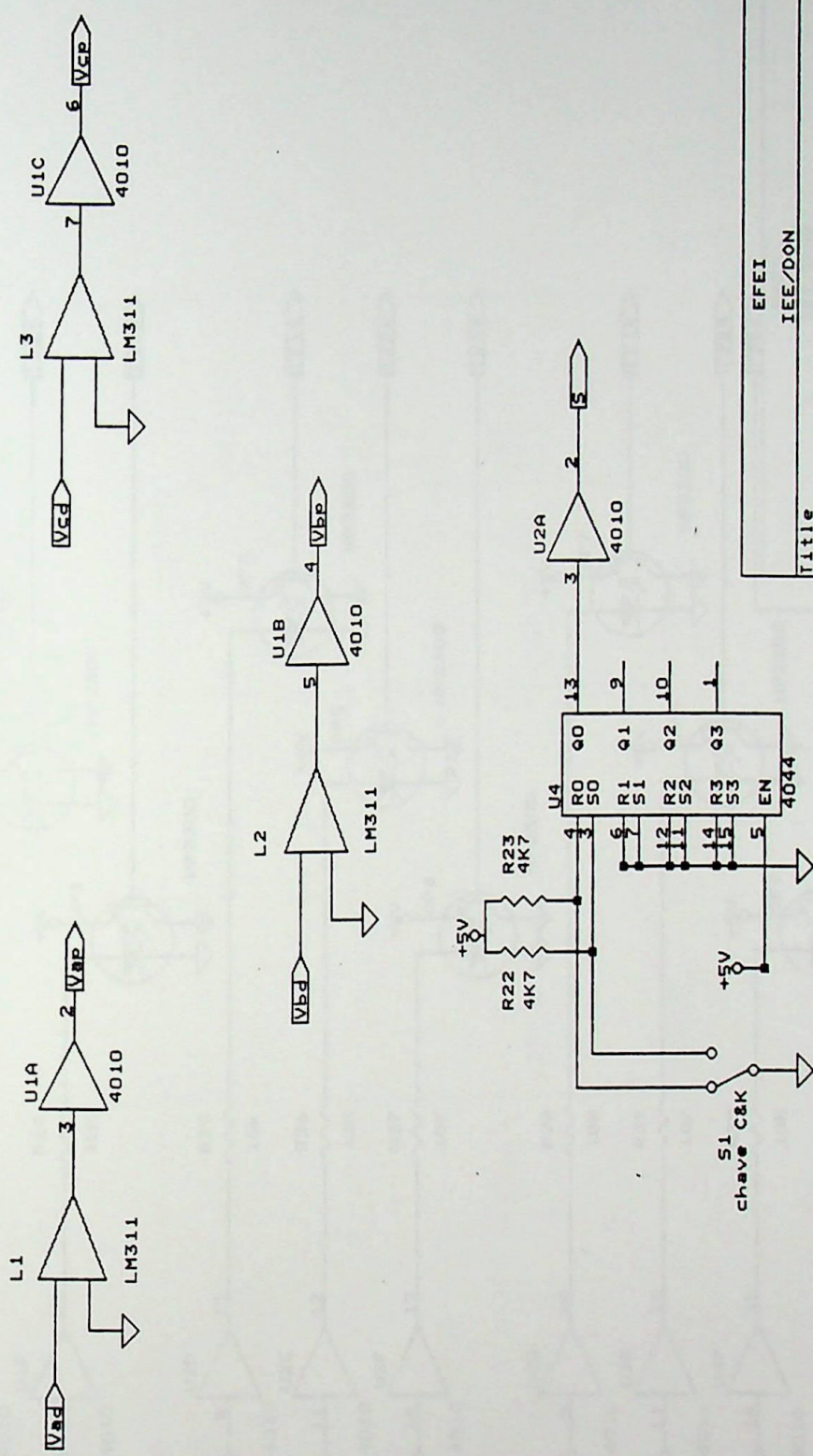
EFEI	IEE/DON
OBTENCAO DE $V_a$ , $V_b$ E $V_c$	
Size Document Number	REV
A   ANGELO J. R. DA SILVA	
Date: July 31, 1996 Sheet of	



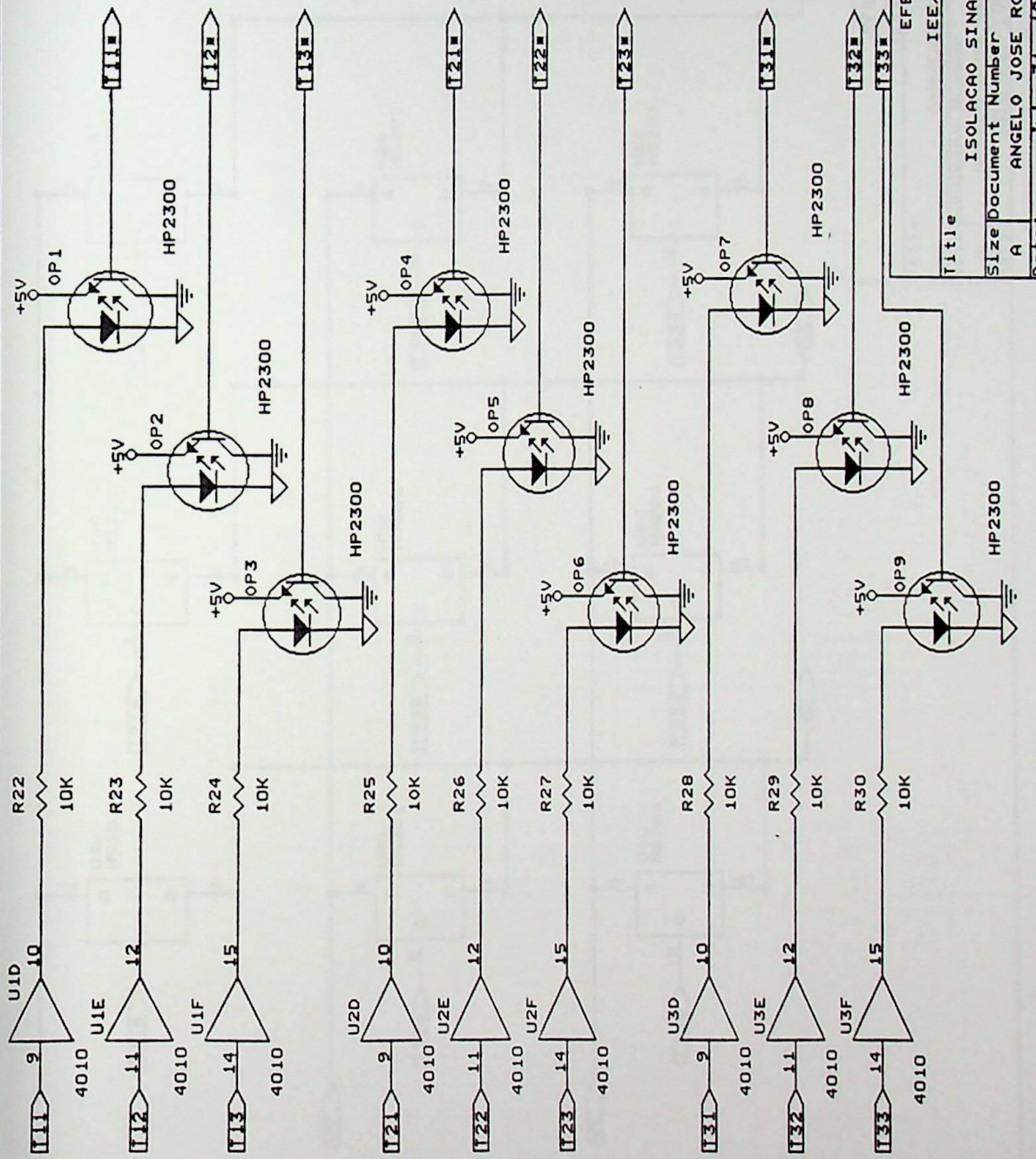
Title		EFEI	
Size		DEFASAMENTO DE $V_a$ , $V_b$ E $V_c$	
A	Document Number	IEE/DON	REV
Date: July 31, 1996		Sheet of 1	
ANGELO J. R. DA SILVA			



Title		RETIFICACAO DAS SENOIDES	
Size		Document Number	
A		ANGELO JOSE RONCALI DA SILVA	REV
Date:		August 6, 1996 Sheet of	

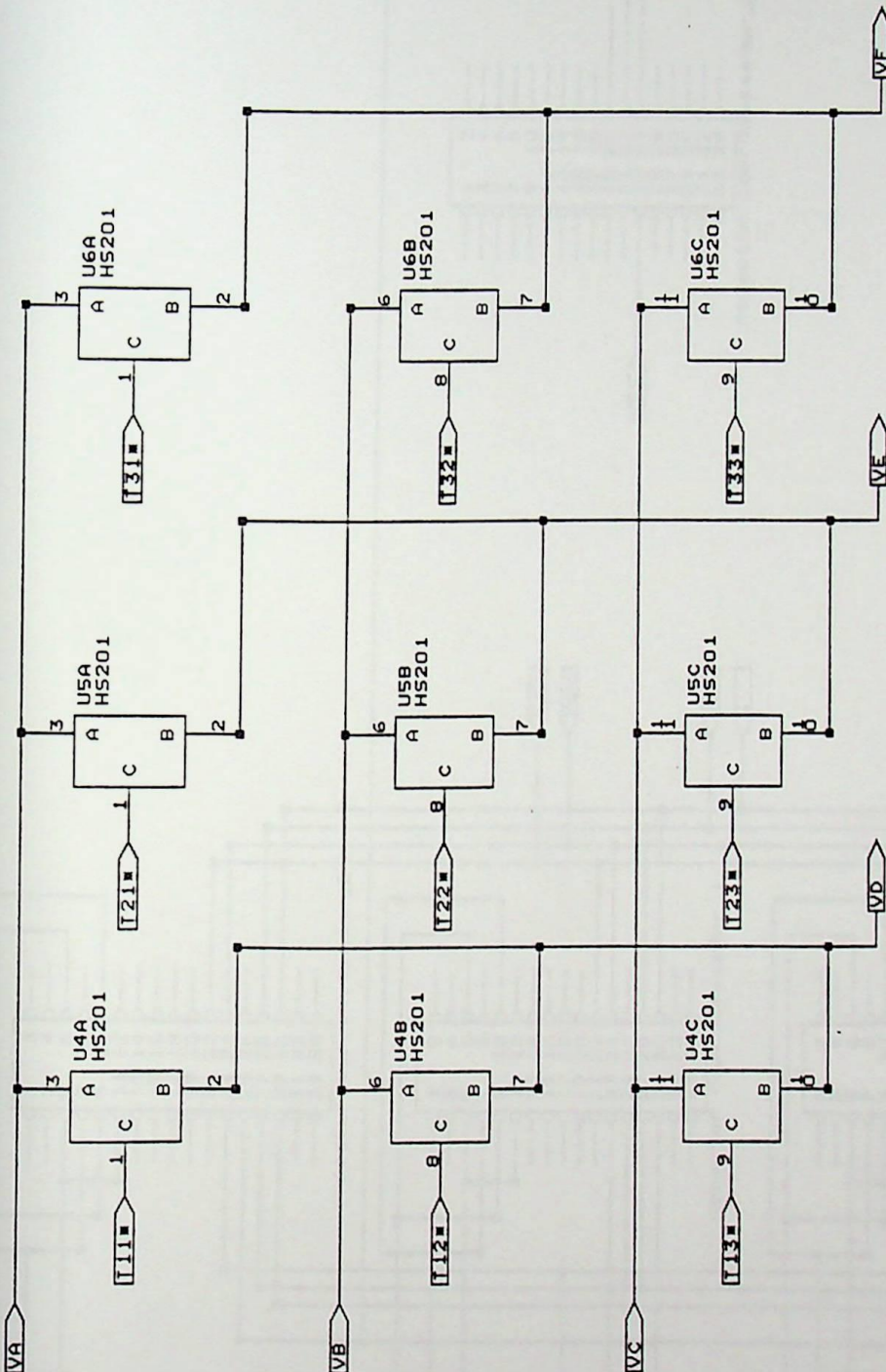


Title	Polaridade tensões e sinal para conversão	
Size	Document Number	REV
A	ANGELO J. R. DA SILVA	
Date:	July 31, 1996	Sheet of

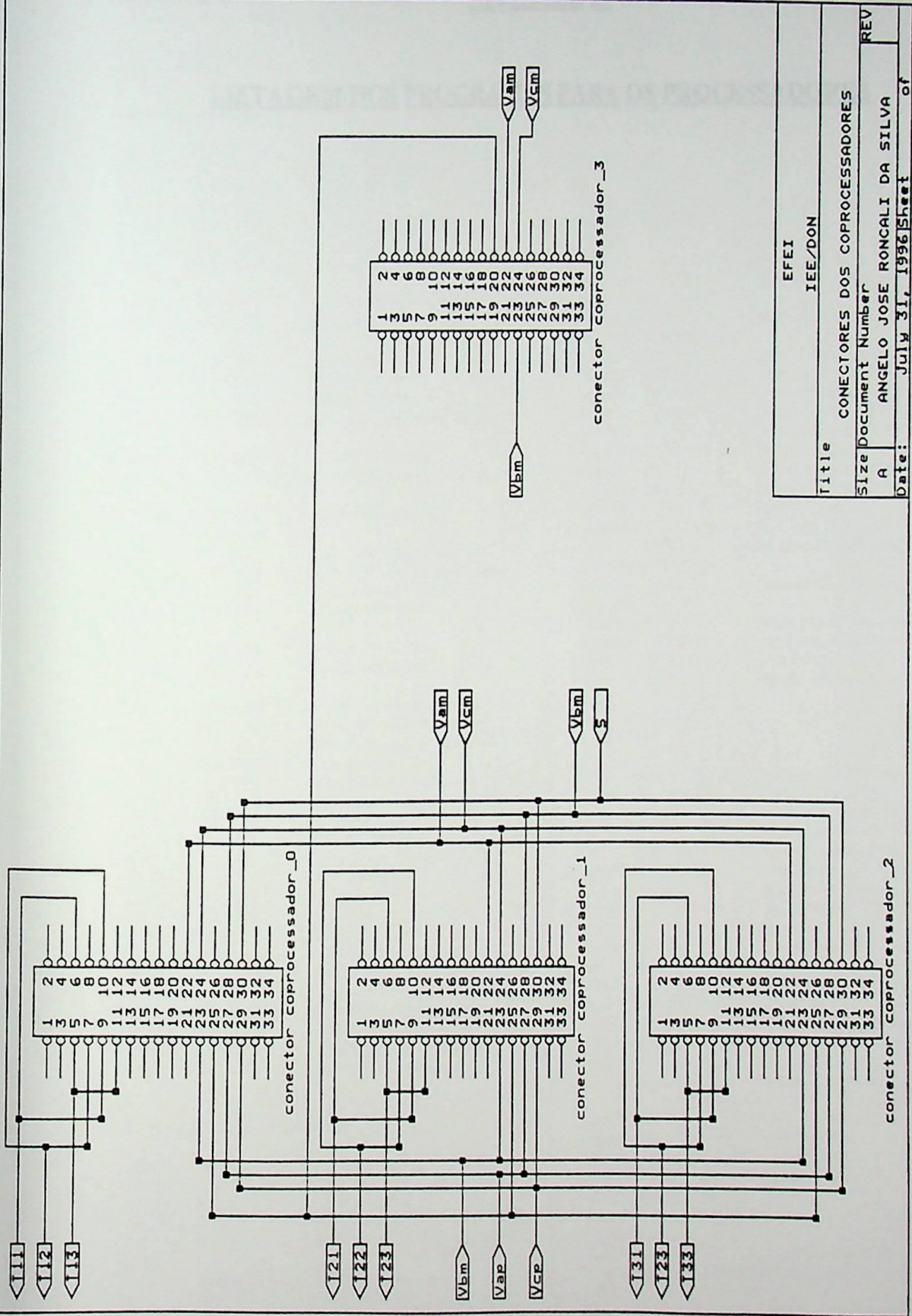


Size	Document Number	REV
A	ANGELO JOSE RONCALI DA SILVA	
Date:	July 31, 1996	Sheet 01

ISOLACAO SINAIS DE DISPARO



Title		CONVERSOR REDUZIDO	
Size		Document Number	REV
A	EFETI	ANGELO JOSE RONCALI DA SILVA	
Date:		July 31, 1996	Sheet of 1
		IEE/DON	



CONECTORES DOS COPROCESSADORES  
REV  
Title IEE/DON  
Size Document Number A  
Date: July 31, 1996 Sheet of 1  
EFEI  
ANGELO JOSE RONCALI DA SILVA

## APÊNDICE IV

### LISTAGEM DOS PROGRAMAS PARA OS PROCESSADORES

```

;Programa para o controle de três interruptores de um ramo de
;saída de um conversor direto de freqüência, utilizando como
;método de controle o Algoritmo Escalar
;
CPU "M450.TBL"
HOF "INT8"
;
;Endereços do 37450
;
P3:    EQU $D6      ;registro P3
P3D:   EQU $D7      ;registro de direcao P3
P4:    EQU $D8      ;registro P4
P5:    EQU $DA      ;registro P5
P5D:   EQU $DB      ;registro de direcao P5
P6:    EQU $DC      ;registro P6
P6D:   EQU $DD      ;registro de direcao P6
;
MISRG1: EQU $DE    ;registro de miscelanea 1
MISRG2: EQU $DF    ;registro de miscelanea 2
;
DA1R:  EQU $E0      ;registro do DAC 1
DA2R:  EQU $E1      ;registro do DAC 2
ADR:   EQU $E2      ;registro do ADC
ADCR:  EQU $E3      ;registro de controle do ADC
;
IBR:   EQU $E4      ;registro do data bus
IBSTAT: EQU $E5     ;registro de estado do data bus
;
RTBR:  EQU $E6      ;registro do buffer de
;recepcao/transmissao
SIOS:  EQU $E7      ;registro de estado da I/O serial
SIOC:  EQU $E8      ;registro de controle da I/O serial
UACON: EQU $E9      ;registro de controle UART
BRG:   EQU $EA      ;gerador taxa baud
;
PWML:  EQU $EB      ;registro PWM low
PWMH:  EQU $EC      ;registro PWM high
;
T1C:   EQU $ED      ;registro de controle timer 1
T2C:   EQU $EE      ;registro de controle timer 2
T3C:   EQU $EF      ;registro de controle timer 3
T1L:   EQU $F0      ;registro timer 1 low
T1H:   EQU $F1      ;registro timer 2 high
TILL:  EQU $F2      ;latch timer 1 low
T1LH:  EQU $F3      ;latch timer 1 high
T2L:   EQU $F4      ;registro timer 2 low
T2H:   EQU $F5      ;registro timer 2 high
T2LL:  EQU $F6      ;latch timer 2 low
T2LH:  EQU $F7      ;latch timer 2 high
T3L:   EQU $F8      ;registro timer 3 low
T3H:   EQU $F9      ;registro timer 3 high
T3LL:  EQU $FA      ;latch 3 low
T3LH:  EQU $FB      ;latch 3 high
;
IRQ1:  EQU $FC      ;registro requisicao interrupcao 1
IRQ2:  EQU $FD      ;registro requisicao interrupcao 2
ICON1: EQU $FE      ;registro controle interrupcao 1
ICON2: EQU $FF      ;registro controle interrupcao 2
;
;
;Constantes e outros enderecos
;
ORG    $08
carry5: DFS 1*1      ;valor do carry1
carry4: DFS 1*1      ;valor do carry2
carry3: DFS 1*1      ;valor do carry3
w8:    DFS 1*1      ;valor de w8(multiplicacao de 16
;bits)
carry2: DFS 1*1      ;valor do carry4
carry1: DFS 1*1      ;valor do carry5
w6:    DFS 1*1      ;valor de w1(multiplicacao de 16
;bits)
w4:    DFS 1*1      ;valor de w4(multiplicacao de 16
;bits)
;

w2:    DFS 1*1      ;valor de w6(multiplicacao de 16
;bits)
;      b2 b1
;      x b4 b4
;
;      w2 w1
;      w4 w3 00
;      w6 w5 00
;      w8 w7 00 00
;
ORG    $50
;
ftimer1: DFS 1*1    ;fim timer 1
ftimer2: DFS 1*1    ;fim timer 2
ftimer3: DFS 1*1    ;fim timer 3
mascara: DFS 1*1   ;mascara do carry
Tmaxlow: DFS 1*1   ;tempo maximo do
Tmaxhigh: DFS 1*1  ;tempo maximo do
;
result1: DFS 1*1    ;byte1 resultado TI(desprezado)
result2l: DFS 1*1   ;byte2 resultado TI(desprezado)
result3l: DFS 1*1   ;byte3 resultado TI(low)
result4l: DFS 1*1   ;byte4 resultado TI(high)
result1k: DFS 1*1   ;byte1 resultado Tk(desprezado)
result2k: DFS 1*1   ;byte2 resultado Tk(desprezado)
result3k: DFS 1*1   ;byte3 resultado Tk(low)
result4k: DFS 1*1   ;byte4 resultado Tk(high)
result3m: DFS 1*1   ;byte low Tm
result4m: DFS 1*1   ;byte high Tm
stack:   DFS 1*1    ;posicao do stack para
;[Vx*(Vm+Vo)]*348
stack1:  DFS 1*1    ;posicao do stack para
;[Vx*(Vm+Vo)]
stacks1: DFS 1*1   ;stack para entrada na subrotina
stacks2: DFS 1*1   ;stack para saida da subrotina
zero:   DFS 1*1    ;valor zero
fstop:  DFS 1*1    ;flag de sincronismo entre os
;
;micro
;
ORG    $80
;
Va:    DFS 1*1      ;modulo da tensao Va
sigva: DFS 1*1     ;sinal da tensao Va
Vb:    DFS 1*1      ;modulo da tensao Vb
sigvb: DFS 1*1     ;sinal da tensao Vb
Vc:    DFS 1*1      ;modulo da tensao Vc
sigvc: DFS 1*1     ;sinal da tensao Vc
Vo:    DFS 1*1      ;modulo da tensao Vo
sigvo: DFS 1*1     ;sinal da tensao Vo
Vm:    DFS 1*1      ;modulo da tensao Vm
sigvm: DFS 1*1     ;sinal da tensao Vm
Vi:    DFS 1*1      ;modulo da tensao Vi
Vk:    DFS 1*1      ;modulo da tensao Vk
tm:    DFS 1*1      ;tempo tm
K1:    DFS 1*1      ;constante de normalizacao(low)
Kh:    DFS 1*1      ;constante de normalizacao
;(high)
y:     DFS 1*1      ;variavel de primeira vez
;
ORG    $90
mul1l: DFS 1*1    ;resultado de
;(Vm+Vo)*Vx_low
mul1h: DFS 1*1    ;resultado de
;(Vm+Vo)*Vx_high
;
ORG    $A0
freq:  DFS 1*1      ;valor convertido da frequencia,
;representa o passo de amostragem da tabela (enviado pelo
;PC)
ampl:  DFS 1*1      ;valor convertido da amplitude
;(enviado pelo PC)
stop1: DFS 1*1      ;limite superior para retorno na
;tabela
;
```

```

v1:    DFS 1*1          ;variavel para armazenamento
;temporario de dados
Vi:    DFS 1*1          ;valor de pico
;
;tabela com os valores do seno entre 0 e 90 graus
ORG $1000
seno:DFB $00,$02,$03,$05,$06,$08,$09,$0b,$0d,$0e
      DFB $10,$11,$13,$14,$16,$18,$19,$1b,$1c,$1e
      DFB $1f,$21,$22,$24,$26,$27,$29,$2a,$2c,$2d
      DFB $2f,$30,$32,$33,$35,$37,$38,$3a,$3b,$3d
      DFB $3e,$40,$41,$43,$44,$46,$47,$49,$4a,$4c
;
      DFB $4d,$4f,$50,$52,$53,$55,$56,$58,$59,$5b
      DFB $5c,$5e,$5f,$60,$62,$63,$65,$66,$68,$69
      DFB $6b,$6c,$6d,$6f,$70,$72,$73,$74,$76,$77
      DFB $79,$7a,$7b,$7d,$7e,$80,$81,$82,$84,$85
      DFB $86,$88,$89,$8a,$8c,$8c,$8d,$8f,$91,$92
;
      DFB $93,$95,$96,$97,$98,$9a,$9b,$9c,$9d,$9f
      DFB $a0,$a1,$a2,$a4,$a5,$a6,$a7,$a8,$a9,$ab
      DFB $ac,$ad,$ae,$af,$b0,$b2,$b3,$b4,$b5,$b6
      DFB $b7,$b8,$b9,$ba,$bb,$bc,$bd,$c0,$c1
      DFB $c2,$c3,$c4,$c5,$c6,$c7,$c8,$c9,$ca,$cb
;
      DFB $cb,$cc,$cd,$ce,$cf,$d0,$d1,$d2,$d3,$d4
      DFB $d5,$d5,$d6,$d7,$d8,$d9,$da,$da,$db,$dc
      DFB $dd,$de,$de,$df,$e0,$e1,$e1,$e2,$e3,$e4
      DFB $e4,$e5,$e6,$e6,$e7,$e8,$e8,$e9,$ea,$ea
      DFB $eb,$eb,$ec,$ed,$ee,$ee,$ef,$ef,$f0
;
      DFB $f0,$f1,$f2,$f2,$f3,$f3,$f3,$f4,$f4,$f5
      DFB $f5,$f6,$f6,$f7,$f7,$f7,$f8,$f8,$f8,$f9
      DFB $f9,$f9,$fa,$fa,$fb,$fb,$fb,$fb,$fc
      DFB $fc,$fc,$fc,$fd,$fd,$fd,$fd,$fe,$fe
      DFB $fe,$fe,$fe,$fe,$ff,$ff,$ff,$ff
;
      DFB $ff,$ff,$ff,$ff,$ff,$ff,$ff,$ff
;
:tabela com as constantes multiplicativas
const:DFB $03,$47,$03,$4d,$03,$54,$03,$5b,$03,
       DFB $62,$03,$69,$03,$70,$03,$77,$03,$7e,
       DFB $03,$85,$03,$8d,$03,$94,$03,$9c,$03,
       DFB $a3,$03,$ab,$03,$b3,$03,$bb,$03,$c3,
       DFB $03,$cb,$03,$d3,$03,$dc,$03,$e4,$03,
       DFB $ed,$03,$f5,$03,$fe,$04,$07,$04,$10,
       DFB $04,$19,$04,$23,$04,$04,$2c,$04,$35,$04,
       DFB $3f,$04,$49,$04,$53,$04,$55,$04,$67,
       DFB $04,$71,$04,$7c,$04,$86,$04,$91,$04,
       DFB $9c,$04,$a7,$04,$b2,$04,$be,$04,$c9,
       DFB $04,$d5,$04,$e1,$04,$ed,$04,$f9,$05,
       DFB $05,$05,$12,$05,$1f,$05,$2c,$05,$39,
       DFB $05,$46,$05,$54,$05,$61,$05,$6f,$05,
       DFB $7e,$05,$8c,$05,$9b,$05,$a9,$05,$b8
       DFB $05,$cb,$05,$d7,$05,$e7,$05,$f7,$06,
       DFB $07,$06,$18,$06,$29,$06,$3a,$06,$4b,
       DFB $06,$5d,$06,$6f,$06,$81,$06,$94,$06,
       DFB $a7,$06,$ba,$06,$cd,$06,$e1,$06,$f5,
       DFB $07,$0a,$07,$1f,$07,$34,$07,$4a,$07,
       DFB $60,$07,$76,$07,$8d,$07,$a4,$07,
       DFB $bc,$07,$d4,$07,$ec,$08,$05,$08,$1f,
       DFB $08,$39,$08,$53,$08,$6f,$08,$89,$08,
       DFB $a5,$08,$c2,$08,$df,$08,$fc,$09,$1c,
       DFB $08,$39,$09,$59,$09,$79,$09,$99,
       DFB $09,$sb,$09,$dd,$0a,$00,$0a,$23,$0a,
       DFB $47,$0a,$6c,$0a,$92,$0a,$b8,$0a,$e0,
       DFB $0b,$08,$0b,$31,$0b,$5b,$0b,$86,$0b,$b2
;
:Programa
;
ORG $4000
;
;
:inicio do programa por reset
;
start1: clt          ;clear o bit t

```

```

      cld          ;clear o bit d
      ldm #00000110b,MISRG2 ;stack on page 0 e uP
;
:mode
      clb 2,IBSTAT
;
;
:inicializacao dos registros
;
:portas
;
;
      ldm #00000111b,P3D ;bits 0-2 como saida e ;3-7
;
:como entrada da porta 3
      clb 0,P3          ;clear bits 0, 1 e 3 de P3
      clb 1,P3
      clb 2,P3
      ldm #00001000b,P6D ;bits 0-2 como entrada da
;
:porta ;6
;
:variaveis
;
:start3: ldm #$48,kl          ;carrega kl com 48h
         ldm #$03,kh          ;carrega kh com 04h
         ldm #$00,ftimer1        ;carrega ftimer1 com 0h
         ldm #$00,ftimer2        ;carrega ftimer2 com 0h
         ldm #$00,ftimer3        ;carrega ftimer3 com 0h
         ldm #$01,mascara        ;carrega mascara com 1
         ldm #$e1,Tmaxlow        ;carrega Tmaxlow com E1h
;
:(500 us)
         ldm #$04,Tmaxhigh       ;carrega Tmaxhigh com 04h
;
:(500 us)
         ldm #$10,stack          ;carrega stack com 10h, para
;
:multiplicacao 16bits
         ldm #$91,stack1         ;carrega stack1 com 91h, para
;
:multiplicacao por 348h
         ldm #$20,stacks1         ;carrega stacks1 com 20h,
;
:para entrada na subrotina
         ldm #$1e,stacks2         ;carrega satcks2 com 1Eh,
;
:para saida da subrotina
         ldm #$00,zero            ;carrega zero com 0h
         ldm #$00,y               ;carrega y com 0h
         ldm #$00,fstop           ;carrega fstop com 0h
;
:desabilitacao dos contadores, senao os contadores continuam
;
:contando, mesmo com a chave desligada
         ldm #$01,ICON1           ;desabilita interrupcoes
         ldm #$00,ICON2           ;desabilita interrupcoes
;
:escrita nos registros de latch e contagem dos contadores
         ldm #$06,T1C             ;contador 1 em one-shot
;
:generation mode
         ldm #$06,T2C             ;contador 2 em one-shot
;
:generation mode
         ldm #$00,T3C             ;contador operacao normal
         ldm #$00,MISRG1          ;possibilita escrita nos
;
:contadores
         ldm #$ff,TILL            ;inicializa registro timer1
;
:latch low
         ldm #$ff,T1LH            ;inicializa registro timer1
;
:latch high
         ldm #$ff,T1L             ;inicializa registro timer1 low
         ldm #$ff,T1H              ;inicializa registro timer1 high
         ldm #$ff,T2LL            ;inicializa registro timer2
;
:latch low
         ldm #$ff,T2LH            ;inicializa registro timer2
;
:latch high
         ldm #$ff,T2L              ;inicializa registro timer2 low
         ldm #$ff,T2H              ;inicializa registro timer2 high
         ldm #$ff,T3LL            ;inicializa registro timer3
;
:latch low
         ldm #$ff,T3LH            ;inicializa registro timer3
;
:latch high
         ldm #$ff,T3L              ;inicializa registro timer3 low
         ldm #$ff,T3H              ;inicializa registro timer3 high
;
;
         ldm #$40,MISRG1          ;habilita contagem timer3
         sei                      ;desabilita interrupcoes

```

```

Idx #$22 ;carrega stack pointer com
;22h txa
;
;obtencao de Vo
;
;registro Y e o contador para a tabela
ldm #$33,ampl ;amplitude igual a 2 volts
ldm #$1e,freq ;frequencia igual a 60 Hz
lda #$ff ;faz stop1= FFh - freq
sec
sbc freq
sta stop1
ldm #$00,sigvo ;sinal da tensao negativo
ldy #$00 ;tensao a 0 graus
;
p: lda sigvo ;inverte sinal da tensao
eor #000010000b
sta sigvo
lda seno,y ;ler valor da tabela
jsr cal_amp ;jump para rotina de calculo da
;amplitude
jsr escalar ;jump para rotina de
;implementacao do algoritmo escalar
p1: clc ;calcula posicao do novo valor da
;tabela
tya
adc freq
tay
lda seno,y ;ler valor da tabela
jsr cal_amp ;jump para rotina de calculo da
;amplitude
jsr escalar ;jump para rotina de
;implementacao do algoritmo escalar
cpy stop1 ;compara Y com stop1
bcc p1 ;se menor vai para p1
lda #$ff ;faz a=FFh-Y
sty v1
sec
sbc v1
sta v1
lda freq ;faz b=freq-a
sec
sbc v1
sta v1
lda #$ff ;faz c=FFh-b, que e o novo valor de
;Y
sec
sbc v1
tay
lda seno,y ;ler valor da tabela
jsr cal_amp ;jump para rotina de calculo da
;amplitude
jsr escalar ;jump para rotina de
;implementacao do algoritmo escalar
p2: sec ;calcula posicao do novo valor da
;tabela
tya
sbc freq
tay
lda seno,y ;ler valor da tabela
jsr cal_amp ;jump para rotina de calculo da
;amplitude
jsr escalar ;jump para rotina de implementacao
;do AE
cpy freq ;compara Y com freq
bcc p2 ;se maior vai para p2
sty v1 ;faz a=freq-Y, que e o novo valor de
;Y
lda freq
sec
sbc v1
tay
jmp p ;jump para p
;

;
;rotina de calculo da amplitude
;
cal_amp: ldm zero ;multiplica o valor da tabela por ampl
mul ampl,x
pla
sta Vo ;coloca valor do TOS no A
rts ;armazena valor em Vo
;retorno
;
;rotina de implementacao do algoritmo escalar
;
escalar:
;
;leitura da chave
;
start2: lda P4 ;verifica se chave esta em on
and #$80 ;se estiver prossegue va para cont
bne cont ;se nao estiver va prossegue
lda y ;y=0?
beq start2 ;se for, va para start2
cli
t1: lda timer3 ;timer2 terminou contagem?
beq t1 ;se nao, va para t1
ldm #$1d,ICON1 ;habilita INTs
ldm #$00,T1C ;para timer1
ldm #$00,T2C ;para timer2
t2: lda timer1 ;timer3 terminou contagem?
beq t2 ;se nao, va para t2
ldm #$00,T3C ;para timer3
ldm #$06,T1C ;timer1 em one shot generation
ldm #$06,T2C ;timer2 em one shot generation
ldm #$00,y
sei
;
start4: lda P4 ;verifica se chave esta em on
and #$80 ;se estiver prossegue programa
beq start4 ;se nao estiver va para start4
ldm #$00,MISRG1 ;possibilita escrita nos contadores
ldm #$00,fstop
ldm #$00,T3LL ;inicializa registro timer3 latch low
ldm #$05,T3LH ;inicializa registro timer3 latch
;
high
ldm #$00,T3L ;inicializa registro timer3 low
ldm #$05,T3H ;inicializa registro timer3 high
clb 7,IRQ1 ;clear pedido interrupcao timer3
ldm #$40,MISRG1 ;habilita contagem timer3
;
;leitura de Va,sigva,Vb,sigvb,Vc,sigvc,Vo,sigvo
;leitura de Va e sigva
cont: ldm #$00,ADCR ;start no conversor AD para le Va
lda P4
and #$10
sta sigva
I1: lda IRQ2 ;requisicao de int.
and #$20
beq I1
clb 5,IRQ2 ;clear pedido interrupcao A/D
lda ADR ;load acumulador com modulo de
;
Va
sta Va ;store modulo de Va em Va
;
;leitura de Vb e sigvb
;
I2: ldm #$01,ADCR ;start no conversor AD para le Vb
lda P4
and #$20
lsl A ;deslocamento do bit de sinal para
;
posicao 3
sta sigvb ;store sinal de Vb em sigvb
I2: lda IRQ2 ;requisicao de int.
and #$20
beq I2
clb 5,IRQ2 ;mascara bits de IRQ2
;verifica se conversao terminou
;clear pedido interrupcao A/D

```

```

;Vb    lda ADR      ;load acumulador com modulo de
       sta Vb       ;store modulo de Vb em Vb
;
;leitura de Vc e sigvc
;
;      ldm #$02,ADCR ;start no conversor AD para ler
;Vc    lda P4        ;le porta3 (sinal de Vc)
       and #$40      ;and do acumulador com 20h
       lsr A         ;deslocamento do bit de sinal
;para posicao 4
       lsr A         ;deslocamento do bit de sinal
;para posicao 3
       sta sigvc     ;store sinal de Vc em sigvc
I3:   lda IRQ2      ;load acumulador com registro
;de requisicao de int.
       and #$20      ;mascara bits de IRQ2
       beq I3        ;verifica se conversao terminou
       clb 5,IRQ2    ;clear pedido interrupcao A/D
       lda ADR      ;load acumulador com modulo
;de Vc
       sta Vc       ;store modulo de Vc em Vc
;
;leitura do valor de pico
;
;      ldm #$03,ADCR ;start no conversor AD para le
;Vi
I4:   lda IRQ2      ;load acumulador com registro
;de requisicao de int.
       and #$20      ;mascara bits de IRQ2
       beq I4        ;verifica se conversao terminou
       clb 5,IRQ2    ;clear pedido interrupcao A/D
       lda ADR      ;load acumulador com modulo
;de Vi
       sta Vi       ;store modulo de Vi em Vi
       lda #$ff      ;ler tabela 2.(FF-Vi)
       sec
       sbc Vi
       asl A
       tax
       lda const,x
       sta Kh
       inx
       lda const,x
       sta Kl
;Determinacao de Vk,Vl,Vm
;Calculo dos tempos tk,tl,tm
;
;frente1:lda Vc
       lda sigva     ;carrega no acumulador sinal de Va
       cmp sigvb     ;sinal de Va igual sinal de Vb?
       beq frente1   ;se for va para frente1
       jmp frente1a  ;se nao for va para frente1a
       sta Vm
       lda sigvc
       sta sigvm
       lda Va
;Va
       cmp Vb
       bcs frente2
       jmp frente2a  ;se for, va para frente2
;frente2:sta Vl
       lda Vb
       sta Vl
       lda sigvm
       cmp sigvo
       beq frente20  ;se for va para frente20
       jsr calcmais
       jsr cont1
;dos contadores
       rts
;
;frente20: jsr calcmenos ;va para subrotina calculo dos
;tempos
       jsr cont1
;dos contadores
       rts
;
;frente2a: sta	Vk
       lda Vb
       sta Vl
       lda sigvm
       cmp sigvo
;Vo?
       beq frente40
       jsr calcmais
;
;frente40: jsr calcmenos ;va para subrotina calculo dos
;tempos
       jsr cont2
;carregamento dos contadores
       rts
       frente40: jsr calcmenos ;va para subrotina calculo dos
;tempos
       jsr cont2
;dos contadores
       rts
;
;frente1a: lda sigva ;carrega no acumulador sinal de
;Va
       cmp sigvc
       beq frente5
       jmp frente5a
;frente5: lda Vb
       sta Vm
       lda sigvb
       sta sigvm
       lda Va
;de Va
       cmp Vc
       bcs frente6
       jmp frente6a
;frente6: sta Vl
       lda Vc
       sta Vl
       lda sigvm
       cmp sigvo
;Vo?
       beq frente60
       jsr calcmais
;
;frente60: jsr calcmenos ;va para subrotina calculo dos
;tempos
       jsr cont3
;dos contadores
       rts
;
;frente6a: sta	Vk
       lda Vc
       sta Vl
       lda sigvm
       cmp sigvo
;Vo?
       beq frente80
       jsr calcmais
;
;frente80: jsr calcmenos ;va para subrotina calculo dos
;tempos
       jsr cont4
;dos contadores
       rts
;
;frente80: jsr calcmenos ;va para subrotina calculo dos
;tempos
       jsr cont4
;dos contadores
       rts
;
```



frente5a: lda Va Va	;carrega no acumulador sinal de Vm	mul Kl,x ;multiplica o A pelo multiplicador
sta Vm	;Vm igual a Va	:clear carry
lda sigva	;sinal de Vm igual a sinal de Va	adc result2l ;adiciona w5 com w3
sta sigvm	;carrega no acumulador modulo	:salva o valor do carry1
lda Vb		:clear o carry
;de Vb		adc w2 ;adiciona w2 com o resultado de
cmp Vc	;Va maior ou igual a Vc?	:w5+w3)
bcs frente9	;se for, va para frente9	php ;salva o valor do carry2
jmp frente9a	;se nao, va para frente9a	sta result2l ;armazena byte 2 resultado
frente9: sta Vl	;Vl igual a Vb	lda mascara ;carrega A com mascara
lda Vc		and carry1 ;mascara carry1
sta Vk	;Vk igual a Vc	sta carry1 ;salva carry1
lda sigvm	;sinal de Vm e negativo?	lda mascara ;carrega A com mascara
cmp sigvo	;sinal de Vm igual a sinal de Vo?	and carry2 ;mascara carry2
beq frente0a	;se for, va para frente0a	sta carry2 ;salva carry2
jsr calcmais	;va para subrotina calculo dos	clc ;clear carry
;tempo		pla ;carrega A com valor do carry2
jsr cont5	;va para rotina de carregamento	adc carry1 ;soma carry1 com carry2
;dos contadores		pha ;salva carry1+carry2
rts	;retorno rotina escalar	clc ;clear carry
;		lda mul1h ;carrega A com multiplicando high
frente0a: jsr calcmenos	;va para subrotina calculo dos	mul Kl,x ;multiplica o A pelo multiplicador
;tempo		:high
jsr cont5	;va para rotina de carregamento	adc w6 ;soma w7 com w6
;dos contadores		php ;salva carry3
rts	;retorno rotina escalar	clc ;clear carry
;		adc w4 ;soma w4 com (w7+w6)
frente9a: sta Vk	;Vk igual a Vb	php ;salva carry4
lda Vc		clc ;clear carry
sta Vl	;Vl igual a Vc	adc carry2 ;soma (w4+w6+w7) com
lda sigvm	;sinal de Vm e negativo?	:carry1+carry2)
cmp sigvo	;sinal de Vm igual a sinal de Vo?	php ;salva carry5
beq frente0a	;se for, va para frente0a	sta result3l ;armazena byte 3 resultado
jsr calcmais	;va para subrotina calculo dos	lda mascara ;carrega A com mascara
;tempo		and carry3 ;mascara carry3
jsr cont6	;va para rotina de carregamento	sta carry3 ;salva carry3
;dos contadores		lda mascara ;carrega A com mascara
rts	;retorno rotina escalar	and carry4 ;mascara carry4
;		sta carry4 ;salva carry4
frente0: jsr calcmenos	;va para subrotina calculo dos	lda mascara ;carrega A com mascara
;tempo		and carry5 ;mascara carry5
jsr cont6	;va para rotina de carregamento	sta carry5 ;salva carry5
;dos contadores		clc ;clear carry
rts	;retorno rotina escalar	pla ;carrega A com carry5
;		adc carry4 ;soma carry4 com carry5
:rotinas de calculo dos tempos		adc carry3 ;soma carry3 com (carry4+carry5)
:cal+		adc w8 ;soma w8 com soma dos carry
calcmais:		sta result4l ;armazena byte 4 resultado
:calculo de tl		jmp tk1 ;va para calculo de tk
idx stack1	;carrega X com valor do	bits9l: mul Vl,x ;(Vm+Vo)*Vl
;stack=posicao de mul1h		sta mul1l ;armazena produto low em mul1l
txs	;carrega o stack pointer	:vl*100
idx zero	;carrega X com zero	clc ;clear carry
clc	;clear carry para adicao	lda mul1h ;carrega A com byte mais
lda Vm	;carrega acumulador com Vm	:significativo
adc Vo	;Vm+Vo	adc Vl ;adiciona com Vl
bcc bits8l	;branch se nao houve carry	bcc bits16l ;se nao houver carry, branch para
jmp bits9l	;jump se soma possui 9 bits	:16bits
bits8l: mul Vl,x	;(Vm+Vo)*Vl	jmp bits17l ;jump se soma for de 17 bits
sta mul1l	;armazena produto_low em mul1l	bits16l: sta mul1h ;armazena soma em mul1h
;(Vm+Vo)Vl*384		;(Vm+Vo)Vl*384
idx stack	;carrega X com valor do stack	ldx stack ;carrega X com valor do stack
txs	;carrega o stack pointer	txs ;carrega o stack pointer
idx zero	;carrega X	idx zero ;carrega X
lda mul1l	;carrega o A com multiplicando low	lda mul1l ;carrega o A com multiplicando
mul Kl,x	;multiplica o A pelo multiplicador	mul Kl,x ;multiplica o A pelo multiplicador
:low		:low
sta result1l	;armazena byte 1 resultado	sta result1l ;armazena byte 1 resultado
lda mul1h	;carrega A com multiplicando high	lda mul1h ;carrega A com multiplicando high
mul Kl,x	;multiplica o A pelo multiplicador	mul Kl,x ;multiplica o A pelo multiplicador
:low		:low
sta result2l	;armazena w3	sta result2l ;armazena w3
lda mul1l	;carrega A com multiplicando low	lda mul1l ;carrega A com multiplicando low
inx	;incrementa X	

<pre> inx      ;incrementa X mul Kl,x ;multiplica o A pelo mutiplicador  ;high clc      ;clear carry adc result2l ;adiciona w5 com w3 php      ;salva o valor do carry1 clc      ;clear o carry adc w2   ;adiciona w2 com o resultado de ;(w5+w3) php      ;salva o valor do carry2 sta result2l ;armazena byte 2 resultado lda mascara ;carrega A com mascara and carry1 ;mascara carry1 sta carry1 ;salva carry1 lda mascara ;carrega A com mascara and carry2 ;mascara carry2 sta carry2 ;salva carry2 clc      ;clear carry pla      ;carrega A com valor do carry2 adc carry1 ;soma carry1 com carry2 pha      ;salva carry1+carry2 clc      ;clear carry lda mul1h ;carrega A com mutiplicando high mul Kl,x ;multiplica o A pelo multiplicador ;high adc w6   ;soma w7 com w6 php      ;salva carry3 clc      ;clear carry adc w4   ;soma w4 com (w7+w6) php      ;salva carry4 clc      ;clear carry adc carry2 ;soma (w4+w6+w7) com ;(carry1+carry2) php      ;salva carry5 sta result3l ;armazena byte 3 resultado lda mascara ;carrega A com mascara and carry3 ;mascara carry3 sta carry3 ;salva carry3 lda mascara ;carrega A com mascara and carry4 ;mascara carry4 sta carry4 ;salva carry4 lda mascara ;carrega A com mascara and carry5 ;mascara carry5 sta carry5 ;salva carry5 clc      ;clear carry pla      ;carrega A com carry5 adc carry4 ;soma carry4 com carry5 adc carry3 ;soma carry3 com (carry4+carry5) adc w8   ;soma w8 com soma dos carry sta result4l ;armazema byte 4 resultado ;jmp tk1 bits17l:sta mul1h ;carrega soma em mul1h ;(Vm+Vo)VI*384 Idx stack ;carrega X com valor do stack txs      ;carrega o stack pointer Idx zero ;carrega X lda mul1l ;carrega o A com multiplicando low mul Kl,x ;multiplica o A pelo multiplicador ;low sta result1l ;armazema byte 1 resultado lda mul1h ;carrega A com multiplicando high mul Kl,x ;multiplica o A pelo multiplicador ;low sta result2l ;armazema w3 lda mul1l ;carrega A com multiplicando low inx      ;incrementa X mul Kl,x ;multiplica o A pelo mutiplicador ;high clc      ;clear carry adc result2l ;adiciona w5 com w3 php      ;salva o valor do carry1 clc      ;clear o carry adc w2   ;adiciona w2 com o resultado de ;(w5+w3) php      ;salva o valor do carry2 </pre>	<pre> sta result2l ;armazena byte 2 resultado lda mascara ;carrega A com mascara and carry1 ;mascara carry1 sta carry1 ;salva carry1 lda mascara ;carrega A com mascara and carry2 ;mascara carry2 sta carry2 ;salva carry2 clc      ;clear carry pla      ;carrega A com valor do carry2 adc carry1 ;soma carry1 com carry2 pha      ;salva carry1+carry2 clc      ;clear carry lda mul1h ;carrega A com mutiplicando high mul Kl,x ;multiplica o A pelo multiplicador ;high adc w6   ;soma w7 com w6 php      ;salva carry3 clc      ;clear carry adc w4   ;soma w4 com (w7+w6) php      ;salva carry4 clc      ;clear carry adc carry2 ;soma (w4+w6+w7) com ;(carry1+carry2) php      ;salva carry5 sta result3l ;armazena byte 3 resultado lda mascara ;carrega A com mascara and carry3 ;mascara carry3 sta carry3 ;salva carry3 lda mascara ;carrega A com mascara and carry4 ;mascara carry4 sta carry4 ;salva carry4 lda mascara ;carrega A com mascara and carry5 ;mascara carry5 sta carry5 ;salva carry5 clc      ;clear carry pla      ;carrega A com carry5 adc carry4 ;soma carry4 com carry5 adc carry3 ;soma carry3 com (carry4+carry5) adc w8   ;soma w8 com soma dos carry sta result4l ;armazema byte 4 resultado ;384*10000 clc      ;clear carry lda result3l ;carrega A com result3 adc kl   ;soma com kl sta result3l ;armazena em result3 lda result4l ;carrega A com result4 adc kh   ;soma com kh sta result4l ;armazema em result4 ; ;calculo de tk tk1:     ldx stack1 ;carrega X com valor do stack=posicao ;de mul1h     txs      ;carrega o stack pointer     ldx zero ;carrega X com zero     clc      ;clear carry para adicao     lda Vm   ;carrega acumulador com Vm     adc Vo   ;Vm+Vo     bcc bits8k ;branch se nao houve carry     jmp bits9k ;jump se soma possui 9 bits bits8k:mul Vk,x ;(Vm+Vo)*Vx     sta mul1l ;armazena produto_low em mul1l ;(Vm+Vo)Vm*384     ldx stack ;carrega X com valor do stack     txs      ;carrega o stack pointer     ldx zero ;carrega X     lda mul1l ;carrega o A com multiplicando low     mul Kl,x ;multiplica o A pelo multiplicador low     sta result1k ;armazema byte 1 resultado     lda mul1h ;carrega A com multiplicando high     mul Kl,x ;multiplica o A pelo multiplicador low     sta result2k ;armazema w3     lda mul1l ;carrega A com multiplicando low     inx      ;incrementa X     mul Kl,x ;multiplica o A pelo mutiplicador high </pre>
---	--

<pre> clc          ;clear carry adc result2k ;adiciona w5 com w3 php          ;salva o valor do carry1 clc          ;clear o carry adc w2       ;adiciona w2 com o resultado de ;(w5+w3) php          ;salva o valor do carry2 sta result2k ;armazena byte 2 resultado lda mascara  ;carrega A com mascara and carry1   ;mascara carry1 sta carry1   ;salva carry1 lda mascara  ;carrega A com mascara and carry2   ;mascara carry2 sta carry2   ;salva carry2 clc          ;clear carry pla          ;carrega A com valor do carry2 adc carry1   ;soma carry1 com carry2 pha          ;salva carry1+carry2 clc          ;clear carry lda mul1h   ;carrega A com mutiplicando high mul Kl,x    ;multiplica o A pelo multiplicador ;high adc w6       ;soma w7 com w6 php          ;salva carry3 clc          ;clear carry adc w4       ;soma w4 com (w7+w6) php          ;salva carry4 clc          ;clear carry adc carry2   ;soma (w4+w6+w7) com ;(carry1+carry2) php          ;salva carry5 sta result3k ;armazena byte 3 resultado lda mascara  ;carrega A com mascara and carry3   ;mascara carry3 sta carry3   ;salva carry3 lda mascara  ;carrega A com mascara and carry4   ;mascara carry4 sta carry4   ;salva carry4 lda mascara  ;carrega A com mascara and carry5   ;mascara carry5 sta carry5   ;salva carry5 clc          ;clear carry pla          ;carrega A com carry5 adc carry4   ;soma carry4 com carry5 adc carry3   ;soma carry3 com (carry4+carry5) adc w8       ;soma w8 com soma dos carry sta result4k ;armazena byte 4 resultado ;jmp tm1 ; bits9k:mul Vk,x sta mul11 ;vk*100 clc          ;clear carry lda mul1h   ;carrega A com byte mais significativo adc Vk      ;adiciona com Vl sta mul1h   ;armazena soma em mul1h ;(Vm+Vo)Vk*384 Idx stack   ;carrega X com valor do stack txs         ;carrega o stack pointer Idx zero    ;carrega X lda mul1l   ;carrega o A com multiplicando low mul Kl,x    ;multiplica o A pelo multiplicador low sta result1k ;armazena byte 1 resultado lda mul1h   ;carrega A com multiplicando high mul Kl,x    ;multiplica o A pelo multiplicador low sta result2k ;armazena w3 lda mul1l   ;carrega A com multiplicando low inx         ;incrementa X mul Kl,x    ;multiplica o A pelo mutiplicador ;high clc          ;clear carry adc result2k ;adiciona w5 com w3 php          ;salva o valor do carry1 clc          ;clear o carry </pre>	<pre> adc w2       ;adiciona w2 com o resultado de ;(w5+w3) php          ;salva o valor do carry2 sta result2k ;armazena byte 2 resultado lda mascara  ;carrega A com mascara and carry1   ;mascara carry1 sta carry1   ;salva carry1 lda mascara  ;carrega A com mascara and carry2   ;mascara carry2 sta carry2   ;salva carry2 clc          ;clear carry pla          ;carrega A com valor do carry2 adc carry1   ;soma carry1 com carry2 pha          ;salva carry1+carry2 clc          ;clear carry lda mul1h   ;carrega A com mutiplicando high mul Kl,x    ;multiplica o A pelo multiplicador ;high adc w6       ;soma w7 com w6 php          ;salva carry3 clc          ;clear carry adc w4       ;soma w4 com (w7+w6) php          ;salva carry4 clc          ;clear carry adc carry2   ;soma (w4+w6+w7) com ;(carry1+carry2) php          ;salva carry5 sta result3k ;armazena byte 3 resultado lda mascara  ;carrega A com mascara and carry3   ;mascara carry3 sta carry3   ;salva carry3 lda mascara  ;carrega A com mascara and carry4   ;mascara carry4 sta carry4   ;salva carry4 lda mascara  ;carrega A com mascara and carry5   ;mascara carry5 sta carry5   ;salva carry5 clc          ;clear carry pla          ;carrega A com carry5 adc carry4   ;soma carry4 com carry5 adc carry3   ;soma carry3 com (carry4+carry5) adc w8       ;soma w8 com soma dos carry sta result4k ;armazena byte 4 resultado tm1: ;calculo de tm sec          ;seta carry lda Tmaxlow  ;carrega A com E1h sbc result3k ;E1h-tkl sta result3m ;armazena resultado em result3m lda Tmaxhigh ;carrega A com 04h sbc result4k ;04h-tkh sta result4m ;armazena resultado em result4m sec          ;seta carry lda result3m ;carrega A com (E1h-tkl) sbc result3l ;(E1h-tkl)-tl sta result3m ;armazena resultado em result3m(tml) lda result4m ;carrega A com (04h-tkl) sbc result4l ;(04h-tkl)-tlh sta result4m ;armazena resultado em result4m ;(tmh) Idx stacks2 ;carrega X com endereco de retorno ;da subrotina txs         ;trasnfere endereco para stack pointer rts         ;retorna da subrotina ; ;calt- calmenos: ;calculo de tl Idx stack1  ;carrega X com valor do ;stack=posicao de mul1h txs         ;carrega o stach pointer Idx zero    ;carrega X com zero sec          ;seta carry para subtracao lda Vm      ;carrega acumulador com Vm sbc Vo      ;Vm-Vo </pre>
---	---

<pre> mul Vl,x          ;(Vm-Vo)*Vl sta mul11         ;armazena produto_low em mul11 ;(Vm+Vo)Vi*384     ldx stack      ;carrega X com valor do stack     txa            ;carrega o stack pointer     ldx zero        ;carrega X     lda mul11       ;carrega o A com multiplicando low     mul Kl,x       ;multiplica o A pelo multiplicador ;low     sta result1l    ;armazema byte 1 resultado     lda mul1h       ;carrega A com multiplicando high     mul Kl,x       ;multiplica o A pelo multiplicador ;low     sta result2l    ;armazema w3     lda mul11       ;carrega A com multiplicando low     inx             ;incrementa X     mul Kl,x       ;multiplica o A pelo mutiplicador     clc             ;clear carry     adc result2l    ;adiciona w5 com w3     php             ;salva o valor do carry1     clc             ;clear o carry     adc w2          ;adiciona w2 com o resultado de ;(w5+w3)     php             ;salva o valor do carry2     sta result2l    ;armazena byte 2 resultado     lda mascara     ;carrega A com mascara     and carry1      ;mascara carry1     sta carry1      ;salva carry1     lda mascara     ;carrega A com mascara     and carry2      ;mascara carry2     sta carry2      ;salva carry2     clc             ;clear carry     pla             ;carrega A com valor do carry2     adc carry1      ;soma carry1 com carry2     pha             ;salva carry1+carry2     clc             ;clear carry     lda mul1h       ;carrega A com mutiplicando high     mul Kl,x       ;multiplica o A pelo multiplicador ;high     adc w6          ;soma w7 com w6     php             ;salva carry3     clc             ;clear carry     adc w4          ;soma w4 com (w7+w6)     php             ;salva carry4     clc             ;clear carry     adc carry2      ;soma (w4+w6+w7) com ;(carry1+carry2)     php             ;salva carry5     sta result3l    ;armazena byte 3 resultado     lda mascara     ;carrega A com mascara     and carry3      ;mascara carry3     sta carry3      ;salva carry3     lda mascara     ;carrega A com mascara     and carry4      ;mascara carry4     sta carry4      ;salva carry4     lda mascara     ;carrega A com mascara     and carry5      ;mascara carry5     sta carry5      ;salva carry5     clc             ;clear carry     pla             ;carrega A com carry5     adc carry4      ;soma carry4 com carry5     adc carry3      ;soma carry3 com (carry4+carry5)     adc w8          ;soma w8 com soma dos carry     sta result4l    ;armazema byte 4 resultado ; ;calculo de tk     ldx stack1      ;carrega X com valor do ;stack=posicao de mul1h     txa            ;carrega o stach pointer     ldx zero        ;carrega X com zero     sec             ;seta carry para subtracao     lda Vm          ;carrega acumulador com Vm     sbc Vo          ;Vm-Vo     mul Vk,x       ;(Vm-Vo)*Vk     sta mul11       ;armazena produto_low em mul11 </pre>	<pre> ;(Vm+Vo)Vk*384     ldx stack      ;carrega X com valor do stack     txa            ;carrega o stack pointer     ldx zero        ;carrega X     lda mul11       ;carrega o A com multiplicando ;low     mul Kl,x       ;multiplica o A pelo multiplicador ;low     sta result1k    ;armazema byte 1 resultado     lda mul1h       ;carrega A com multiplicando high     mul Kl,x       ;multiplica o A pelo multiplicador ;low     sta result2k    ;armazema w3     lda mul11       ;carrega A com multiplicando low     inx             ;incrementa X     mul Kl,x       ;multiplica o A pelo mutiplicador ;high     clc             ;clear carry     adc result2k    ;adiciona w5 com w3     php             ;salva o valor do carry1     clc             ;clear o carry     adc w2          ;adiciona w2 com o resultado de ;(w5+w3)     php             ;salva o valor do carry2     sta result2k    ;armazena byte 2 resultado     lda mascara     ;carrega A com mascara     and carry1      ;mascara carry1     sta carry1      ;salva carry1     lda mascara     ;carrega A com mascara     and carry2      ;mascara carry2     sta carry2      ;salva carry2     clc             ;clear carry     pla             ;carrega A com valor do carry2     adc carry1      ;soma carry1 com carry2     pha             ;salva carry1+carry2     clc             ;clear carry     lda mul1h       ;carrega A com mutiplicando high     mul Kl,x       ;multiplica o A pelo multiplicador ;high     adc w6          ;soma w7 com w6     php             ;salva carry3     clc             ;clear carry     adc w4          ;soma w4 com (w7+w6)     php             ;salva carry4     clc             ;clear carry     adc carry2      ;soma (w4+w6+w7) com ;(carry1+carry2)     php             ;salva carry5     sta result3k    ;armazena byte 3 resultado     lda mascara     ;carrega A com mascara     and carry3      ;mascara carry3     sta carry3      ;salva carry3     lda mascara     ;carrega A com mascara     and carry4      ;mascara carry4     sta carry4      ;salva carry4     lda mascara     ;carrega A com mascara     and carry5      ;mascara carry5     sta carry5      ;salva carry5     clc             ;clear carry     pla             ;carrega A com carry5     adc carry4      ;soma carry4 com carry5     adc carry3      ;soma carry3 com (carry4+carry5)     adc w8          ;soma w8 com soma dos carry     sta result4k    ;armazema byte 4 resultado ; ;calculo de tm     sec             ;seta carry     lda Tmaxlow     ;carrega A com E1h     sbc result3k    ;E1h-tkl     sta result3m    ;armazena resultado em result3m     lda Tmaxhigh    ;carrega A com 04h     sbc result4k    ;04h-tkh     sta result4m    ;armazena resultado em result4m     sec             ;seta carry     lda result3m    ;carrega A com (E1h-tkl)     sbc result3l    ;(E1h-tkl)-tll </pre>
--	---

```

sta result3m ;armazena resultado em
;result3m(tml)
lda result4m ;carrega A com (04h-tkl)
sbc result4l ;(04h-tkl)-tlh
sta result4m ;armazena resultado em result4m(tmh)
ldx stacks2 ;carrega X com endereco de retorno da
;subrotina
txs ;transfere endereco para stack pointer
rts ;retorno da subrotina
;
cont1:
cli ;habilita interrupcoes
lda y ;e a primeira vez ?(y=0)
bne n_inicioa ;se nao for va para nao inicioa
ldm #$81,ICON1;habilita interrupcao timer3 e buffer
;cheio
g1: lda fstop ;fstop==0? Se sim, fica em loop
beq g1
ldm #$01,ICON1 ;desabilita interrupcao timer3
lda result3l ;carrega TILL
sta TILL
lda result4l ;carrega T1LH
sta T1LH
lda result3k ;carrega T2LL
sta T2LL
lda result4k ;carrega T2LH
sta T2LH
lda result3m ;carrega T3LL
sta T3LL
lda result4m ;carrega T3LH
sta T3LH
ldm #Sff,y ;y=ffh, nao e a primeira vez
ldm #$70,MISRG1 ;ativa contagem dos timers
ldm #$19,ICON1 ;habilita int2 e int3
seb 2,P3 ;provoca um pulso em P60
clb 2,P3
ldm #$06,T3C ;timer 3 em one shot
ldm #$1d,ICON1 ;habilita todas as INTs
sei
rts ;fim rotina
;
n_inicioa: lda result3l ;carrega TILL
sta TILL
lda result4l ;carrega T1LH
sta T1LH
;
f2a: lda ftimer2 ;timer1 terminou contagem?
;(ftimer=FFh)
beq f2a ;se nao, va para f2a
lda result3k ;carrega T2LL
sta T2LL
lda result4k ;carrega T2LH
sta T2LH
ldm #$00,ftimer2 ;faz ftimer2=zero
;
f3a: lda ftimer3 ;timer2 terminou contagem?
;(ftimer=FFh)
beq f3a ;se nao, va para f3a
lda result3m ;carrega T3LL
sta T3LL
lda result4m ;carrega T3LH
sta T3LH
ldm #$00,ftimer3 ;faz ftimer3=zero
f4a: lda ftimer1 ;timer3 terminou contagem?
;(ftimer=FFh)
beq f4a ;se nao va para f4a
ldm #$00,ftimer1 ;faz ftimer1=zero
sei
rts ;fim rotina
;
;
cont2:
cli ;habilita interrupcoes
lda y ;e a primeira vez ?(y=0)
bne n_inicioe ;se nao for va para nao inicioe
;cheio
g2: lda fstop ;fstop==0? Se sim, fica em loop
beq g2
ldm #$01,ICON1 ;desabilita interrupcao timer3
lda result3l ;carrega TILL
sta TILL
lda result4l ;carrega T1LH
sta T1LH
lda result3m ;carrega T2LL
sta T2LL
lda result4m ;carrega T2LH
sta T2LH
lda result3m ;carrega T3LL
sta T3LL
lda result4m ;carrega T3LH
sta T3LH
ldm #Sff,y ;y=ffh, nao e a primeira vez
ldm #$70,MISRG1 ;ativa contagem dos timers
ldm #$19,ICON1 ;ativa INT 2 e 3
seb 2,P3 ;provoca um pulso em P60
clb 2,P3
ldm #$06,T3C ;timer3 em one shot
ldm #$1d,ICON1 ;habilita todas as INTs
sei
rts ;fim rotina
;
n_inicioe: lda result3k ;carrega TILL
sta TILL
lda result4k ;carrega T1LH
sta T1LH
;
f2e: lda ftimer2 ;timer1 terminou contagem?
;(ftimer=FFh)
beq f2e ;se nao, va para f2e
lda result3l ;carrega T2LL
sta T2LL
lda result4l ;carrega T2LH
sta T2LH
ldm #$00,ftimer2 ;faz ftimer2=zero
;
f3e: lda ftimer3 ;timer2 terminou contagem?
;(ftimer=FFh)
beq f3e ;se nao, va para f3e
lda result3m ;carrega T3LL
sta T3LL
lda result4m ;carrega T3LH
sta T3LH
ldm #$00,ftimer3 ;faz ftimer3=zero
f4e: lda ftimer1 ;timer3 terminou contagem?
;(ftimer=FFh)
beq f4e ;se nao, va para f4e
ldm #$00,ftimer1 ;faz ftimer1=zero
sei
rts ;fim da rotina
;
cont3:
cli ;habilita interrupcoes
lda y ;e a primeira vez ?(y=0)
bne n_inicioi ;se nao for va para nao inicioi
ldm #$81,ICON1 ;habilita interrupcao timer3 e
;buffer cheio
g3: lda fstop ;fstop==0? Se sim, fica em loop
beq g3
ldm #$01,ICON1 ;desabilita interrupcao timer3
lda result3l ;carrega TILL
sta TILL
lda result4l ;carrega T1LH
sta T1LH
lda result3m ;carrega T2LL
sta T2LL
lda result4m ;carrega T2LH
sta T2LH
lda result3k ;carrega T3LL
sta T3LL

```

```

lda result4k      ;carrega T3LH
sta T3LH
ldm #$ff,y       ;y=FFh, nao e a primeira vez
ldm #$70,MISRG1  ;ativa contagem dos timers
ldm #$19,ICON1   ;ativa INT 2 e 3
seb 2,P3         ;provoca um pulso em P60
clb 2,P3
ldm #$06,T3C     ;timer3 em one shot
ldm #$1d,ICON1   ;habilita todas as INTs
sei
rts              ;fim rotina
;
n_inicioi: lda result3l  ;carrega T1LL
sta T1LL
lda result4l    ;carrega T1LH
sta T1LH
;
f2i:  lda ftimer2  ;timer1 terminou contagem?
;(ftimer=FFh)
beq f2i          ;se nao, va para f2i
lda result3m    ;carrega T2LL
sta T2LL
lda result4m    ;carrega T2LH
sta T2LH
ldm #$00,ftimer2 ;faz ftimer2=zero
;
f3i:  lda ftimer3  ;timer2 terminou contagem?
;(ftimer=FFh)
beq f3i          ;se nao, va para f3i
lda result3k    ;carrega T3LL
sta T3LL
lda result4k    ;carrega T3LH
sta T3LH
ldm #$00,ftimer3 ;faz ftimer3=zero
;
f4i:  lda ftimer1  ;timer3 terminou contagem?
;(ftimer=FFh)
beq f4i          ;se nao, va para f4i
ldm #$00,ftimer1 ;faz ftimer1=zero
sei
rts              ;fim rotina
;
cont4:
cli             ;habilita interrupcoes
lda y            ;e a primeira vez ?(y=0)
bne n_iniciom   ;se nao for va para nao iniciom
ldm #$81,ICON1   ;habilita interrupcao timer3 e
;buffer cheio
g4:   lda fstop    ;fstop=00? Se sim, fica em loop
beq g4
ldm #$01,ICON1   ;desabilita interrupcao timer3
lda result3k    ;carrega T1LL
sta T1LL
lda result4k    ;carrega T1LH
sta T1LH
lda result3m    ;carrega T2LL
sta T2LL
lda result4m    ;carrega T2LH
sta T2LH
lda result3l    ;carrega T3LL
sta T3LL
lda result4l    ;carrega T3LH
sta T3LH
ldm #$ff,y       ;y=FFh, nao e a primeira vez
ldm #$70,MISRG1  ;ativa contagem dos timers
ldm #$19,ICON1   ;habilita INT 2 e 3
seb 2,P3         ;provoca um pulso em P60
clb 2,P3
ldm #$06,T3C     ;timer3 em one shot
ldm #$1d,ICON1   ;habilita todas as INTs
sei
rts              ;fim rotina
;
n_iniciom: lda result3k  ;carrega T1LL
sta T1LL
lda result4k    ;carrega T1LH
sta T1LH
;
sta T1LH
;
f2m:  lda ftimer2  ;timer1 terminou contagem?
;(ftimer=FFh)
beq f2m          ;se nao, va para f2m
lda result3m    ;carrega T2LL
sta T2LL
lda result4m    ;carrega T2LH
sta T2LH
ldm #$00,ftimer2 ;faz ftimer2=zero
;
f3m:  lda ftimer3  ;timer2 terminou contagem?
;(ftimer=FFh)
beq f3m          ;se nao, va para f3m
lda result3l    ;carrega T3LL
sta T3LL
lda result4l    ;carrega T3LH
sta T3LH
ldm #$00,ftimer3 ;faz ftimer3=zero
;
f4m:  lda ftimer1  ;timer3 terminou contagem?
;(ftimer=FFh)
beq f4m          ;se nao, va para f4m
ldm #$00,ftimer1 ;faz ftimer1=zero
sei
rts              ;fim rotina
;
cont5:
cli             ;habilita interrupcoes
lda y            ;e a primeira vez ?(y=0)
bne n_iniciog   ;se nao for va para nao inicioq
ldm #$81,ICON1   ;habilita interrupcao timer3 e
;buffer cheio
g5:   lda fstop    ;fstop=00? Se sim, fica em loop
beq g5
ldm #$01,ICON1   ;desabilita interrupcao timer3
lda result3m    ;carrega T1LL
sta T1LL
lda result4m    ;carrega T1LH
sta T1LH
lda result3l    ;carrega T2LL
sta T2LL
lda result4l    ;carrega T2LH
sta T2LH
lda result3k    ;carrega T3LL
sta T3LL
lda result4k    ;carrega T3LH
sta T3LH
ldm #$ff,y       ;y=FFh, nao e a primeira vez
ldm #$70,MISRG1  ;ativa contagem dos timers
ldm #$19,ICON1   ;habilita INT 2 e 3
seb 2,P3         ;provoca um pulso em P60
clb 2,P3
ldm #$06,T3C     ;timer3 em one shot
ldm #$1d,ICON1   ;habilita todas as INTs
sei
rts              ;fim rotina
;
n_iniciog: lda result3m  ;carrega T1LL
sta T1LL
lda result4m    ;carrega T1LH
sta T1LH
;
f2q:  lda ftimer2  ;timer1 terminou contagem?
;(ftimer=FFh)
beq f2q          ;se nao, va para f2q
lda result3l    ;carrega T2LL
sta T2LL
lda result4l    ;carrega T2LH
sta T2LH
ldm #$00,ftimer2 ;faz ftimer2=zero
;
f3q:  lda ftimer3  ;timer2 terminou contagem?
;(ftimer=FFh)
beq f3q          ;se nao, va para f3q
lda result3k    ;carrega T3LL
sta T3LL
lda result4k    ;carrega T3LH
sta T3LH

```

```

ldm #$00,ftimer3 ;faz ftimer3=zero
f4q: lda ftimer1 ;timer3 terminou contagem?
;(ftimer=FFh)
    beq f4q ;se nao, va para f4q
    ldm #$00,ftimer1 ;faz ftimer=zero
    sei
    rts ;fim rotina
;
cont6: cli ;habilita interrupcoes
       lda y ;e a primeira vez ?(y=0)
       bne n_iniciox ;se nao for va para nao iniciox
       ldm #$81,ICON1 ;habilita interrupcao timer3 e
;buffer cheio
g6:   lda fstop ;fstop=00? Se sim, fica em loop
       beq g6
       ldm #$01,ICON1 ;desabilita interrupcao timer3
       lda result3m ;carrega TILL
       sta T1LL
       lda result4m ;carrega T1LH
       sta T1LH
       lda result3k ;carrega T2LL
       sta T2LL
       lda result4k ;carrega T2LH
       sta T2LH
       lda result3l ;carrega T3LL
       sta T3LL
       lda result4l ;carrega T3LH
       sta T3LH
       ldm #$ff,y ;y=FFh, nao e a primeira vez
       ldm #$70,MISRG1 ;ativa contagem dos timers
       ldm #$19,ICON1 ;habilita INT 2 e 3
       seb 2,P3 ;provoca um pulso em P60
       clb 2,P3
       ldm #$06,T3C ;timer3 em one shot
       ldm #$1d,ICON1 ;habilita todas as INTs
       sei
       rts ;fim rotina
;
n_iniciox: lda result3m ;carrega TILL
            sta T1LL
            lda result4m ;carrega T1LH
            sta T1LH
;
f2x:   lda ftimer2 ;timer1 terminou contagem?
;(ftimer=FFh)
    beq f2x ;se nao, va para f2x
    lda result3k ;carrega T2LL
    sta T2LL
    lda result4k ;carrega T2LH
    sta T2LH
    ldm #$00,ftimer2 ;faz ftimer2=zero
;
f3x:   lda ftimer3 ;timer2 terminou contagem?
;(ftimer=FFh)
    beq f3x ;se nao, va para f3x
    lda result3l ;carrega T3LL
    sta T3LL
    lda result4l ;carrega T3LH
    sta T3LH
    ldm #$00,ftimer3 ;faz ftimer3=zero
f4x:   lda ftimer1 ;timer3 terminou contagem?
;(ftimer=FFh)
    beq f4x ;se nao, va para f4x
    ldm #$00,ftimer1 ;faz ftimer1=zero
    sei
    rts ;fim rotina
;
;rotina de interrupcao timer1
;
int1: ldm #$ff,ftimer1 ;carrega ftimer1 com FFh
      rti
;
;rotina de interrupcao timer2
;
int2: ldm #$ff,ftimer2 ;carrega ftimer2 com FFh
      rti
;
;rotina de interrupcao timer3
;
int3: ldm #$ff,ftimer3 ;carrega ftimer3 com FFh
      rti
;
;rotina de interrupcao de buffer de interface cheio
;
cheio: bbs 3,IBSTAT,amp ;se dado recebido for amplitude,
;va para amp
    pha ;salva A
    lda IBR ;carrega A com valor da
;frequencia
    sta freq ;armazena valor em freq
    lda #$ff ;faz stop1 = FFh - freq
    sec
    sbc freq
    sta stop1
    pla ;recupera A
    rti
amp:  pha ;salva A
    lda IBR ;carrega A com valor da
;amplitude
    sta ampl ;armazena valor em ampl
    pla ;recupera A
    rti
;
iTtimer3: dm #$ff,fstop
           rti
;
;vetores de interrupca
;
ORG $ffe0
;
DWL start1 ;instrucao BRK
DWL start1 ;flag de conversao AD completa
DWL start1 ;transmissao serial
DWL start1 ;recepcao serial
DWL start1 ;EV3
DWL start1 ;EV2
DWL start1 ;EV1
DWL iTimer3 ;Timer3
DWL start1 ;Timer2
DWL start1 ;Timer1
DWL int3 ;INT3
DWL int2 ;INT2
DWL int1 ;INT1
DWL start1 ;buffer de saida vazio
DWL cheio ;buffer de entrada cheio
DWL start1 ;reset
;
END

```

```

;Programa que obtém o valor de pico das senoides de entrada e
;o envia para os outros coprocessadores
;
CPU "M450.TBL"
HOF "INT8"
;
;Enderecos do 37450
;
P3:    EQU $D6      ;registro P3
P3D:   EQU $D7      ;registro de direcao P3
P4:    EQU $D8      ;registro P4
P5:    EQU $DA      ;registro P5
P5D:   EQU $DB      ;registro de direcao P5
P6:    EQU $DC      ;registro P6
P6D:   EQU $DD      ;registro de direcao P6
MISRG1: EQU $DE      ;registro de miscelanea 1
MISRG2: EQU $DF      ;registro de miscelanea 2
DA1R:   EQU $E0      ;registro do DAC 1
DA2R:   EQU $E1      ;registro do DAC 2
ADR:    EQU $E2      ;registro do ADC
ADCR:   EQU $E3      ;registro de controle do ADC

IBR:    EQU $E4      ;registro do data bus
IBSTAT: EQU $E5      ;registro de estado do data bus

RTBR:   EQU $E6      ;registro do buffer de
;recepcao/transmissao
SIO5:   EQU $E7      ;registro de estado da I/O serial
SIOC:   EQU $E8      ;registro de controle da I/O serial
UACON:  EQU $E9      ;registro de controle UART
BRG:    EQU $EA      ;gerador taxa baud

PWML:   EQU $EB      ;registro PWM low
PWMH:   EQU $EC      ;registro PWM high

TC1:    EQU $ED      ;registro de controle timer 1
TC2:    EQU $EE      ;registro de controle timer 2
TC3:    EQU $EF      ;registro de controle timer 3
T1L:    EQU $F0      ;registro timer 1 low
T1H:    EQU $F1      ;registro timer 2 high
T1LL:   EQU $F2      ;latch timer 1 low
T1LH:   EQU $F3      ;latch timer 1 high
T2L:    EQU $F4      ;registro timer 2 low
T2H:    EQU $F5      ;registro timer 2 high
T2LL:   EQU $F6      ;latch timer 2 low
T2LH:   EQU $F7      ;latch timer 2 high
T3L:    EQU $F8      ;registro timer 3 low
T3H:    EQU $F9      ;registro timer 3 high
T3LL:   EQU $FA      ;latch 3 low
T3LH:   EQU $FB      ;latch 3 high

IRQ1:   EQU $FC      ;registro requisicao interrupcao 1
IRQ2:   EQU $FD      ;registro requisicao interrupcao 2
ICON1:  EQU $FE      ;registro controle interrupcao 1
ICON2:  EQU $FF      ;registro controle interrupcao 2
;
ORG $4000
;
reset:  clt          ;clear o bit t
        cld          ;clear o bit d
        cib 0,P3D
        lda #$ff     ;coloca 5 V em DA2R
        sta DA2R
loop:   cib 0,IRQ2    ;espera sinal de sincronismo
I0:    bcc 0,IRQ2,I0
        cib 0,IRQ2
f0:    bcc 0,IRQ2,f0
        ldy #6d     ;espera 30 graus
b:     ldx #71d
a:     dex
        bne a
        dey
        bne b
s:     ldm #$00,ADCR ;ler Va
        clb 5,IRQ2
;

c1:    lda IRQ2
        and #$20
        beq c1
        clb 5,IRQ2
        lda ADR
        sta DA2R      ;envia Vp
;
d:     ldy #7d
        idx #174d
;
c:     dex
        bne c
        dey
        bne d
        ldm #$02,ADCR ;ler Vc
c2:    lda IRQ2
        and #$20
        beq c2
        clb 5,IRQ2
        lda ADR
        sta DA2R      ;envia Vp
;
f:     ldy #7d
        idx #174d
;
e:     dex
        bne e
        dey
        bne f
        ldm #$01,ADCR ;ler Vb
c3:    lda IRQ2
        and #$20
        beq c3
        clb 5,IRQ2
        lda ADR
        sta DA2R      ;envia Vp
;
h:     ldy #7d
        idx #174d
;
g:     dex
        bne g
        dey
        bne h
        ldm #$00,ADCR ;ler Va
c4:    lda IRQ2
        and #$20
        beq c4
        clb 5,IRQ2
        lda ADR
        sta DA2R      ;envia Vp
;
j:     ldy #7d
        idx #174d
;
i:     dex
        bne i
        dey
        bne j
        ldm #$02,ADCR ;ler Vc
c5:    lda IRQ2
        and #$20
        beq c5
        clb 5,IRQ2
        lda ADR
        sta DA2R      ;envia Vp
;
m:     ldy #7d
        idx #174d
;
l:     dex
        bne l
        dey
        bne m
        ldm #$01,ADCR ;ler Vb
c6:    lda IRQ2
        and #$20
        beq c6
        clb 5,IRQ2
        lda ADR
;
```

```
sta DA2R      ;envia Vp
;
jmp loop
;
;vetores de interrupcao

ORG  $ffe0

DWL reset    ;instrucao BRK
DWL reset    ;flag de conversao AD completa
DWL reset    ;transmissao serial
DWL reset    ;recepcao serial
DWL reset    ;EV3
DWL reset    ;EV2
DWL reset    ;EV1
DWL reset    ;Timer1
DWL reset    ;Timer2
DWL reset    ;Timer3
DWL reset    ;INT3
DWL reset    ;INT2
DWL reset    ;INT1
DWL reset    ;buffer de saida vazio
DWL reset    ;buffer de entrada cheio
DWL reset    ;reset

END
```

Rotinas *Forth* para os processadores

a) Sincroniza os coprocessadores

```
: sinc
  dec all-off all-on ;
```

b) Envia o valor da amplitude das tensões de saída aos coprocessadores

```
: ampl
  u>d d>f
  fdup 48, f<= if else 48, then
  fdup 2, f<= if 2,    then
  100, f/ 256, f*
  f>d dup dup
  0 >cp'
  1 >cp'
  2 >cp'
  ;
```

c) Envia o valor da freqüência das tensões de saída aos coprocessadores

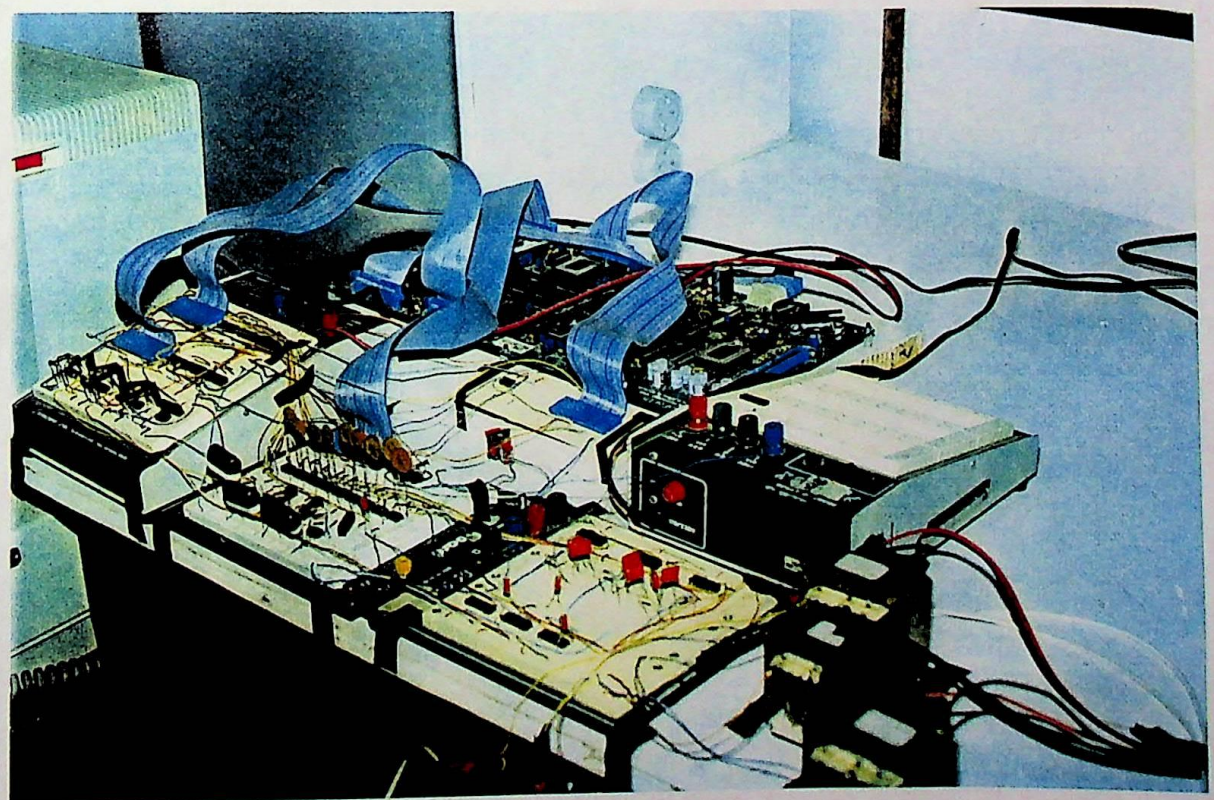
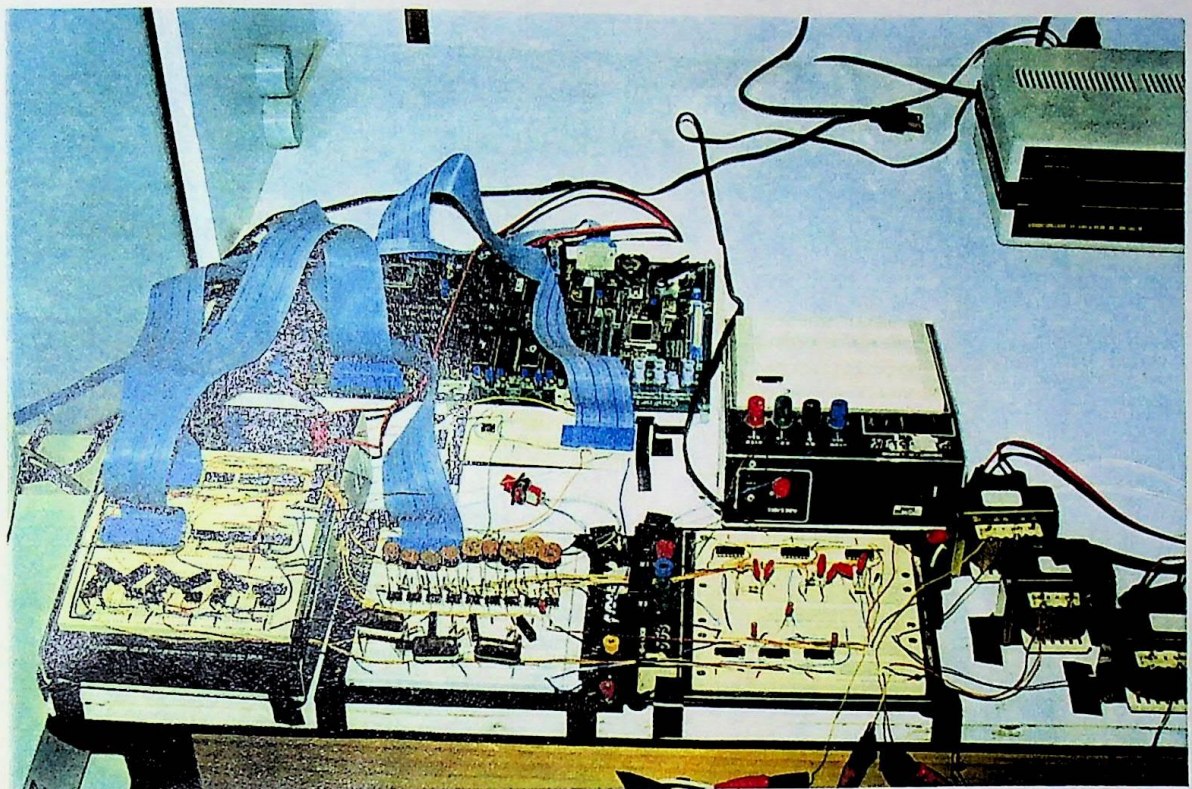
```
: freq
  2 / dup dup
  0 >cp
  1 >cp
  2 >cp
  ;
```

d) Envia o valor da freqüência e da amplitude aos coprocessadores

```
: seno
  2 / dup dup
  0 >cp
  1 >cp
  2 >cp
  u>d d>f
  fdup 48, f<= if else 48, then
  fdup 2, f<= if 2,    then
  100, f/ 256, f*
  f>d dup dup
  0 >cp'
  1 >cp'
  2 >cp'
  ;
```

**FOTOS APÊNDICE V**

**FOTOS DO SISTEMA DE CONTROLE**



DATA 08/01/1997  
PROC. DPG.  
PED.  
LIV. Recado  
R\$

